

Эффекты волнового смещения при рассеянии микроволн на сверхпроводниковом кубите

(по материалам кандидатской диссертации)

Алексей Дмитриев, м.н.с., МФТИ

Научный руководитель: Астафьев О.В., к.ф.-м. н., профессор

Семинар ЦКТ МГУ, 15.09.2021

План доклада

1. О докладчике
2. Сверхпроводниковые кубиты – искусственные атомы
3. Резонансное рассеяние волны на кубите
4. Нелинейное смешение двух резонансных гармоник (стационарный режим)
5. Смешение для синхронных и последовательных импульсов
6. Смешение на Δ -системе
7. Кубит в линии как сенсор фотонной статистики
8. Дальнейшие планы

0 докладчике

О докладчике

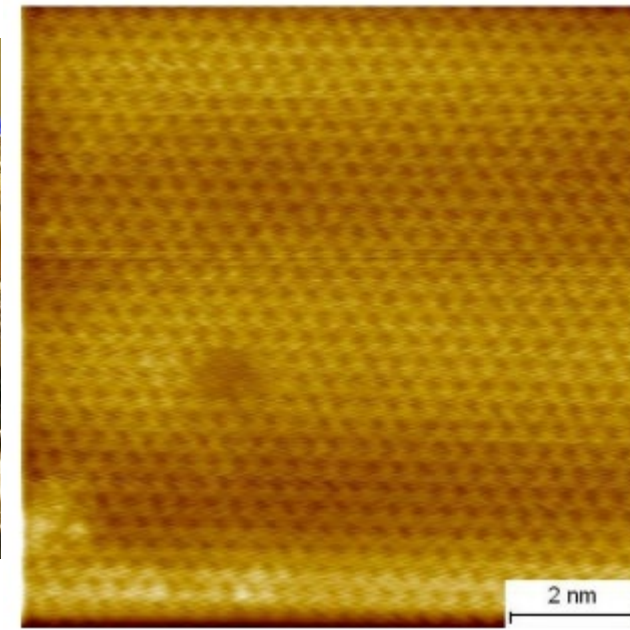
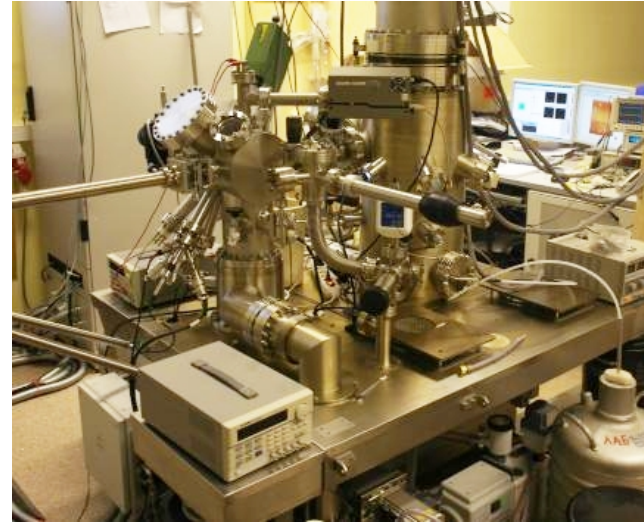
- 2008-2014 – студент МФТИ, факультет физической и квантовой электроники

О докладчике

- 2008-2014 – студент МФТИ, факультет физической и квантовой электроники
- 2011-2014 – инженер ИРЭ РАН, лаборатория низкоразмерных структур атомного масштаба (рук. д.ф-м.н. Зайцев-Зотов С.В.)
диплом – «Туннельная спектроскопия пов. состояний топ. изолятора Bi_2Se_3 »

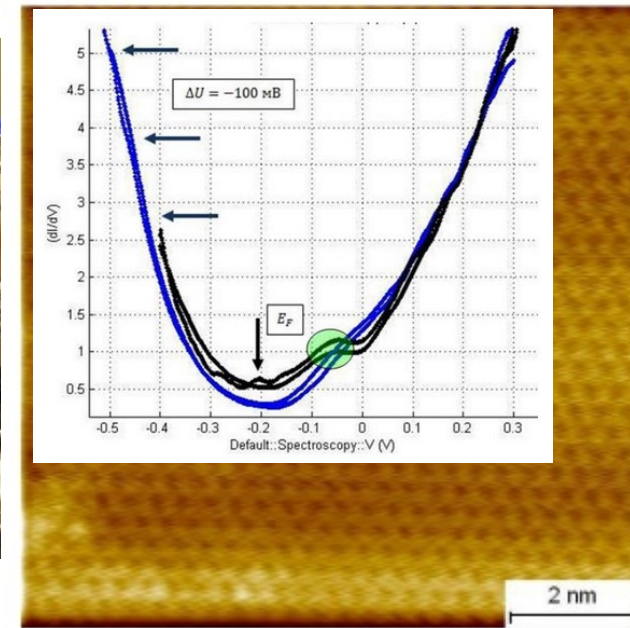
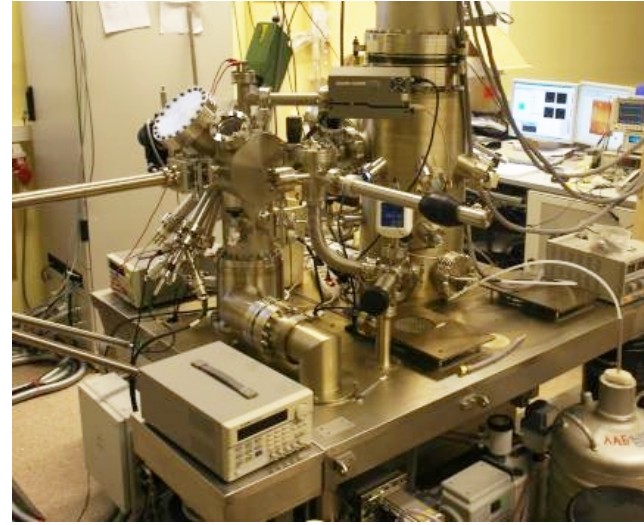
О докладчике

- 2008-2014 – студент МФТИ, факультет физической и квантовой электроники
- 2011-2014 – инженер ИРЭ РАН, лаборатория низкоразмерных структур атомного масштаба (рук. д.ф-м.н. Зайцев-Зотов С.В.)
диплом – «Туннельная спектроскопия пов. состояний топ. изолятора Bi_2Se_3 »



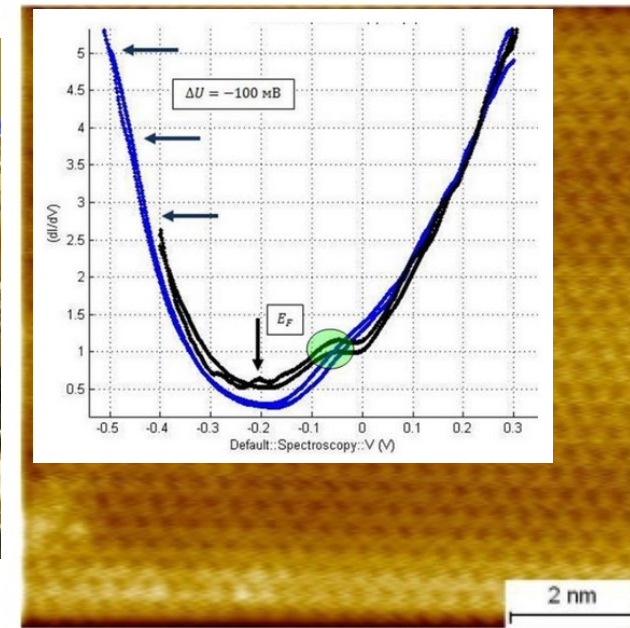
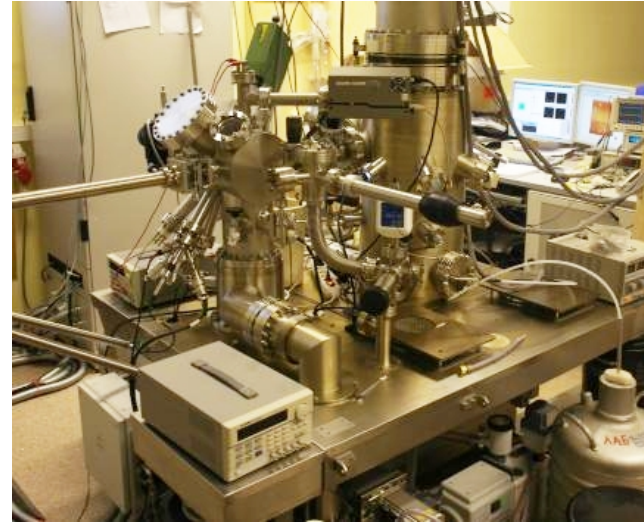
О докладчике

- 2008-2014 – студент МФТИ, факультет физической и квантовой электроники
- 2011-2014 – инженер ИРЭ РАН, лаборатория низкоразмерных структур атомного масштаба (рук. д.ф-м.н. Зайцев-Зотов С.В.)
диплом – «Туннельная спектроскопия пов. состояний топ. изолятора Bi_2Se_3 »



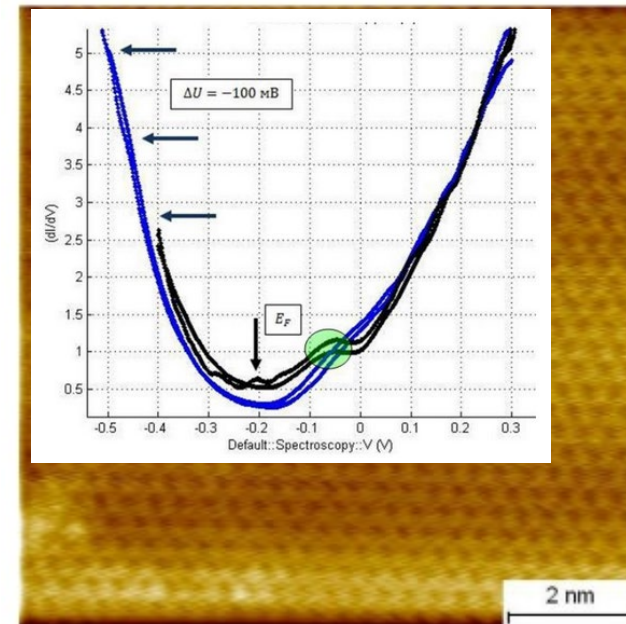
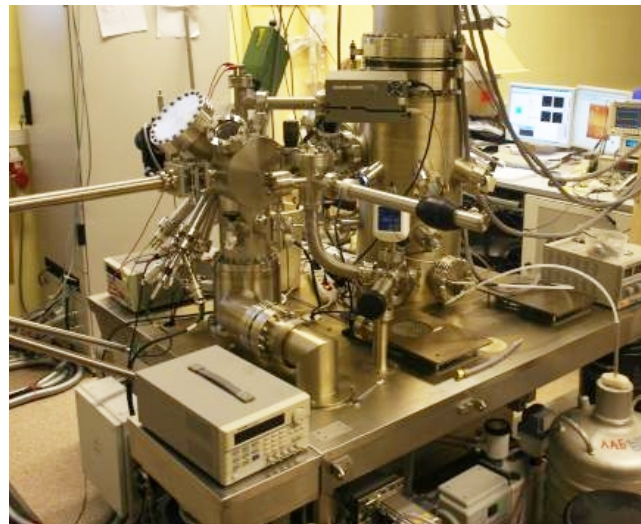
О докладчике

- 2008-2014 – студент МФТИ, факультет физической и квантовой электроники
 - 2011-2014 – инженер ИРЭ РАН, лаборатория низкоразмерных структур атомного масштаба (рук. д.ф-м.н. Зайцев-Зотов С.В.)
диплом – «Туннельная спектроскопия пов. состояний топ. изолятора Bi_2Se_3 »
 - 2014-2018 – асп. МФТИ
 - 2014-2015 стажировка в RNL и в ИФТТ
 - лаборатория искусственных квантовых систем (2015-)
 - квантовая оптика
 - квантовая акустика
 - многокубитные системы
- На сверхпров. кубитах



О докладчике

- 2008-2014 – студент МФТИ, факультет физической и квантовой электроники
 - 2011-2014 – инженер ИРЭ РАН, лаборатория низкоразмерных структур атомного масштаба (рук. д.ф-м.н. Зайцев-Зотов С.В.)
диплом – «Туннельная спектроскопия пов. состояний топ. изолятора Bi_2Se_3 »
 - 2014-2018 – асп. МФТИ
 - 2014-2015 стажировка в RHUL и в ИФТТ
 - лаборатория искусственных квантовых систем (2015-)
 - квантовая оптика
 - квантовая акустика
 - многокубитные системы
- На сверхпров. кубитах



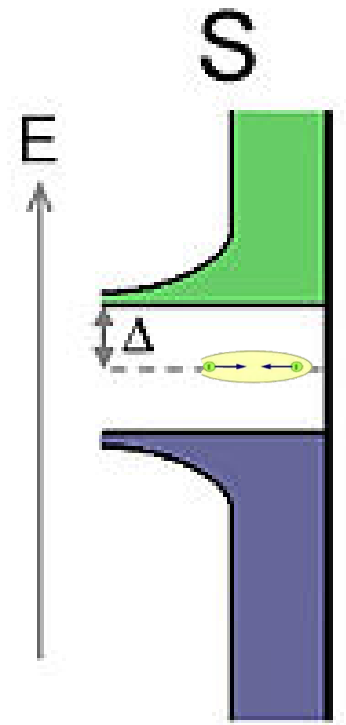
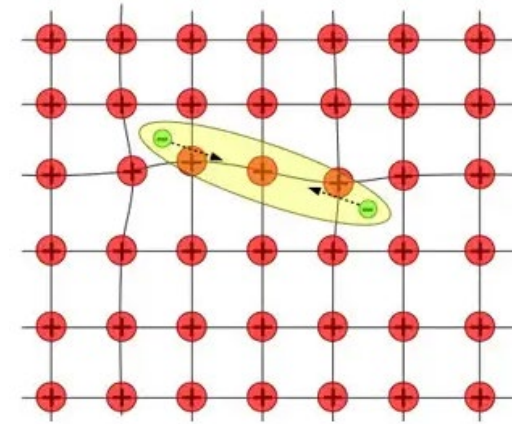
Сверхпроводимость

Сверхпроводимость

- а) конденсат куперовских пар;
- б) щель в спектре возбуждений

Сверхпроводимость

- а) конденсат куперовских пар;
- б) щель в спектре возбуждений



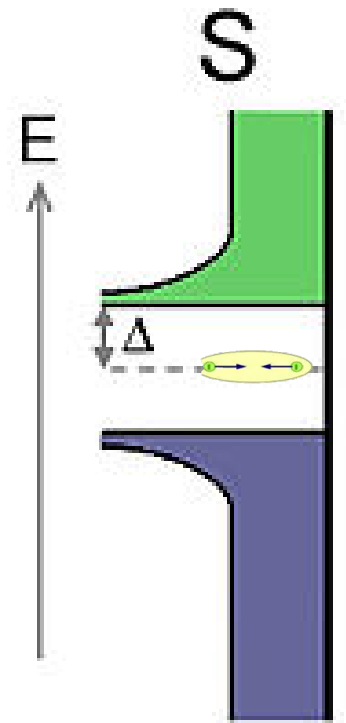
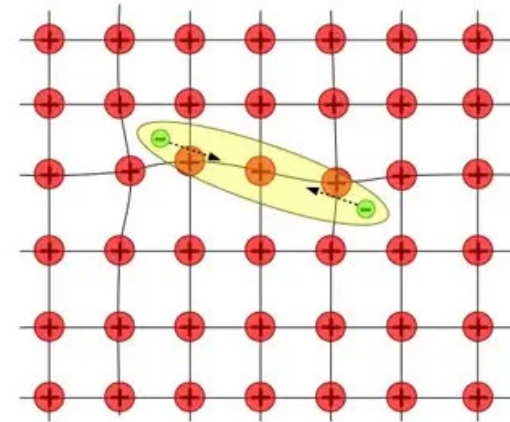
Сверхпроводимость

- а) конденсат куперовских пар;
- б) щель в спектре возбуждений

Алюминий: $2\Delta_{Al}/h \approx 96$ ГГц

Фотоны меньшей частоты – не поглощаются

Если $kT \ll 2\Delta$ – квант плазменных колебаний в LC-контуре живет неограниченно долго



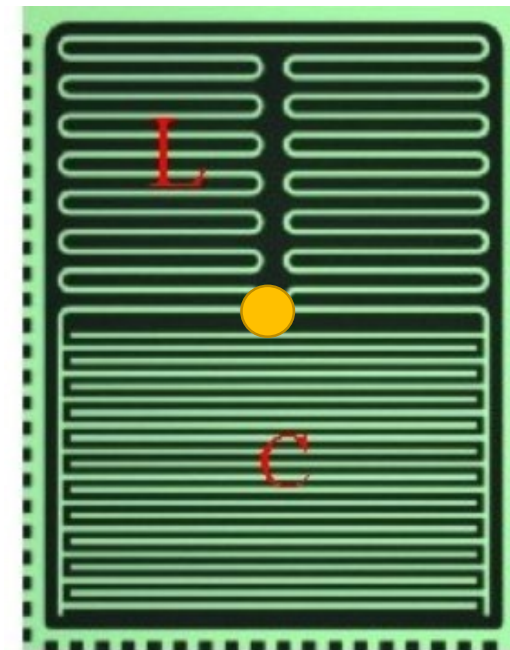
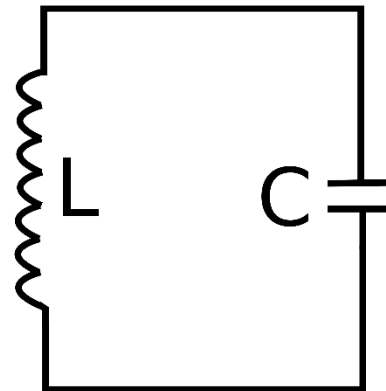
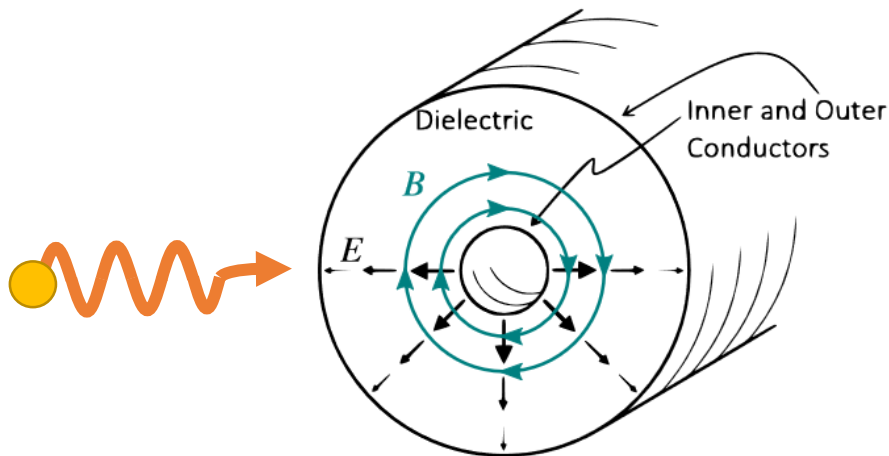
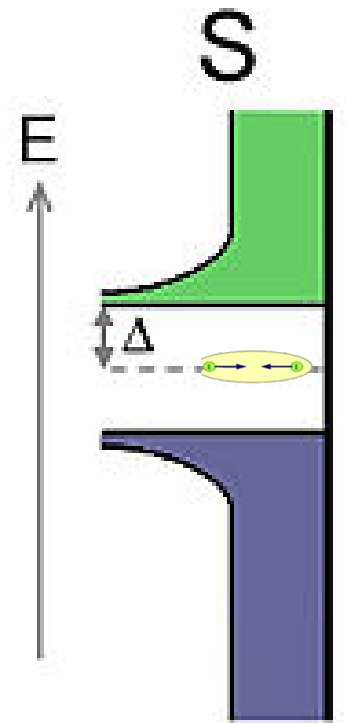
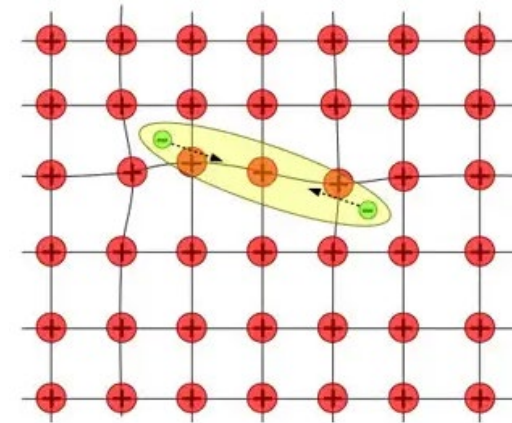
Сверхпроводимость

- а) конденсат куперовских пар;
- б) щель в спектре возбуждений

Алюминий: $2\Delta_{Al}/h \approx 96$ ГГц

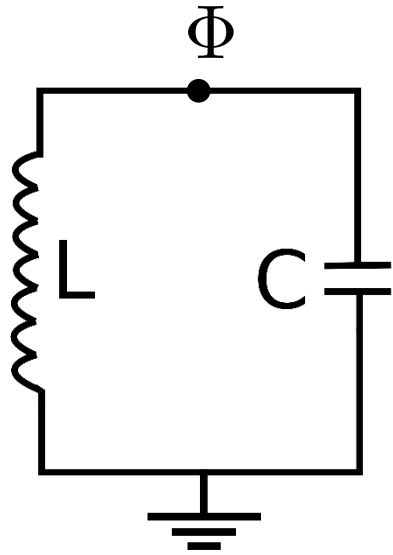
Фотоны меньшей частоты – **не поглощаются**

Если $kT \ll 2\Delta$ – квант плазменных колебаний в LC-контуре живет неограниченно ДОЛГО



Квантовая LC-цепь

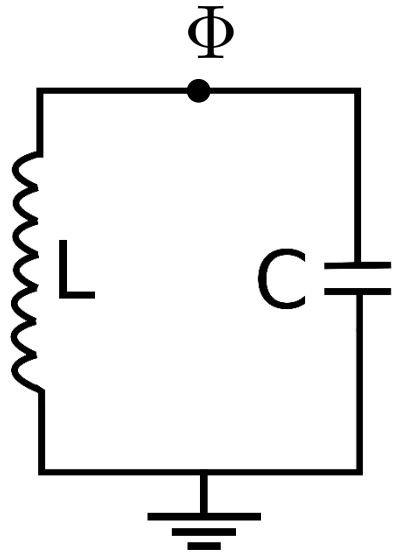
Квантовая LC-цепь



Квантовая LC-цепь

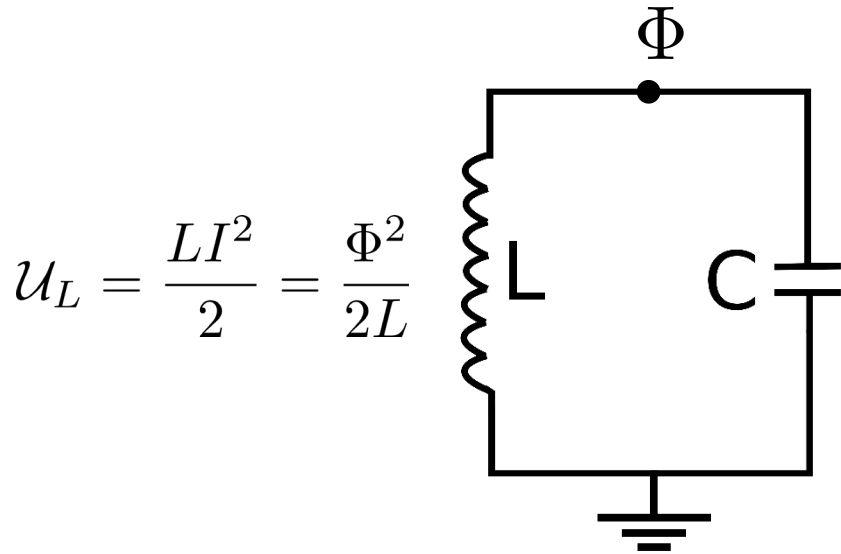
$$\Phi(t) = \int_{-\infty}^t V(t) dt - \text{узловой поток}$$

(координата)



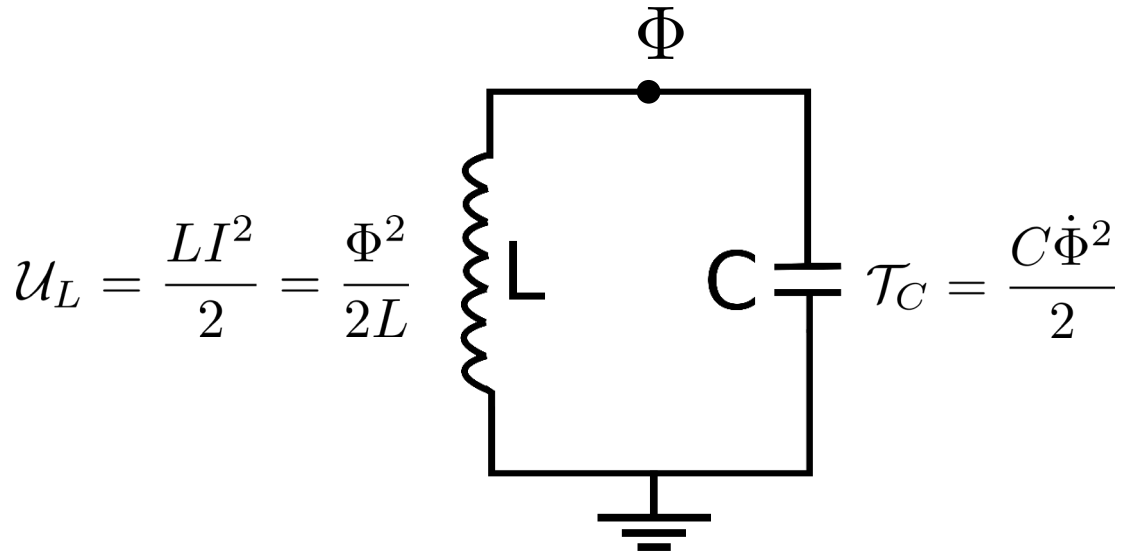
Квантовая LC-цепь

$$\Phi(t) = \int_{-\infty}^t V(t) dt - \text{узловой поток} \\ \text{(координата)}$$



Квантовая LC-цепь

$$\Phi(t) = \int_{-\infty}^t V(t) dt - \text{узловой поток} \\ \text{(координата)}$$



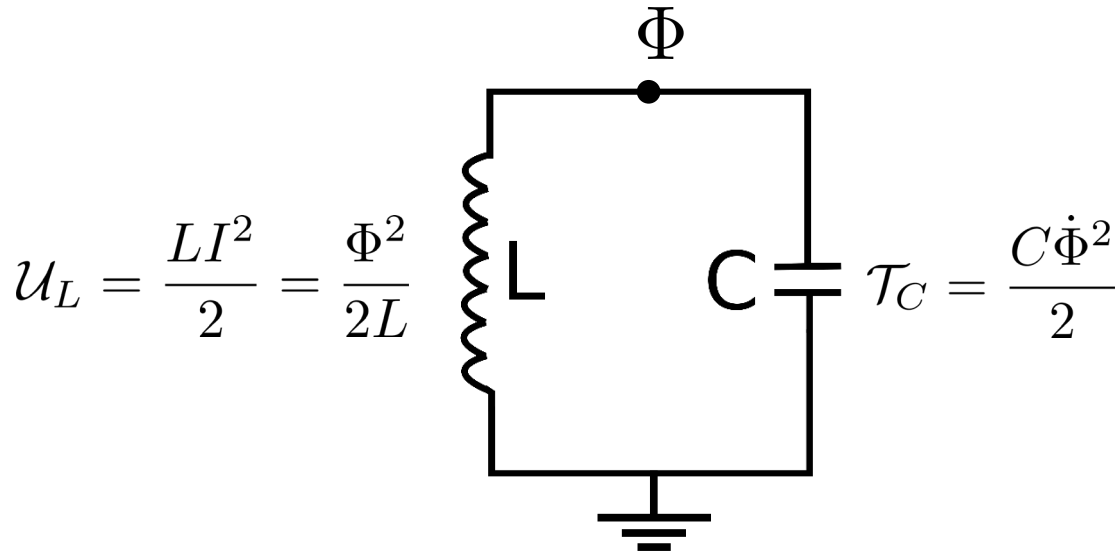
$$\mathcal{U}_L = \frac{LI^2}{2} = \frac{\Phi^2}{2L}$$

$$\mathcal{T}_C = \frac{C\dot{\Phi}^2}{2}$$

Квантовая LC-цепь

$$\Phi(t) = \int_{-\infty}^t V(t) dt - \text{узловой поток} \\ \text{(координата)}$$

$$Q = \frac{\partial \mathcal{L}}{\partial \dot{\Phi}} = C \dot{\Phi}. \quad - \text{канон. импульс}$$



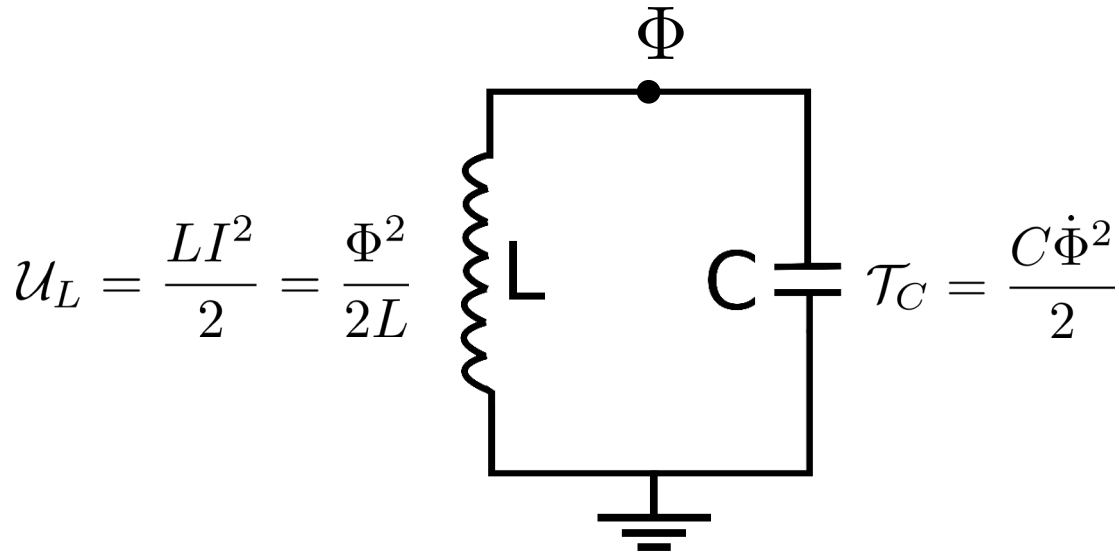
$$\mathcal{L} = \mathcal{T}_C - \mathcal{U}_L = \frac{1}{2} C \dot{\Phi}^2 - \frac{1}{2L} \Phi^2.$$

Квантовая LC-цепь

$$\Phi(t) = \int_{-\infty}^t V(t) dt \text{ - узловой поток} \\ \text{(координата)}$$

$$Q = \frac{\partial \mathcal{L}}{\partial \dot{\Phi}} = C \dot{\Phi}. \text{ - канон. импульс}$$

$$H = Q \dot{\Phi} - \mathcal{L} = \frac{Q^2}{2C} + \frac{\Phi^2}{2L} \quad m = C, \omega_r = 1/\sqrt{LC}$$



$$\mathcal{L} = \mathcal{T}_C - U_L = \frac{1}{2} C \dot{\Phi}^2 - \frac{1}{2L} \Phi^2.$$

Квантовая LC-цепь

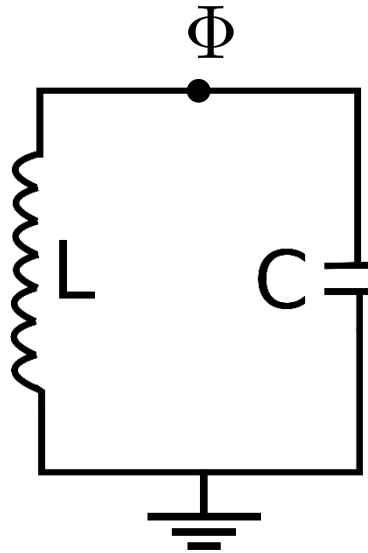
$$\Phi(t) = \int_{-\infty}^t V(t) dt \text{ - узловой поток} \\ \text{(координата)}$$

$$Q = \frac{\partial \mathcal{L}}{\partial \dot{\Phi}} = C \dot{\Phi}. \text{ - канон. импульс}$$

$$H = Q \dot{\Phi} - \mathcal{L} = \frac{Q^2}{2C} + \frac{\Phi^2}{2L} \quad m = C, \omega_r = 1/\sqrt{LC}$$

Квантование:

$$U_L = \frac{LI^2}{2} = \frac{\Phi^2}{2L} \quad \mathcal{T}_C = \frac{C\dot{\Phi}^2}{2}$$



$$\mathcal{L} = \mathcal{T}_C - U_L = \frac{1}{2} C \dot{\Phi}^2 - \frac{1}{2L} \Phi^2.$$

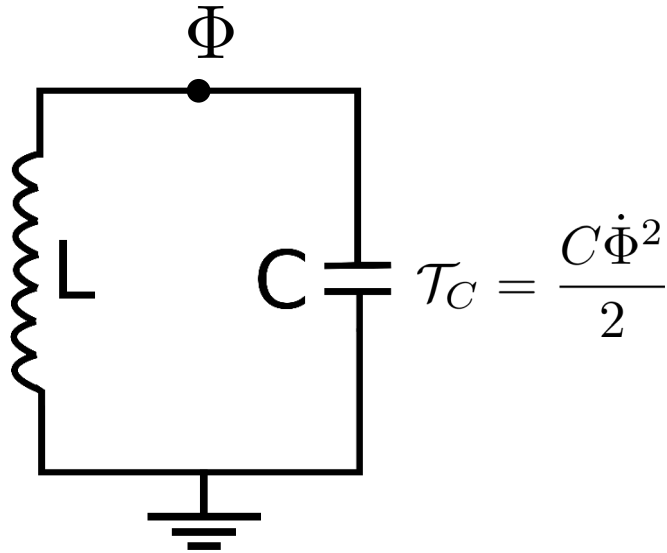
Квантовая LC-цепь

$$\Phi(t) = \int_{-\infty}^t V(t) dt \text{ - узловой поток} \\ \text{(координата)}$$

$$Q = \frac{\partial \mathcal{L}}{\partial \dot{\Phi}} = C \dot{\Phi}. \text{ - канон. импульс}$$

$$H = Q \dot{\Phi} - \mathcal{L} = \frac{Q^2}{2C} + \frac{\Phi^2}{2L} \quad m = C, \omega_r = 1/\sqrt{LC}$$

$$U_L = \frac{LI^2}{2} = \frac{\Phi^2}{2L}$$



$$\text{Квантование: } [\hat{\Phi}, \hat{Q}] = i\hbar$$

$$\boxed{H = \hbar\omega_r \left(a^\dagger a + \frac{1}{2} \right)}$$

$$\mathcal{L} = \mathcal{T}_C - U_L = \frac{1}{2} C \dot{\Phi}^2 - \frac{1}{2L} \Phi^2.$$

Квантовая LC-цепь

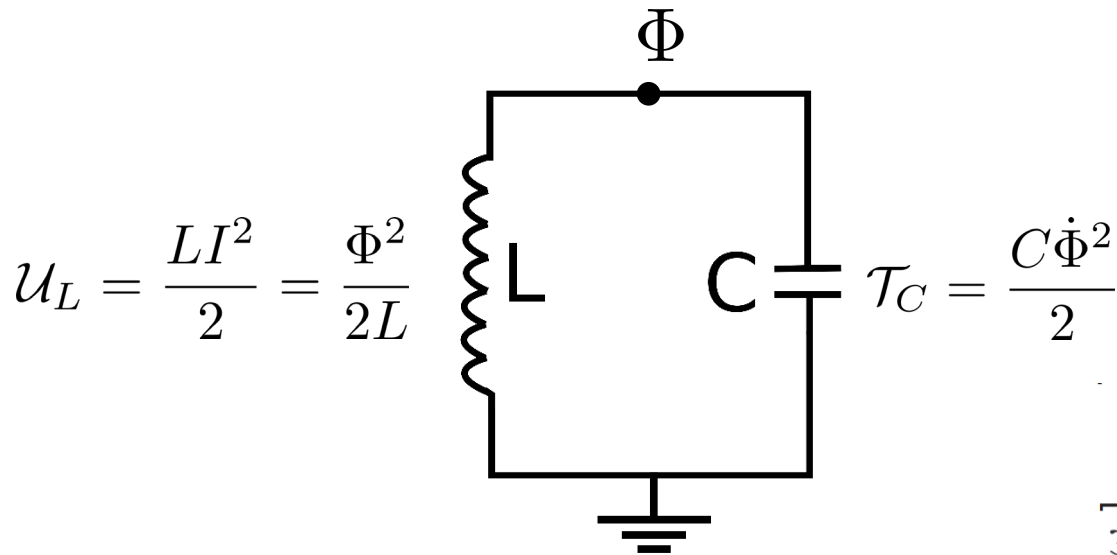
$$\Phi(t) = \int_{-\infty}^t V(t) dt \text{ - узловой поток (координата)}$$

$$Q = \frac{\partial \mathcal{L}}{\partial \dot{\Phi}} = C \dot{\Phi} \text{ - канон. импульс}$$

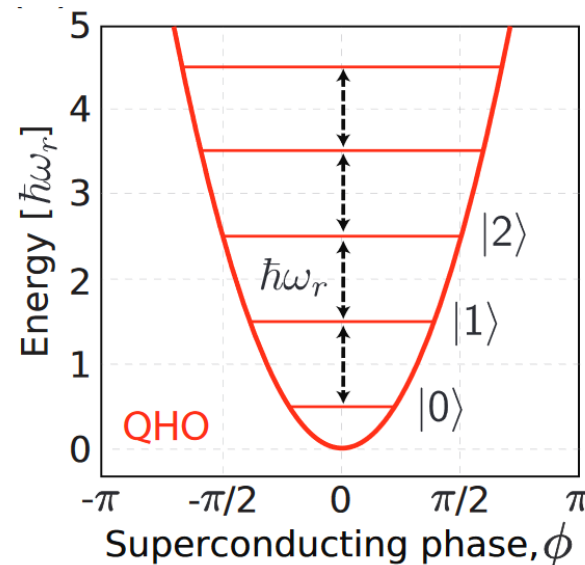
$$H = Q \dot{\Phi} - \mathcal{L} = \frac{Q^2}{2C} + \frac{\Phi^2}{2L} \quad m = C, \omega_r = 1/\sqrt{LC}$$

$$\text{Квантование: } [\hat{\Phi}, \hat{Q}] = i\hbar$$

$$H = \hbar\omega_r \left(a^\dagger a + \frac{1}{2} \right)$$



$$\mathcal{L} = T_C - U_L = \frac{1}{2} C \dot{\Phi}^2 - \frac{1}{2L} \Phi^2.$$

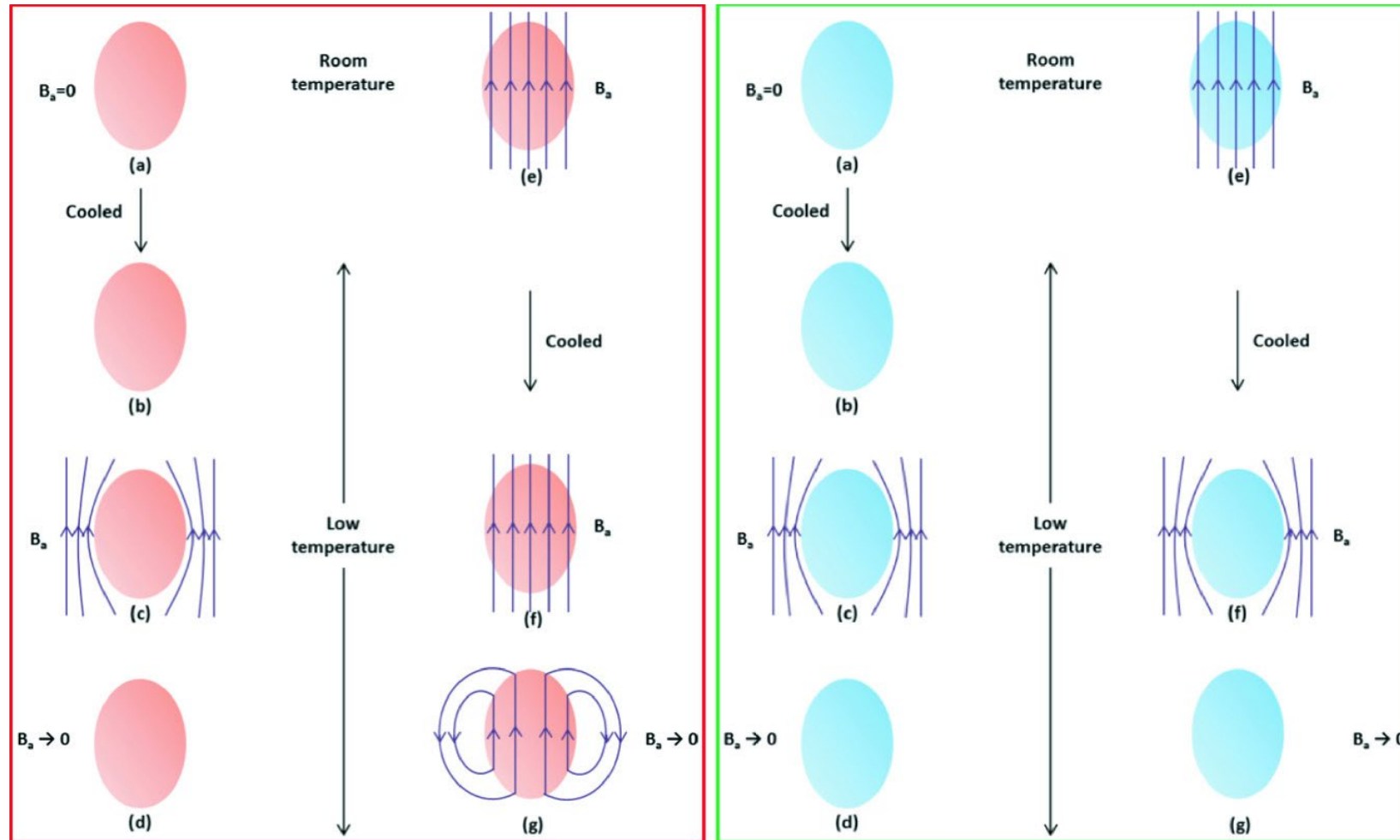


$$\phi \equiv 2\pi\Phi/\Phi_0 \quad \Phi_0 = h/(2e)$$

Квантование магнитного потока

Квантование магнитного потока

Эффект Мейсснера



Квантование магнитного потока

Квантование магнитного потока

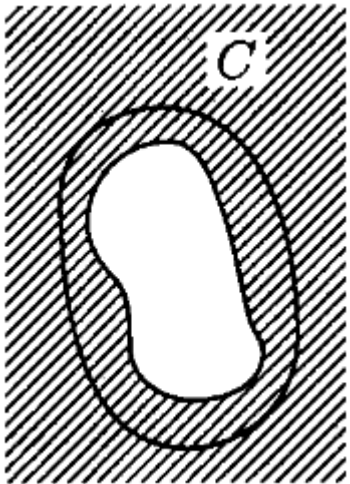
Волновая функция электронов $\Psi_s = \sqrt{n_s}(\vec{r})e^{-i\varphi(\vec{r})}$

Плотность потока частиц $j = \frac{e}{m}n_s \left[\hbar\nabla\varphi - e\vec{A} \right]$

Квантование магнитного потока

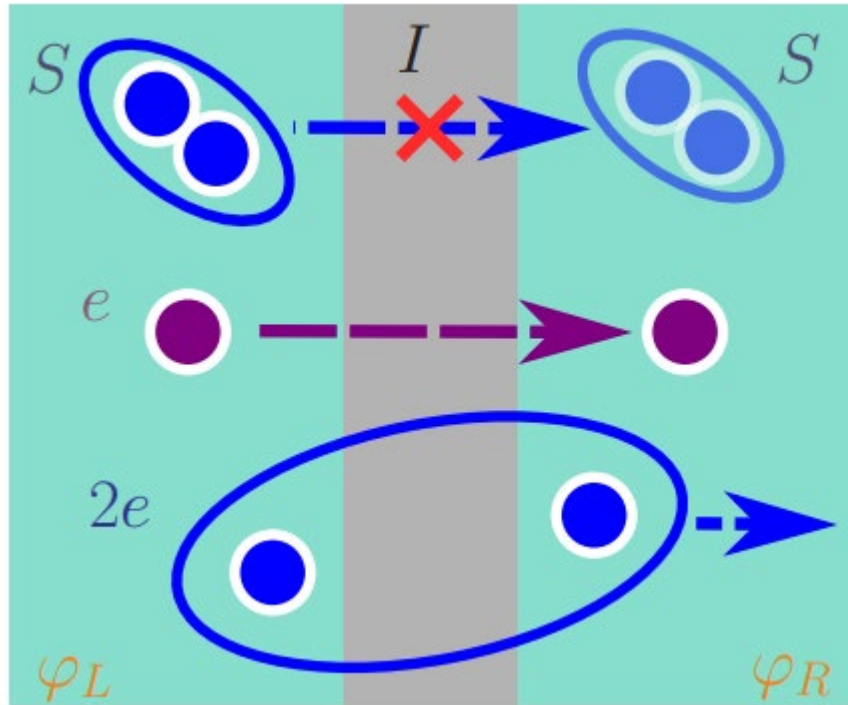
Волновая функция электронов $\Psi_s = \sqrt{n_s}(\vec{r})e^{-i\varphi(\vec{r})}$

Плотность потока частиц $j = \frac{e}{m}n_s \left[\hbar \nabla \varphi - e\vec{A} \right]$

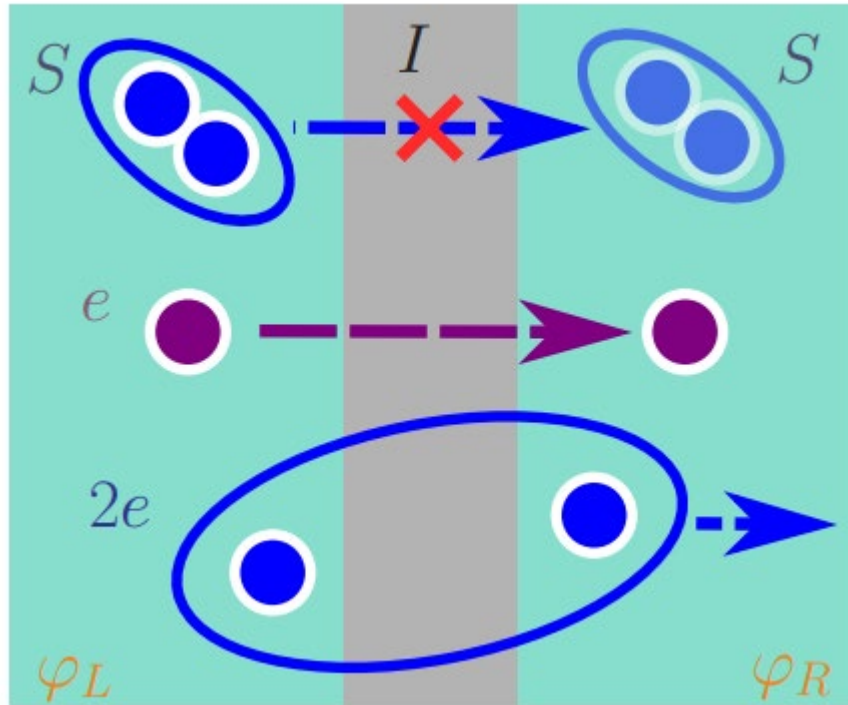


В толще ток отсутствует $\rightarrow \Phi = n \frac{h}{2e} = n\Phi_0$

Эффект Джозефсона

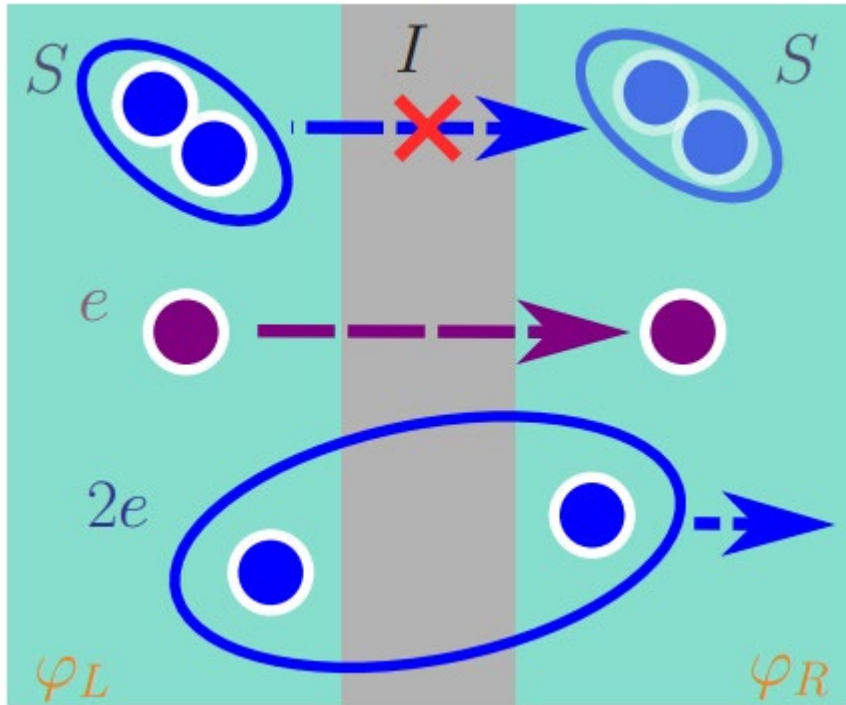


Эффект Джозефсона



Конденсаты «чувствуют» друг друга

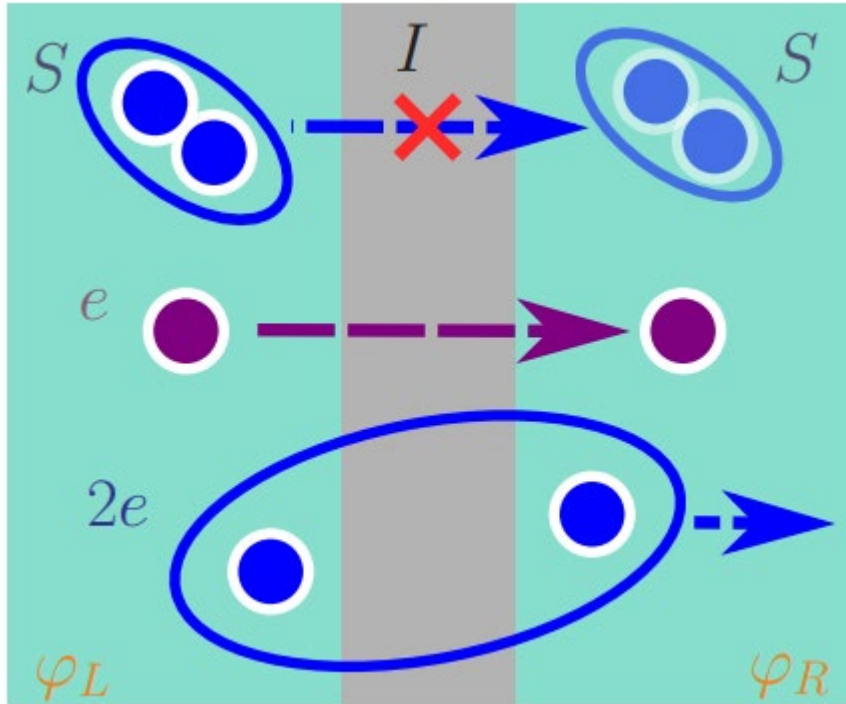
Эффект Джозефсона



Конденсаты «чувствуют» друг друга

$$I = I_c \sin \varphi, \quad \varphi = \varphi_L - \varphi_R$$

Эффект Джозефсона

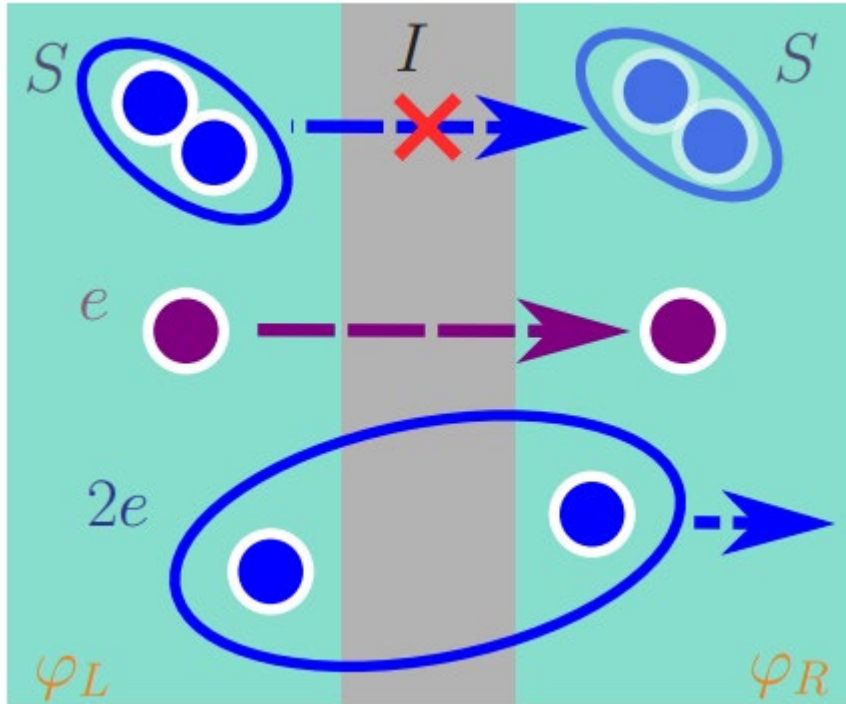


Конденсаты «чувствуют» друг друга

$$I = I_c \sin \varphi, \quad \varphi = \varphi_L - \varphi_R$$

$$E(\varphi) = \int_0^t I_s V dt = \int_0^\varphi I_c \sin \varphi' \frac{\hbar}{2e} d\varphi' = E_J (1 - \cos \varphi).$$

Эффект Джозефсона



Конденсаты «чувствуют» друг друга

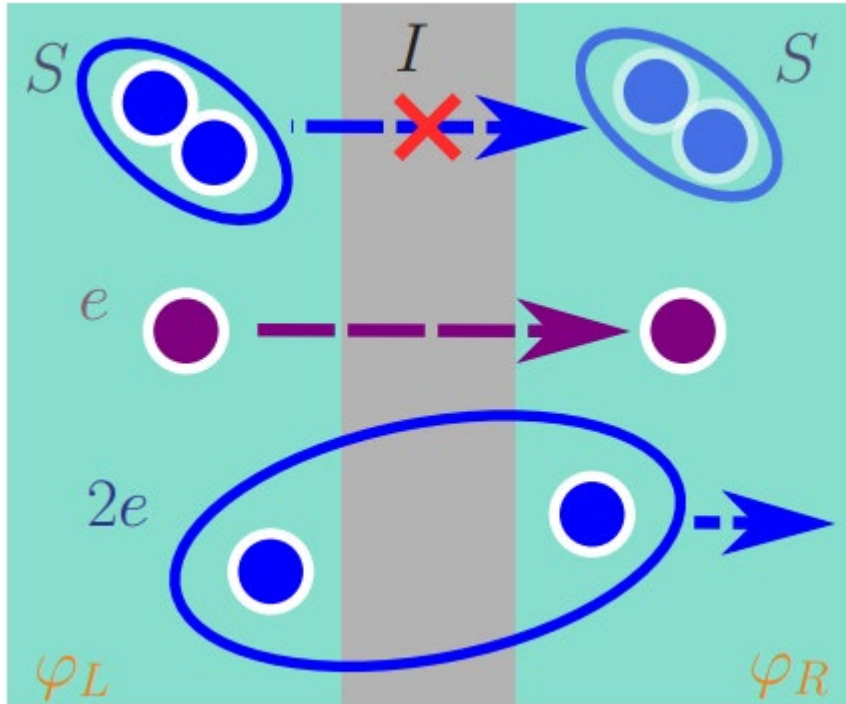
$$I = I_c \sin \varphi, \quad \varphi = \varphi_L - \varphi_R$$

$$E(\varphi) = \int_0^t I_s V dt = \int_0^\varphi I_c \sin \varphi' \frac{\hbar}{2e} d\varphi' = E_J (1 - \cos \varphi).$$



схемотехническое обозначение
джозефсоновского перехода

Эффект Джозефсона



Конденсаты «чувствуют» друг друга

$$I = I_c \sin \varphi, \quad \varphi = \varphi_L - \varphi_R$$

$$E(\varphi) = \int_0^t I_s V dt = \int_0^\varphi I_c \sin \varphi' \frac{\hbar}{2e} d\varphi' = E_J (1 - \cos \varphi).$$

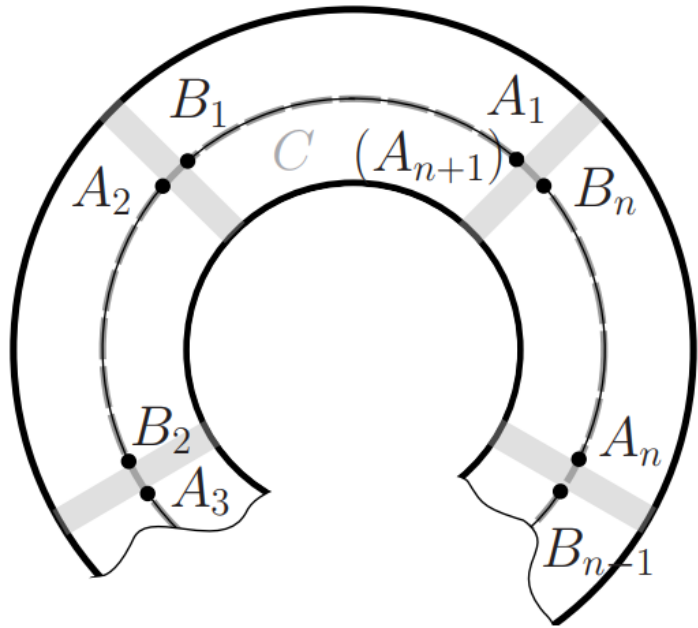


схемотехническое обозначение
джозефсоновского перехода

$$L_J = \Phi_0 / (2\pi I_c \cos \varphi)$$

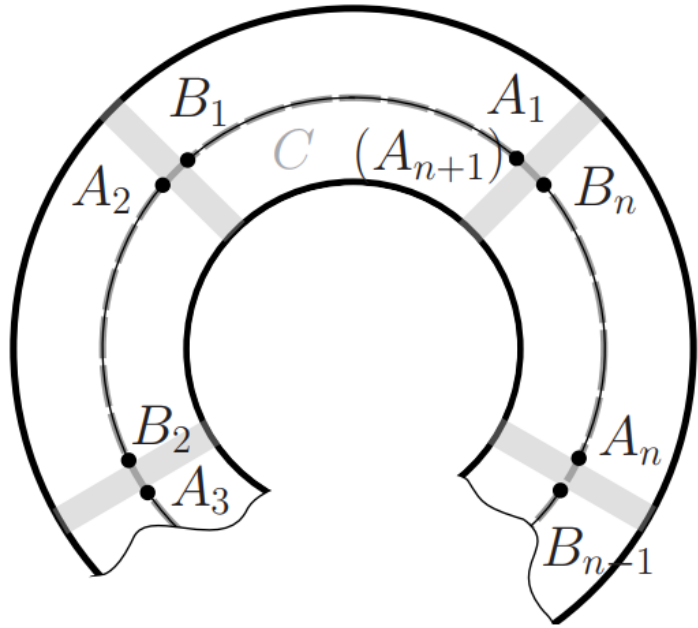
Нелинейная бездиссипативная индуктивность

Фазо-потоковое соотношение



$$\oint_C \mathbf{A} d\mathbf{l} = \frac{\Phi_0}{2\pi} \oint_C \nabla \varphi d\mathbf{l} \quad \rightarrow \quad \frac{2\pi\Phi}{\Phi_0} = 2\pi k + \sum_{i=1}^n \delta\varphi_i.$$

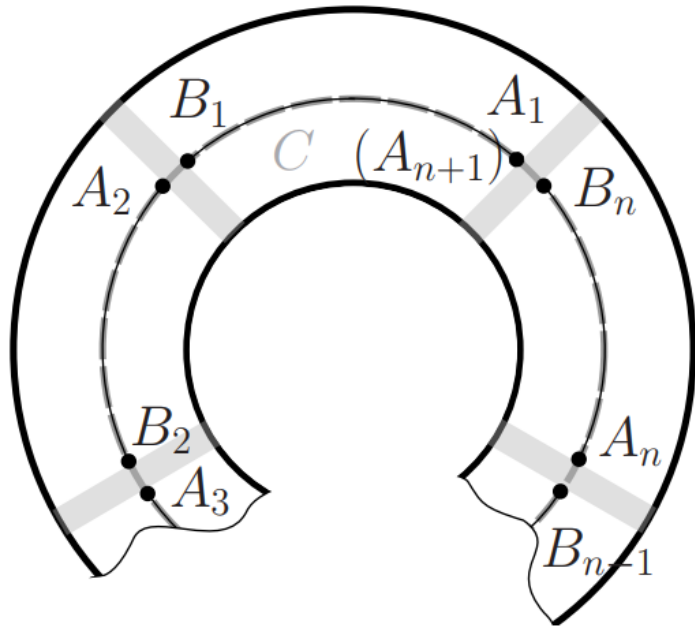
Фазо-потокковое соотношение



$$\oint_C \mathbf{A} d\mathbf{l} = \frac{\Phi_0}{2\pi} \oint_C \nabla \varphi d\mathbf{l} \quad \rightarrow \quad \frac{2\pi\Phi}{\Phi_0} = 2\pi k + \sum_{i=1}^n \delta\varphi_i.$$

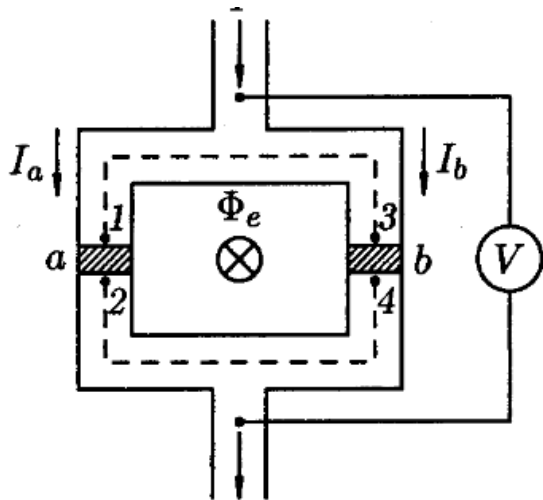
Поток в таком кольце не квантуется, но однозначно определяется разностями фаз на джозефсоновских переходах, так как набег фазы кратен 2π

Фазо-потокковое соотношение



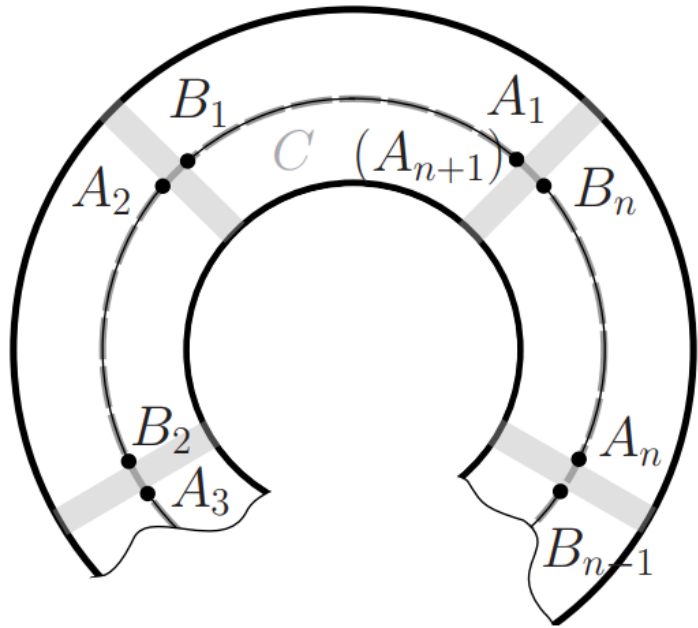
$$\oint_C \mathbf{A} d\mathbf{l} = \frac{\Phi_0}{2\pi} \oint_C \nabla \varphi d\mathbf{l} \quad \rightarrow \quad \frac{2\pi\Phi}{\Phi_0} = 2\pi k + \sum_{i=1}^n \delta\varphi_i.$$

Поток в таком кольце не квантуется, но однозначно определяется разностями фаз на джозефсоновских переходах, так как набег фазы кратен 2π



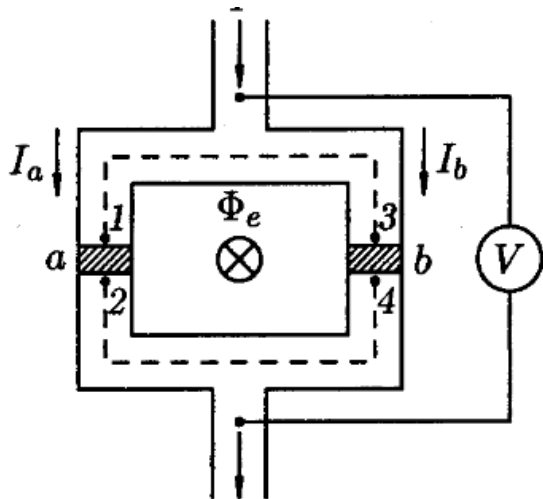
Пример: DC-SQUID

Фазо-потокковое соотношение



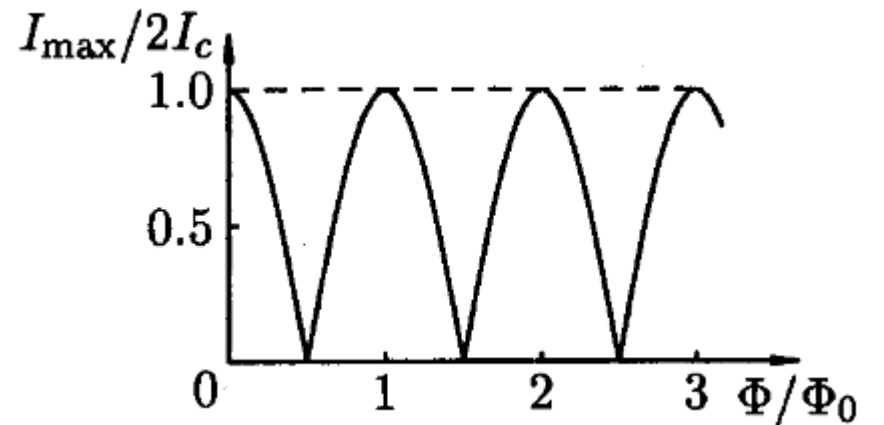
$$\oint_C \mathbf{A} d\mathbf{l} = \frac{\Phi_0}{2\pi} \oint_C \nabla \varphi d\mathbf{l} \quad \rightarrow \quad \frac{2\pi\Phi}{\Phi_0} = 2\pi k + \sum_{i=1}^n \delta\varphi_i.$$

Поток в таком кольце не квантуется, но однозначно определяется разностями фаз на джозефсоновских переходах, так как набег фазы кратен 2π

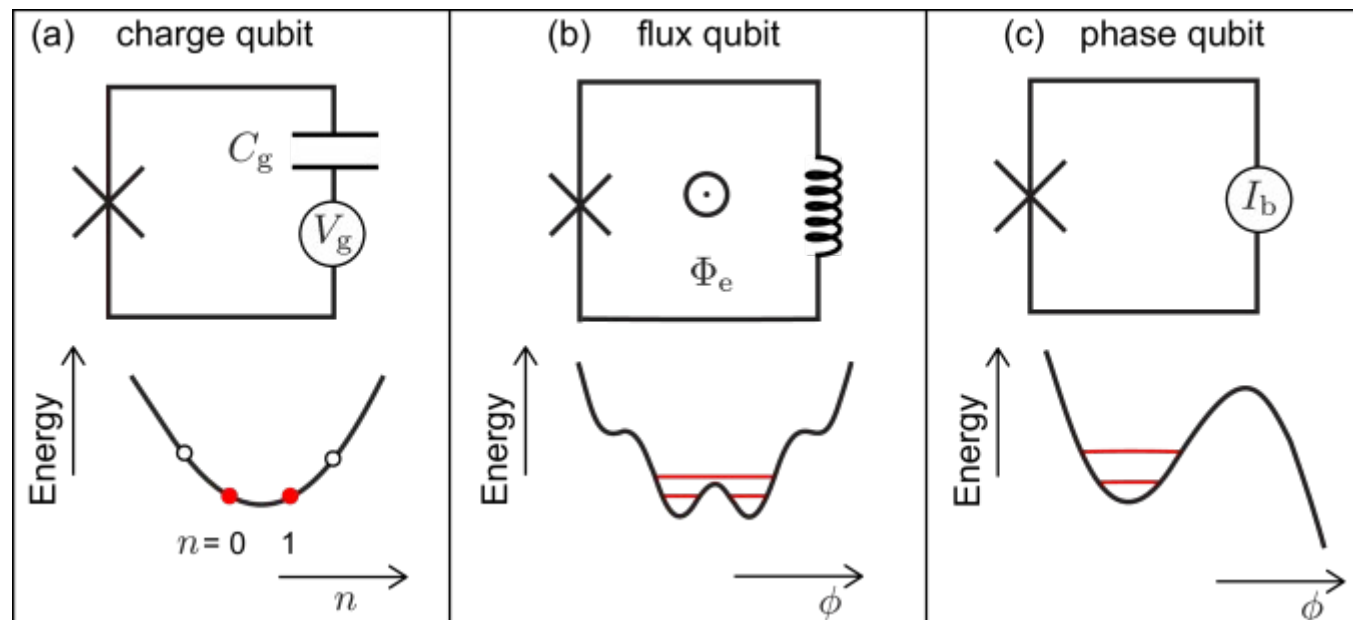


Пример: DC-SQUID

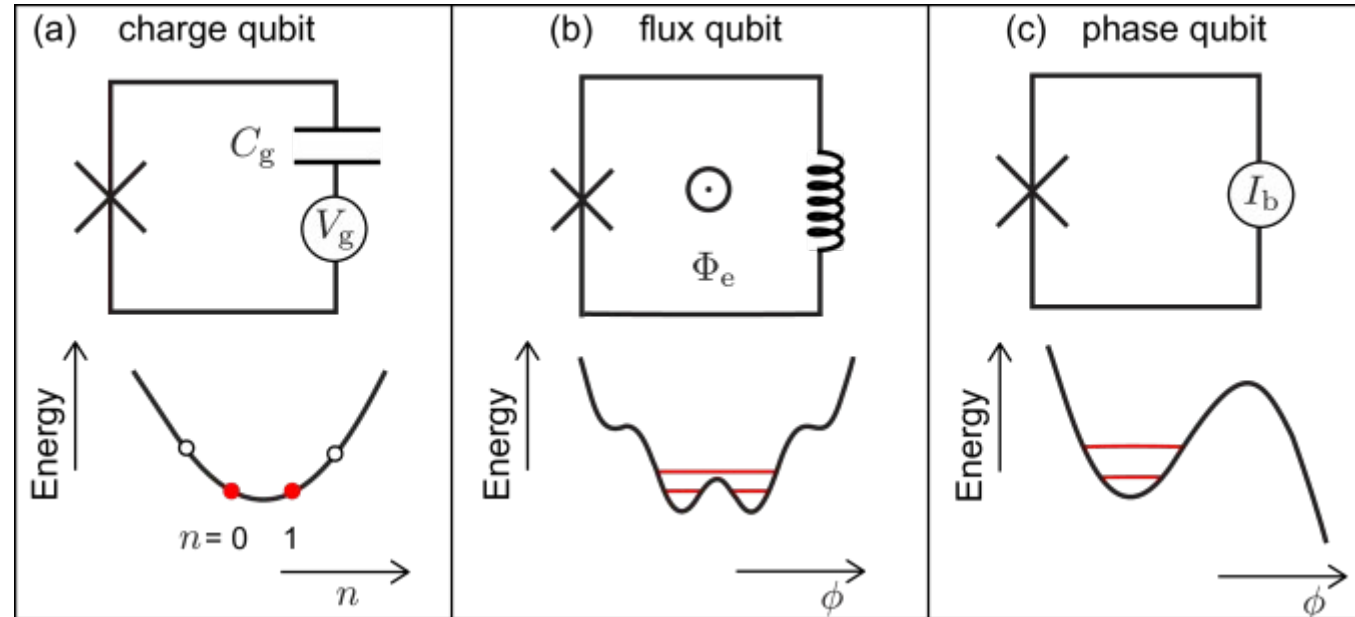
$$I = 2I_c \cos \frac{\pi\Phi}{\Phi_0} \sin \left(\varphi_b + \frac{\pi\Phi}{\Phi_0} \right).$$



Типы сверхпроводниковых квантовых цепей

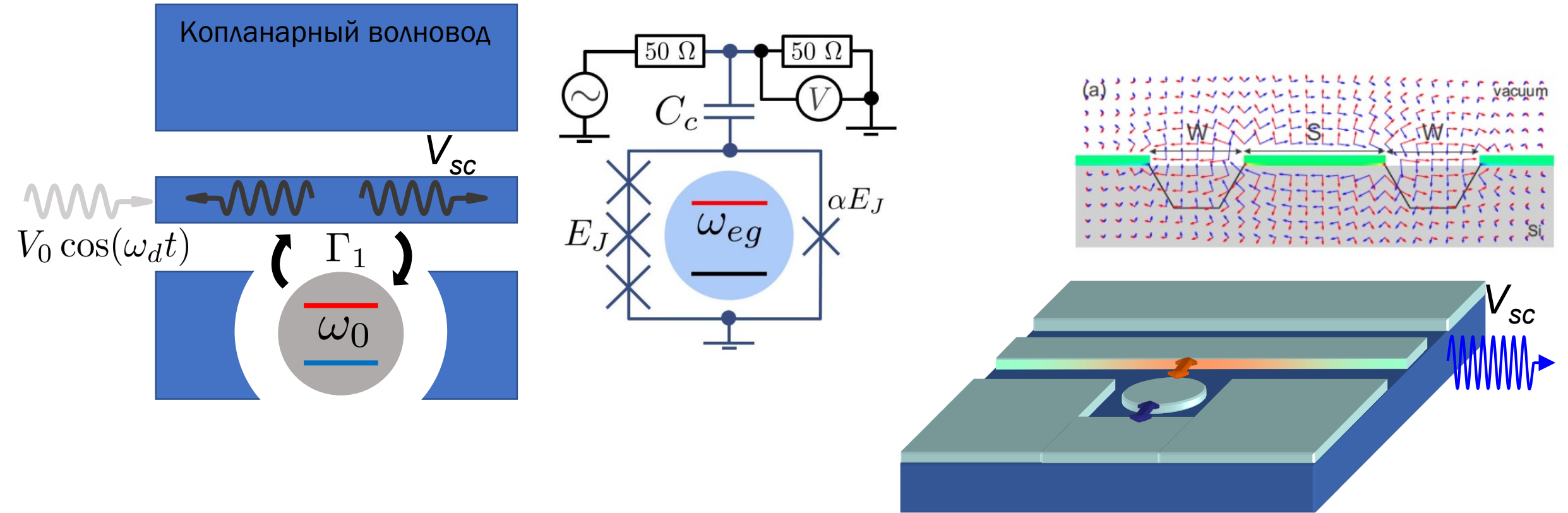


Типы сверхпроводниковых квантовых цепей



- Какая переменная хорошо определена: фаза или заряд
- Чувствительность к зарядовым флуктуациям или к магнитному шуму
- Способы управления и связи с другими цепями на чипе / друг с другом

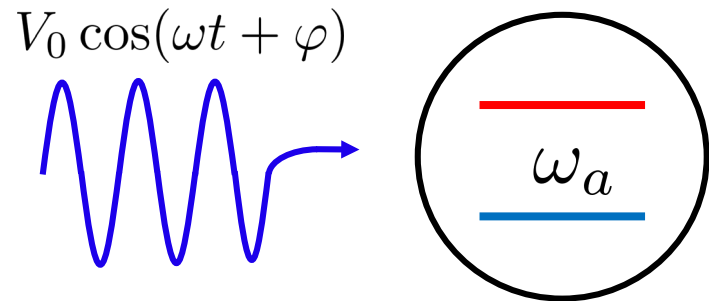
Кубит как искусственный атом



Сильная связь: $\Gamma_1 \gg$ безызлучательный распад или распад в другие моды

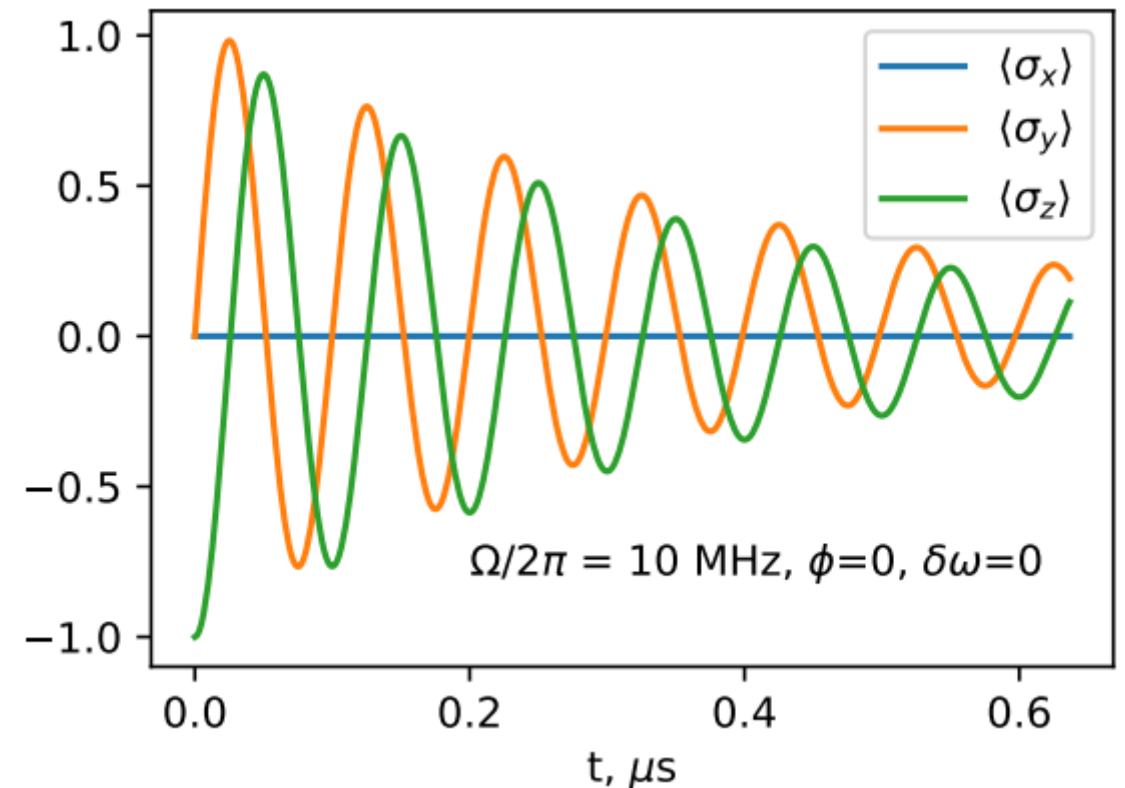
Кубит возбуждается налетающим полем \rightarrow переизлучает (рассеивает) \rightarrow интерференция. Как узнать что рассеялось?

Атом под действием монохроматического поля



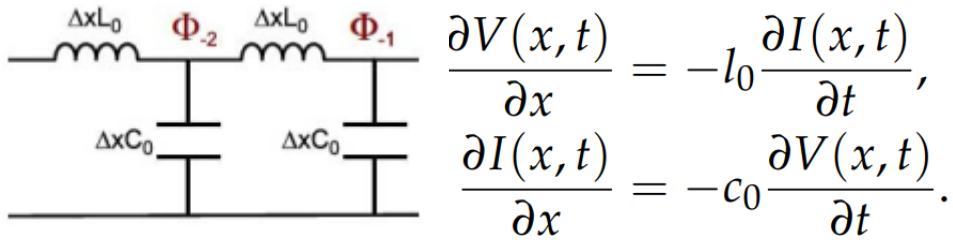
$$H = \frac{\omega_q}{2} \sigma_z + \Omega \cos(\omega t + \varphi) \sigma_x \quad \Omega = d_{eg} V_0 - \text{Rabi frequency}$$

- Унитарная эволюция – динамика Раби
- Основное уравнение (master equation) – диссипация и дефазировка добавляются феноменологически

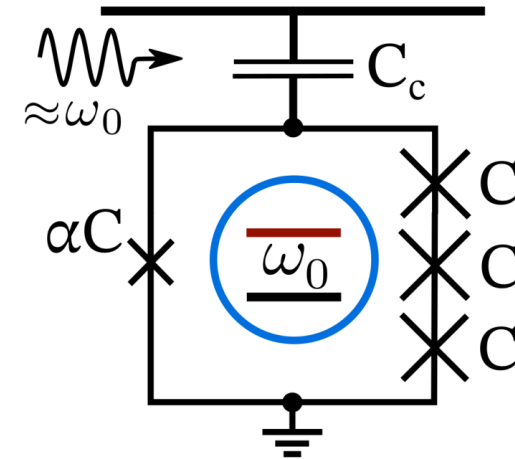
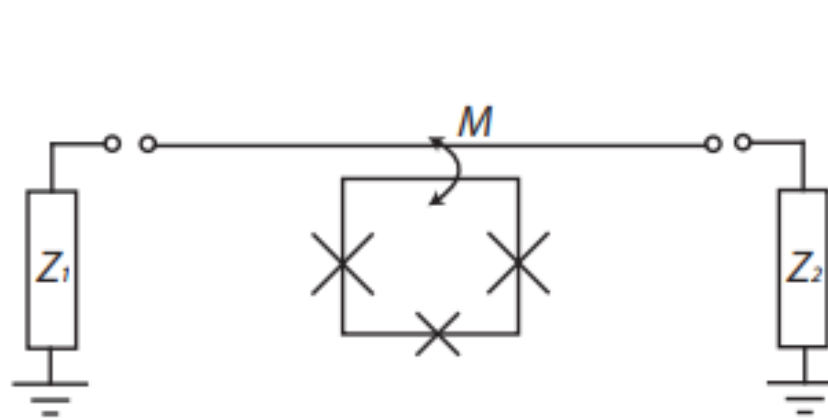


Schematics of atom in a waveguide

Voltage and current dynamics in waveguide:



e.g., flux qubit: coupled by two possible ways:



- Qubit located at $x=0$ induces I or V:

$$V(-0,t) = V(+0,t)$$

$$I(-0,t) = I(+0,t) + \frac{d\langle\Phi_q\rangle}{dt}$$

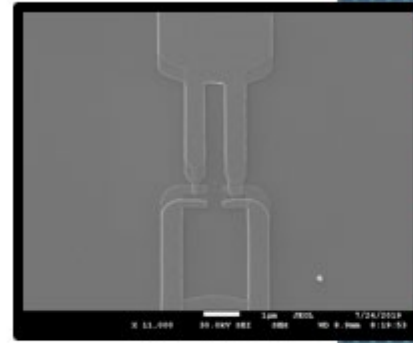
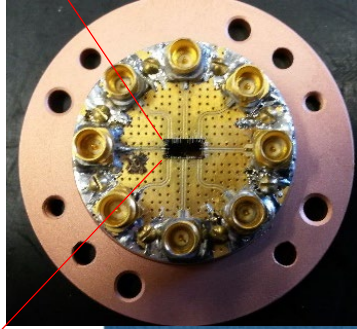
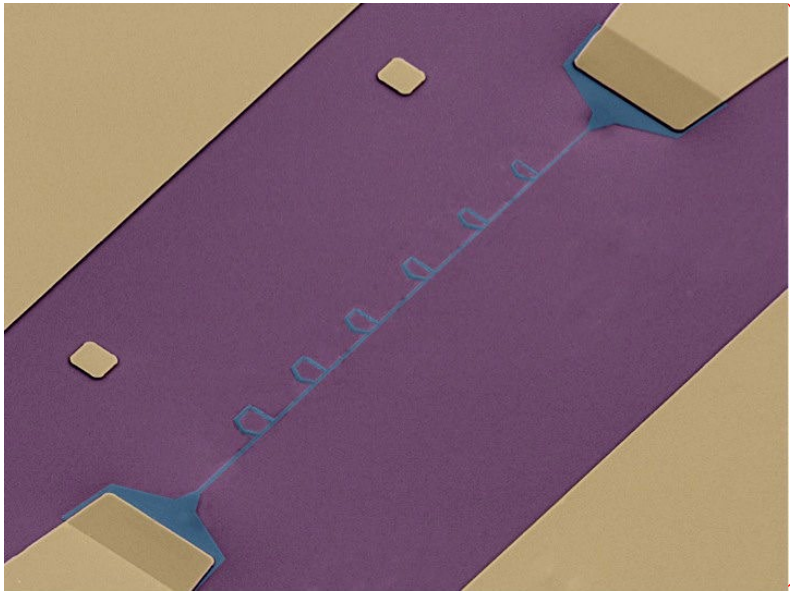
$$V(-0,t) = V(+0,t)$$

$$I(-0,t) = I(+0,t) + \frac{d\langle Q_q\rangle}{dt}$$

- As a result:

$$I_{sc}(t) = i \frac{\Gamma_1}{\mu_{eg}} \langle \sigma_-(t) \rangle$$

$$V_{sc}(t) = i \frac{\Gamma_1}{d_{eg}} \langle \sigma_-(t) \rangle$$



dc-squid

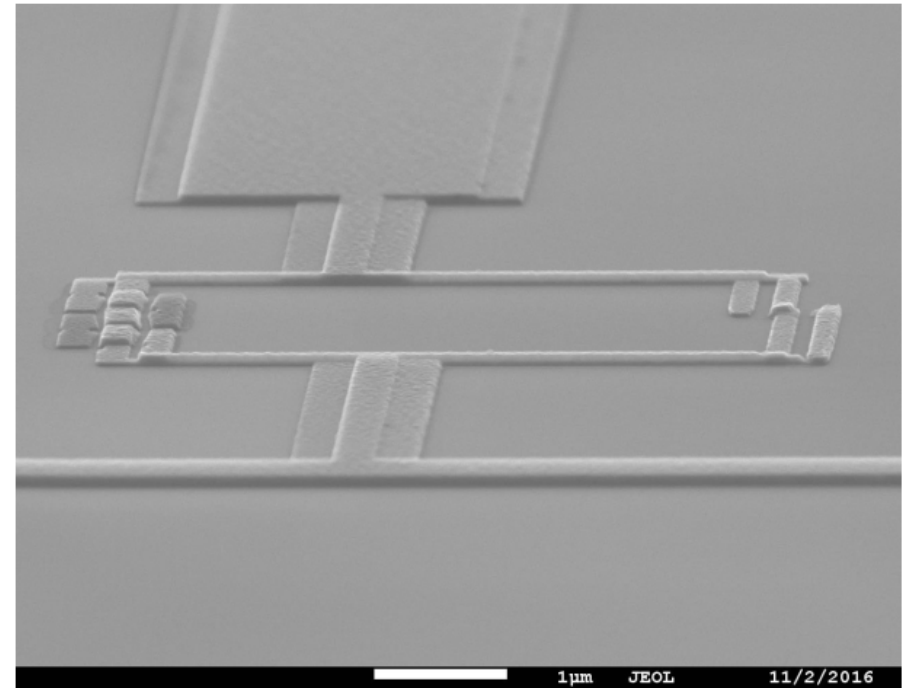
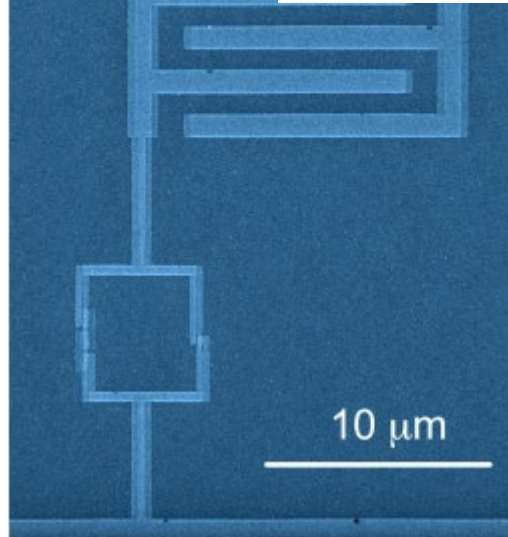
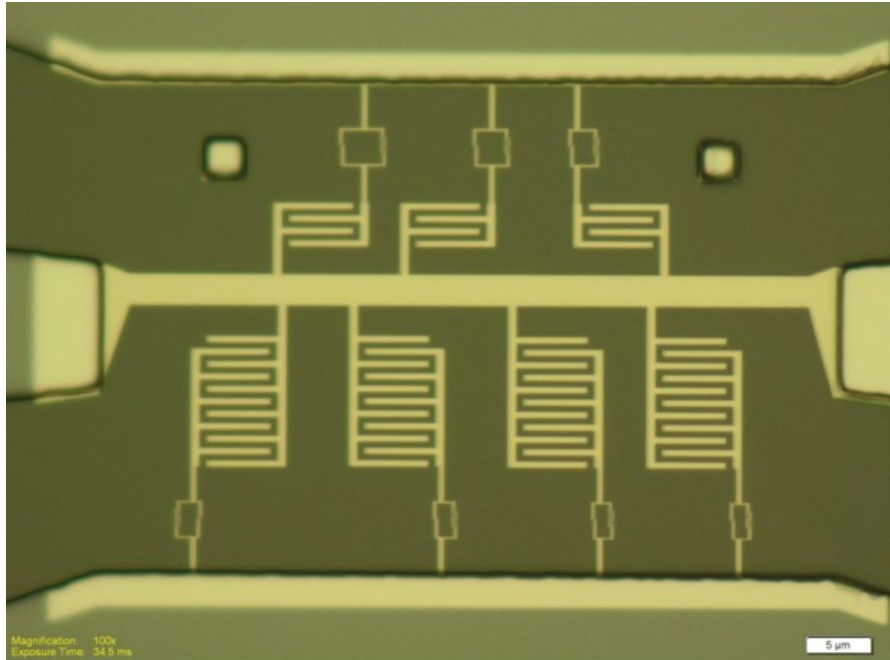
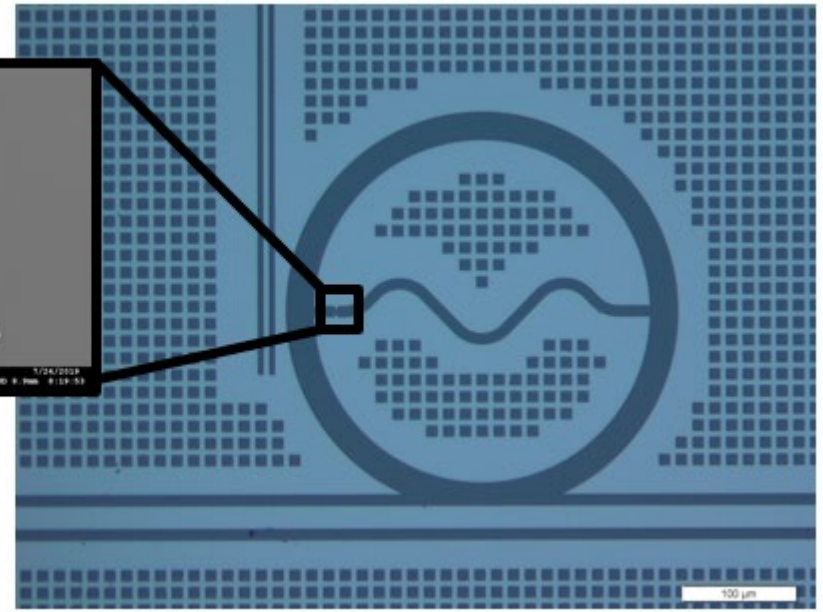


Схема измерений

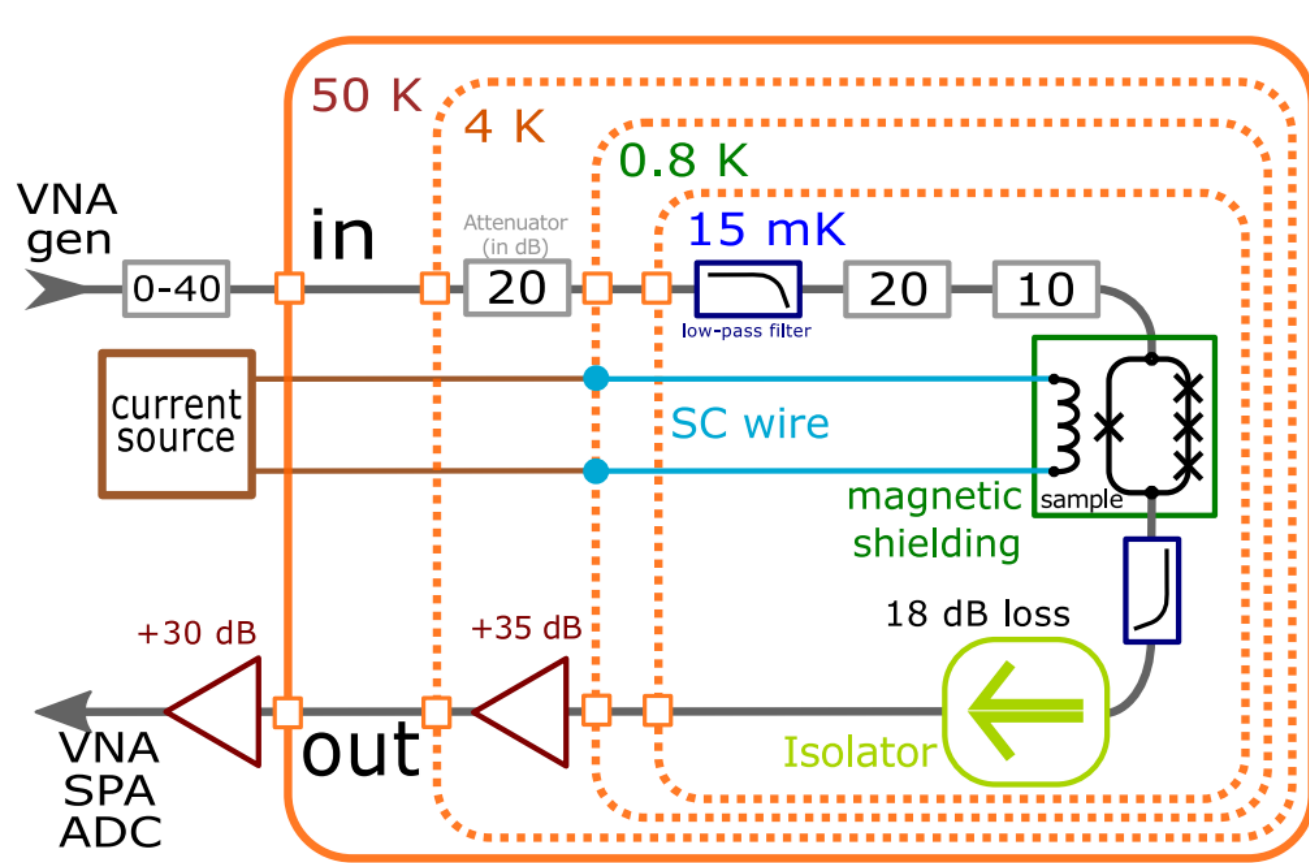
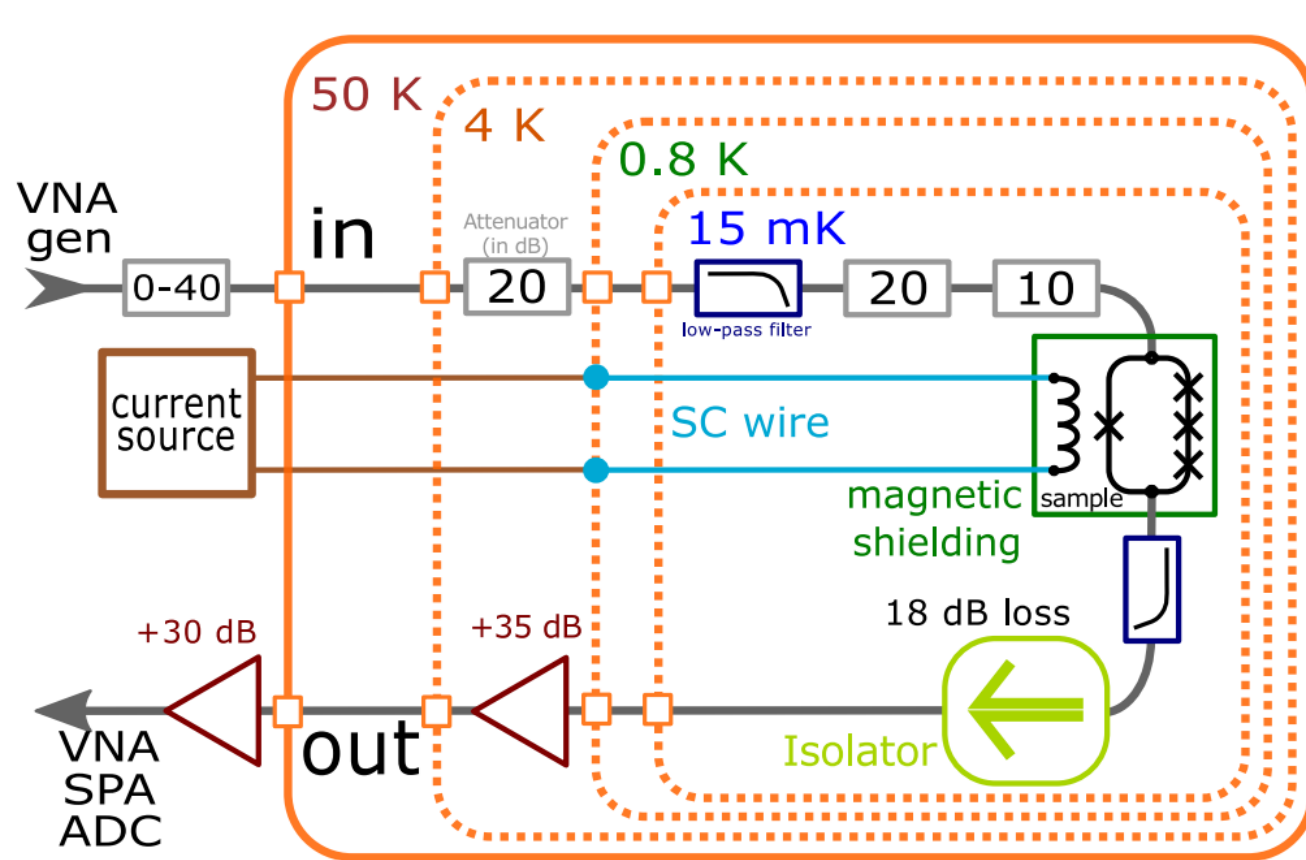
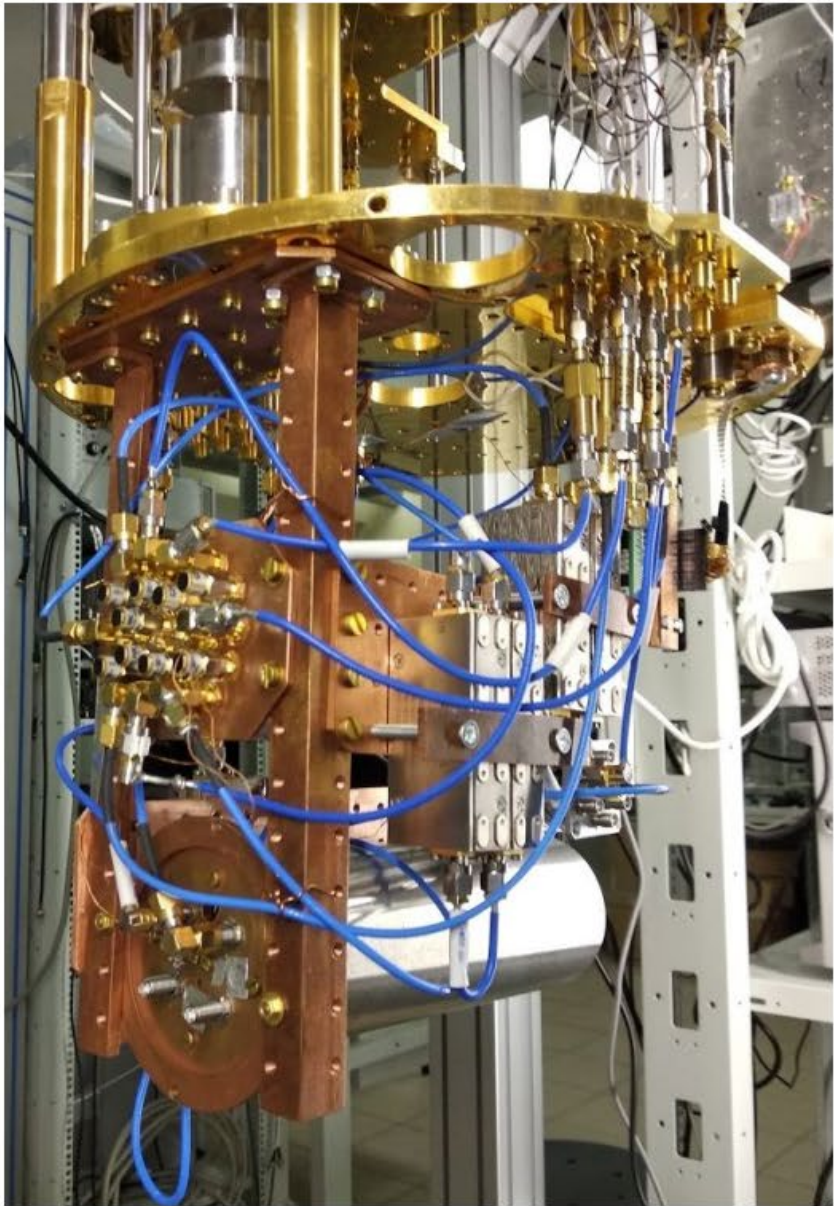


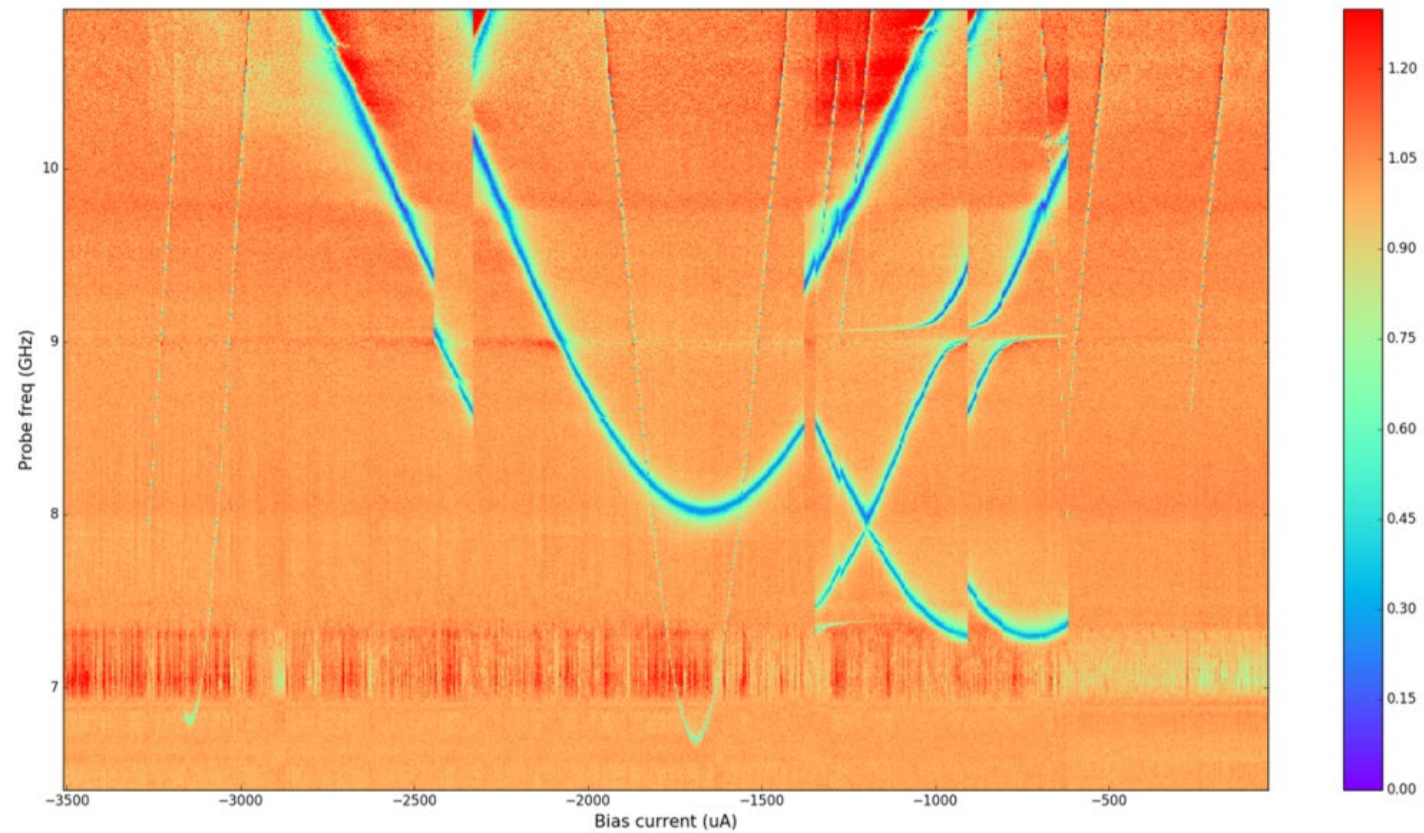
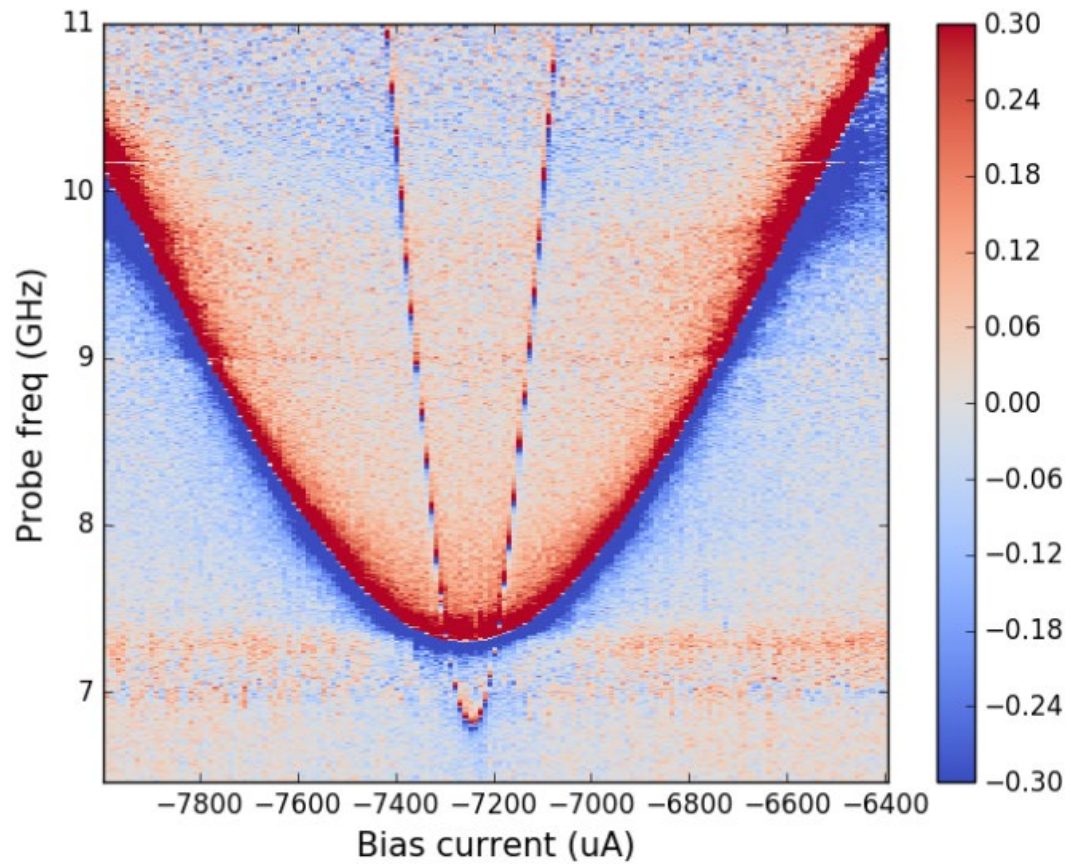
Схема измерений



- Измеряем отношение комплексной амплитуды выходного поля к входному (Векторный анализатор цепей)
- Или спектральную мощность (плотность) (Спектральный анализатор)
- Или временную развертку поля (быстрый АЦП)



Спектроскопия от магнитного поля



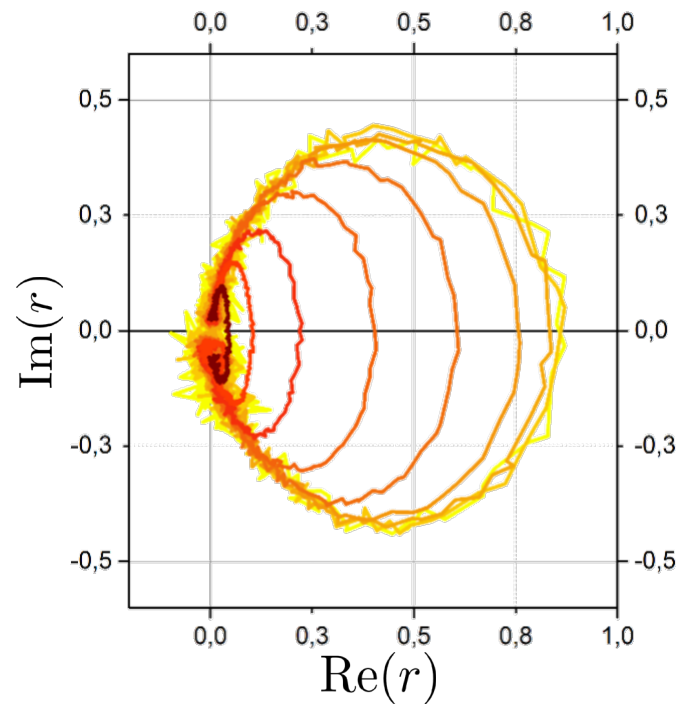
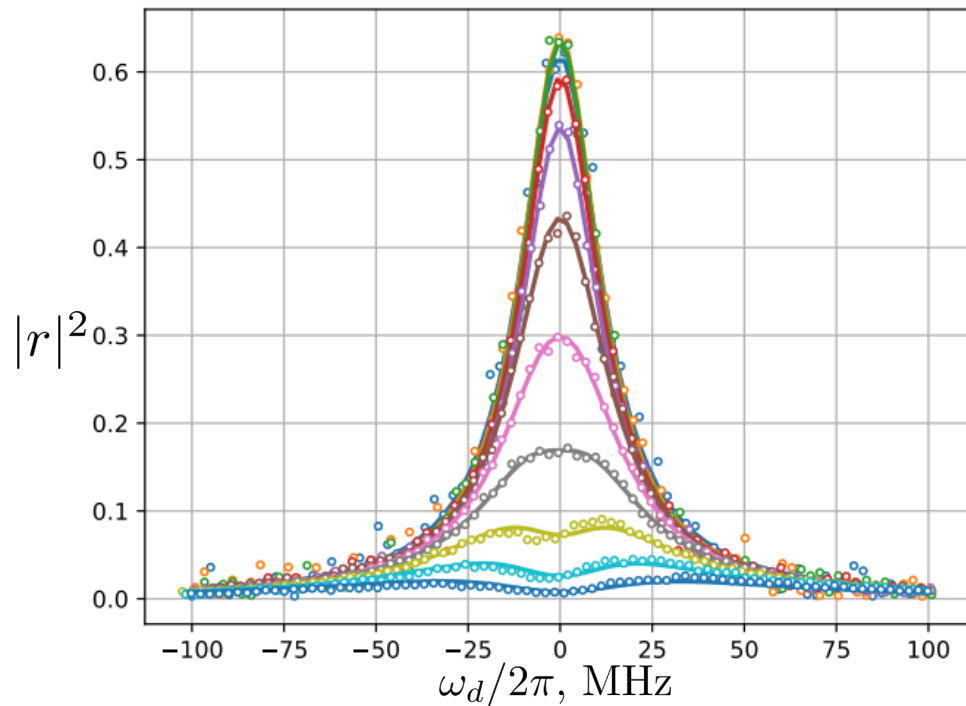
Scattered light properties

The stationary case from master equation: $\dot{\rho} = -i[H_{\text{RWA}}, \rho] + \hat{\mathcal{L}}\rho$

$$H_{\text{RWA}} = U H U^\dagger - i \dot{U} U^\dagger \approx \frac{1}{2} \begin{bmatrix} -\omega_d + \omega_q & \Omega e^{-i\varphi} \\ \Omega e^{i\varphi} & \omega_d - \omega_q \end{bmatrix}, \quad \mathcal{L} = \begin{bmatrix} -\Gamma_1(\rho_z + 1) & -\Gamma_1\left(\frac{\rho_x}{2} - \frac{i\rho_y}{2}\right) - \gamma_\phi(\rho_x - i\rho_y) \\ -\Gamma_1\left(\frac{\rho_x}{2} + \frac{i\rho_y}{2}\right) - \gamma_\phi(\rho_x + i\rho_y) & \Gamma_1(\rho_z + 1) \end{bmatrix}$$

$$\dot{\rho} = 0 \rightarrow r = \frac{V_{sc}}{V} = \frac{1 + i\lambda}{1 + \lambda^2 + \Omega^2/\Gamma_1\Gamma_2}, \quad \lambda = \delta\omega/\Gamma_2$$

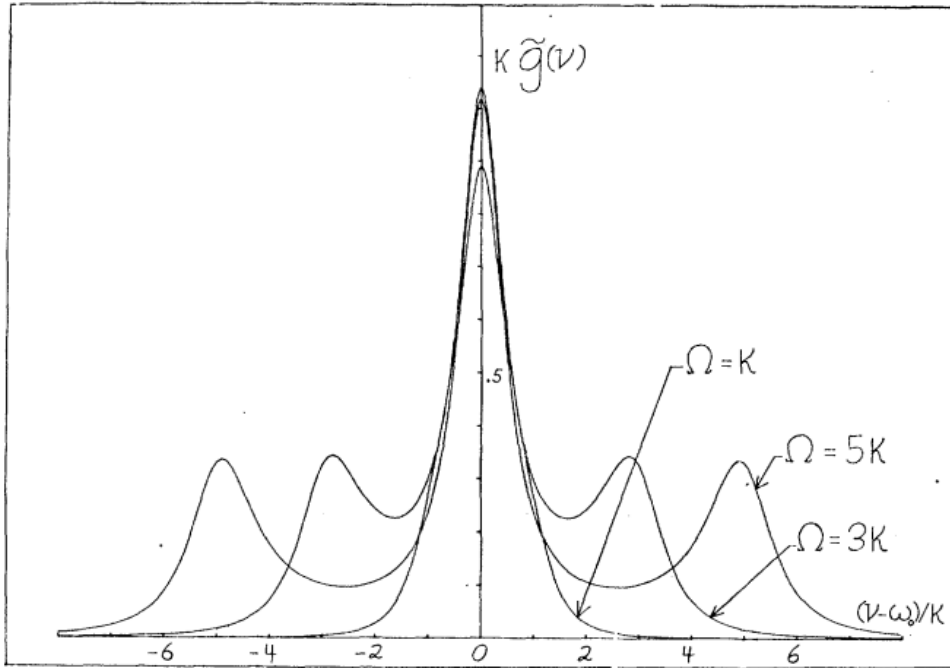
$\Gamma_1 = 19.99 \text{ MГц}, \Gamma_2 = 12.495 \text{ MГц}$



- Measured by VNA – well-defined phase
- But there is also incoherent part

Scattered light properties

Spectrum of scattered light



$$S_{in}(\omega) = \frac{\hbar\omega_q\Gamma_1}{2\pi} \int_{-\infty}^{\infty} \langle \Delta\hat{\sigma}_+(0)\Delta\hat{\sigma}_-(\tau) \rangle_{ss} e^{i(\omega-\omega_d)\tau} d\tau.$$

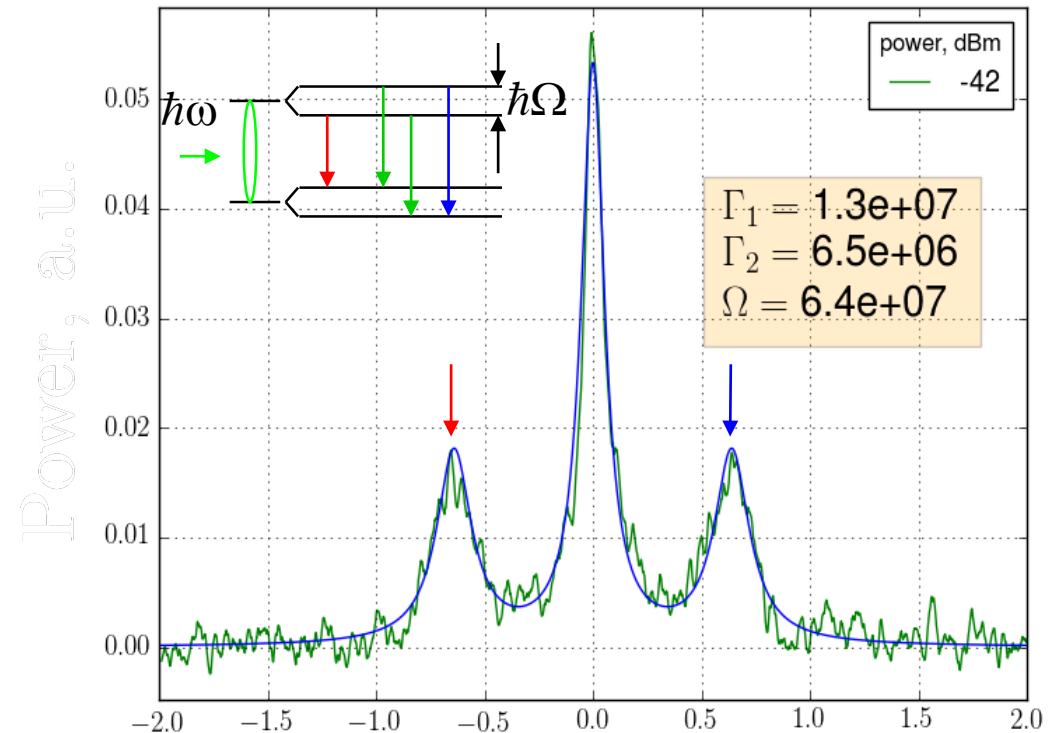
Mollow, *Phys. Rev.* 88(5), 1969

for $\Omega \gg \Gamma_1, \delta\omega$

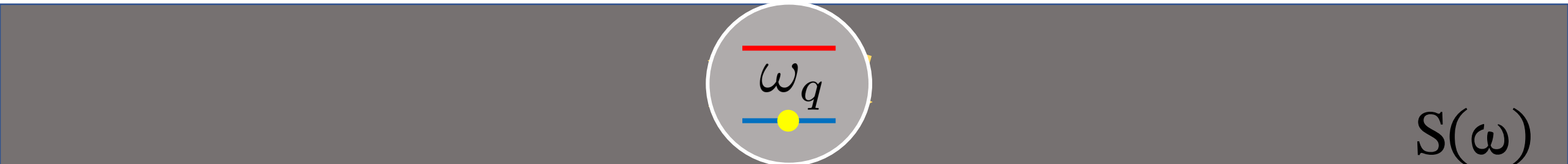
$$S_{in}(\delta\omega) = \frac{1}{2\pi} \frac{\hbar\omega_q\Gamma_1}{4} \left(\frac{\gamma_s}{(\delta\omega + \Omega)^2 + \gamma_s^2} + \frac{2\gamma_c}{\delta\omega^2 + \gamma_c^2} + \frac{\gamma_s}{(\delta\omega - \Omega)^2 + \gamma_s^2} \right)$$

$$\gamma_c = \Gamma_1/2 + \gamma_\varphi = \Gamma_2, \quad \gamma_s = 3\Gamma_1/4 + \gamma_\varphi/4 = (\Gamma_1 + \Gamma_2)/2.$$

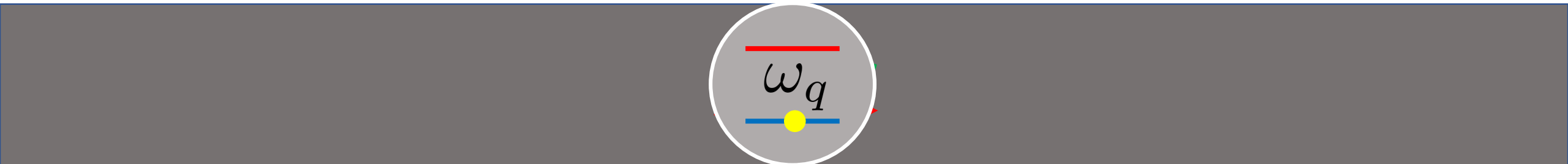
Mollow Triplet

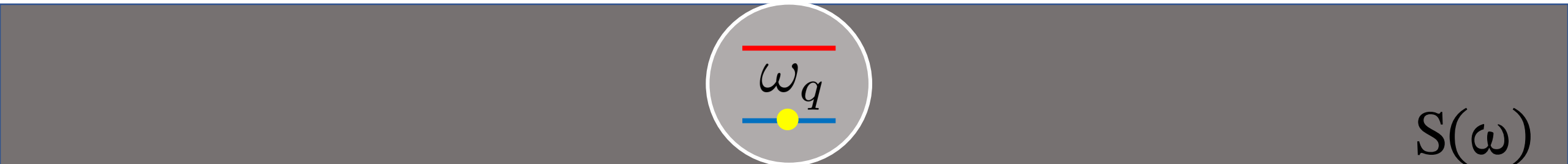


Astafiev et al., *Science*, 2010



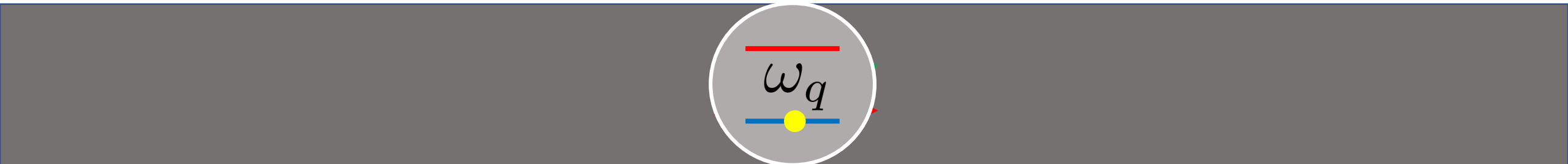
$$\omega_d \approx \omega_q$$





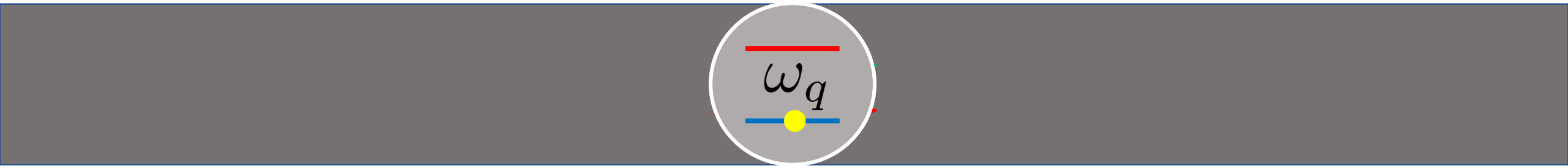
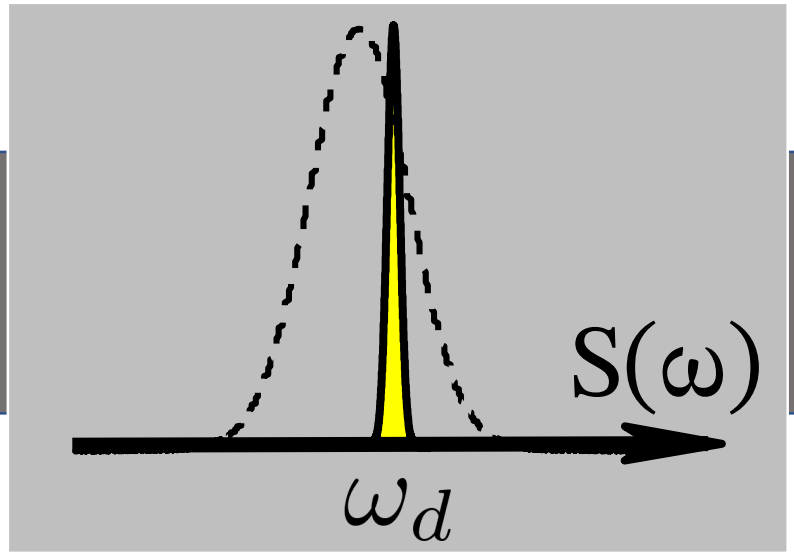
$\omega_d \approx \omega_q$

ω_d



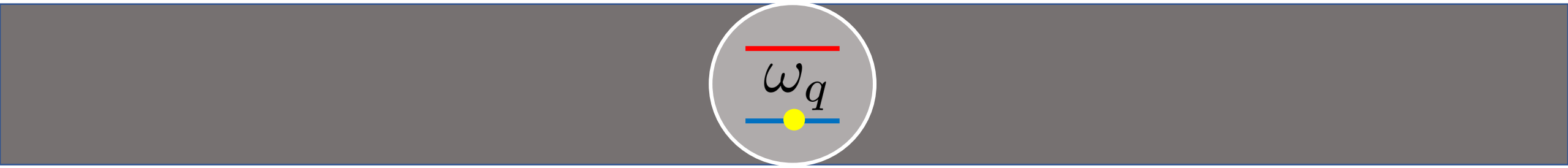
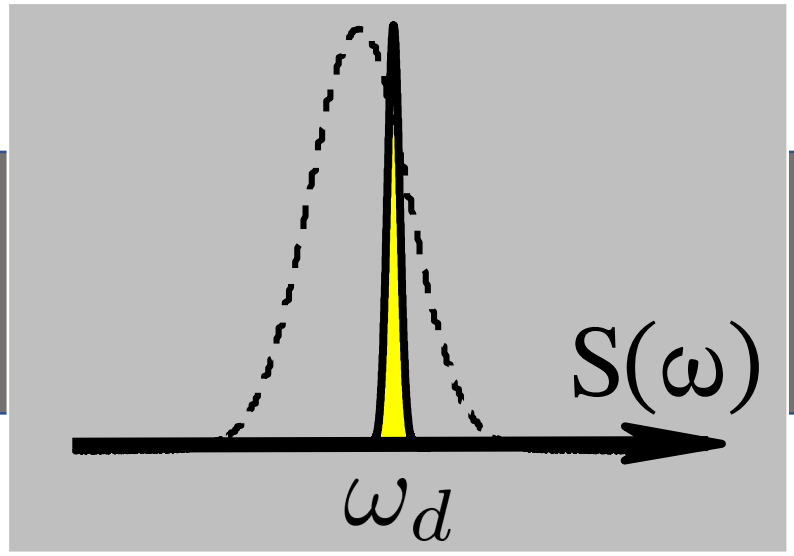


$\omega_d \approx \omega_q$



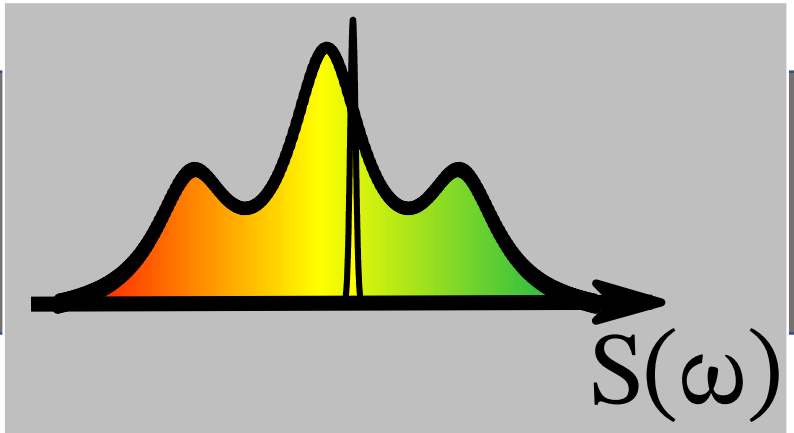
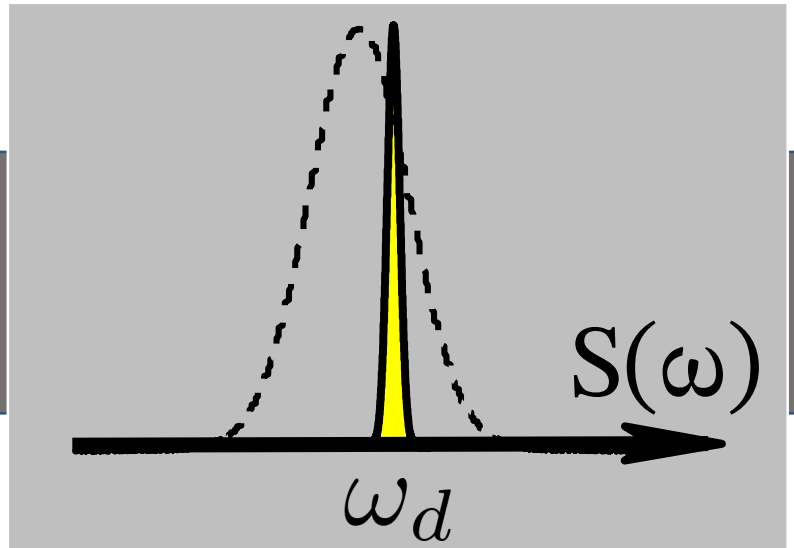


$$\omega_d \approx \omega_q$$





$$\omega_d \approx \omega_q$$



Четырехволновое смещение

Четырехволновое смещение

- В нелинейной среде: $P^{(3)} \propto E^3$

Четырехволновое смещение

- В нелинейной среде: $P^{(3)} \propto E^3$
- Бихроматическая накачка: $E(t) = E_-(t) + E_+(t) = E_- \cos \omega_- t + E_+ \cos \omega_+ t$

Четырехволновое смешение

- В нелинейной среде: $P^{(3)} \propto E^3$
- Бихроматическая накачка: $E(t) = E_-(t) + E_+(t) = E_- \cos \omega_- t + E_+ \cos \omega_+ t$
 $P^{(3)} \propto \dots + E_-^2 E_+ \cos(2\omega_- - \omega_+)t + E_+^2 E_- \cos(2\omega_+ - \omega_-)t + \dots$

Четырехволновое смешение

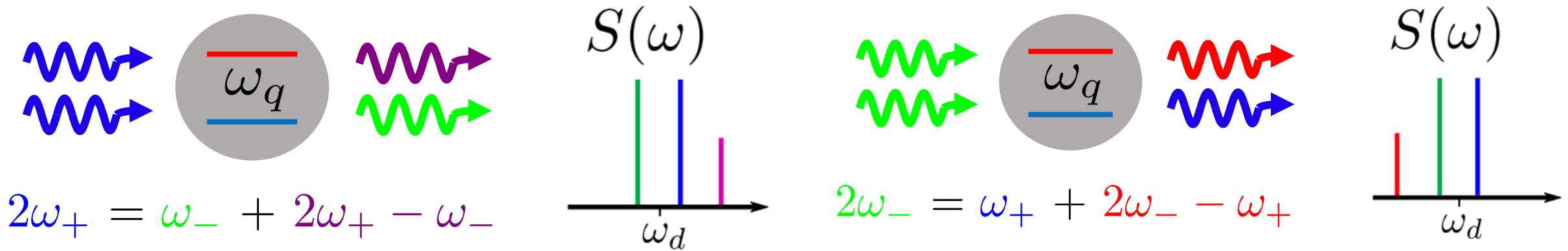
- В нелинейной среде: $P^{(3)} \propto E^3$
- Бихроматическая накачка: $E(t) = E_-(t) + E_+(t) = E_- \cos \omega_- t + E_+ \cos \omega_+ t$
 $P^{(3)} \propto \dots + E_-^2 E_+ \cos(2\omega_- - \omega_+)t + E_+^2 E_- \cos(2\omega_+ - \omega_-)t + \dots$

Четырехволновое смешение

- В нелинейной среде: $P^{(3)} \propto E^3$
- Бихроматическая накачка: $E(t) = E_-(t) + E_+(t) = E_- \cos \omega_- t + E_+ \cos \omega_+ t$
 $P^{(3)} \propto \dots + E_-^2 E_+ \cos(2\omega_- - \omega_+)t + E_+^2 E_- \cos(2\omega_+ - \omega_-)t + \dots$

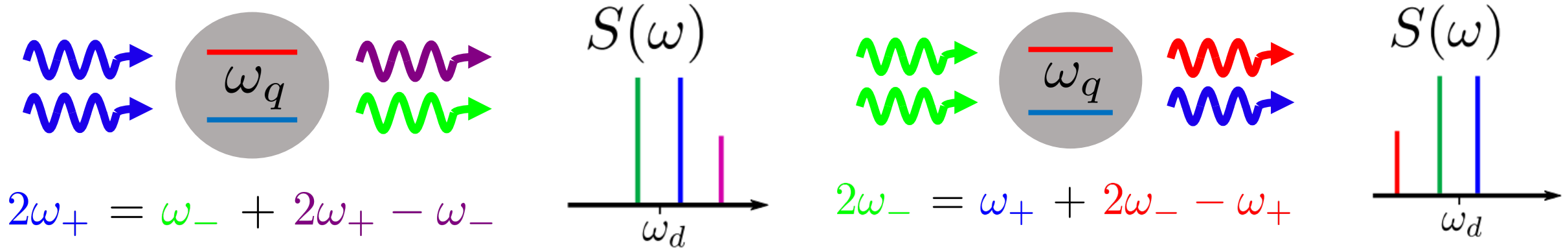
Четырехволновое смешение

- В нелинейной среде: $P^{(3)} \propto E^3$
- Бихроматическая накачка: $E(t) = E_-(t) + E_+(t) = E_- \cos \omega_- t + E_+ \cos \omega_+ t$
 $P^{(3)} \propto \dots + E_-^2 E_+ \cos(2\omega_- - \omega_+)t + E_+^2 E_- \cos(2\omega_+ - \omega_-)t + \dots$
- Можно рассматривать кубит как нелинейную среду – происходит многофотонное рассеяние:



Четырехволновое смешение

- В нелинейной среде: $P^{(3)} \propto E^3$
- Бихроматическая накачка: $E(t) = E_-(t) + E_+(t) = E_- \cos \omega_- t + E_+ \cos \omega_+ t$
 $P^{(3)} \propto \dots + E_-^2 E_+ \cos(2\omega_- - \omega_+)t + E_+^2 E_- \cos(2\omega_+ - \omega_-)t + \dots$
- Можно рассматривать кубит как нелинейную среду – происходит многофотонное рассеяние:



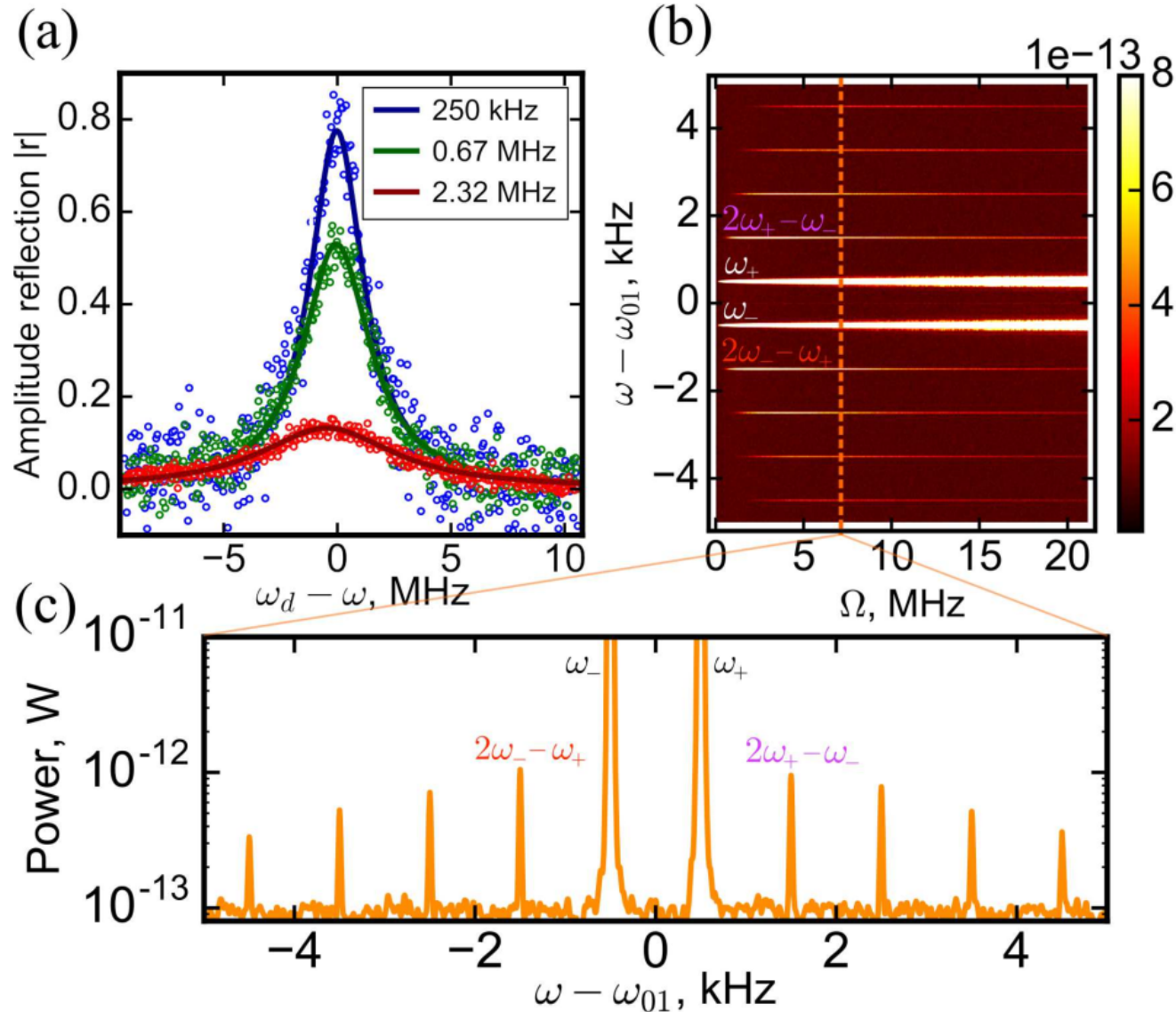
Y. Zhu, Phys Rev A (1989) – экспериментальная демонстрация неэластичной части (атомы Ba)

G. Agarwal, JOSA B (1991) – численный расчет полного спектра флуоресценции

W. Ruyten, JOSA B (1992) – аналитический расчет эластичной части спектра

H. Freedhoff, Phys Rev A (1990) – аналитический расчет неэластичной части спектра

Обнаружение волнового смещения



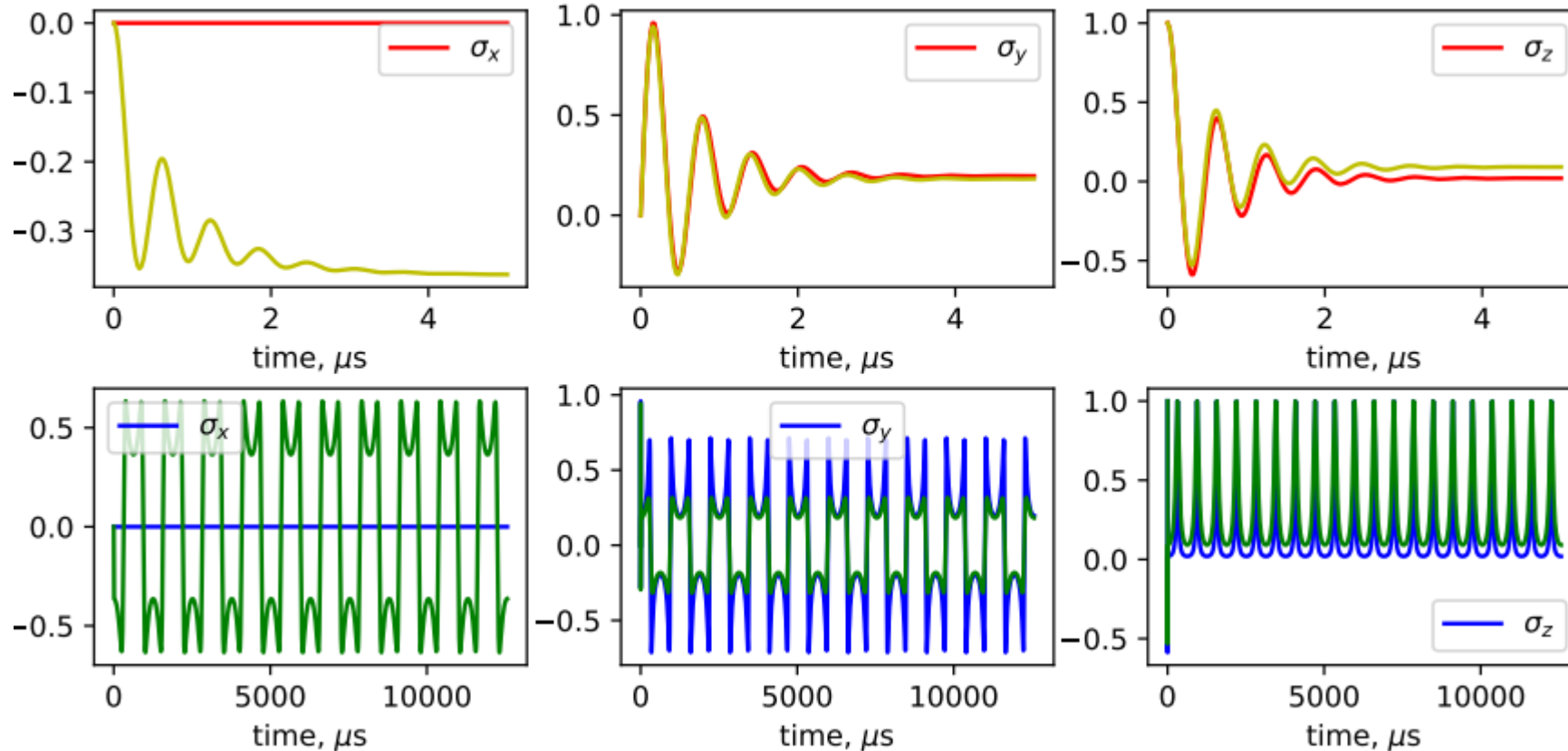
- Emission at frequencies:

$$\omega_{\pm}(2p-1) = (p+1)\omega_{\pm} - p\omega_{\mp}$$

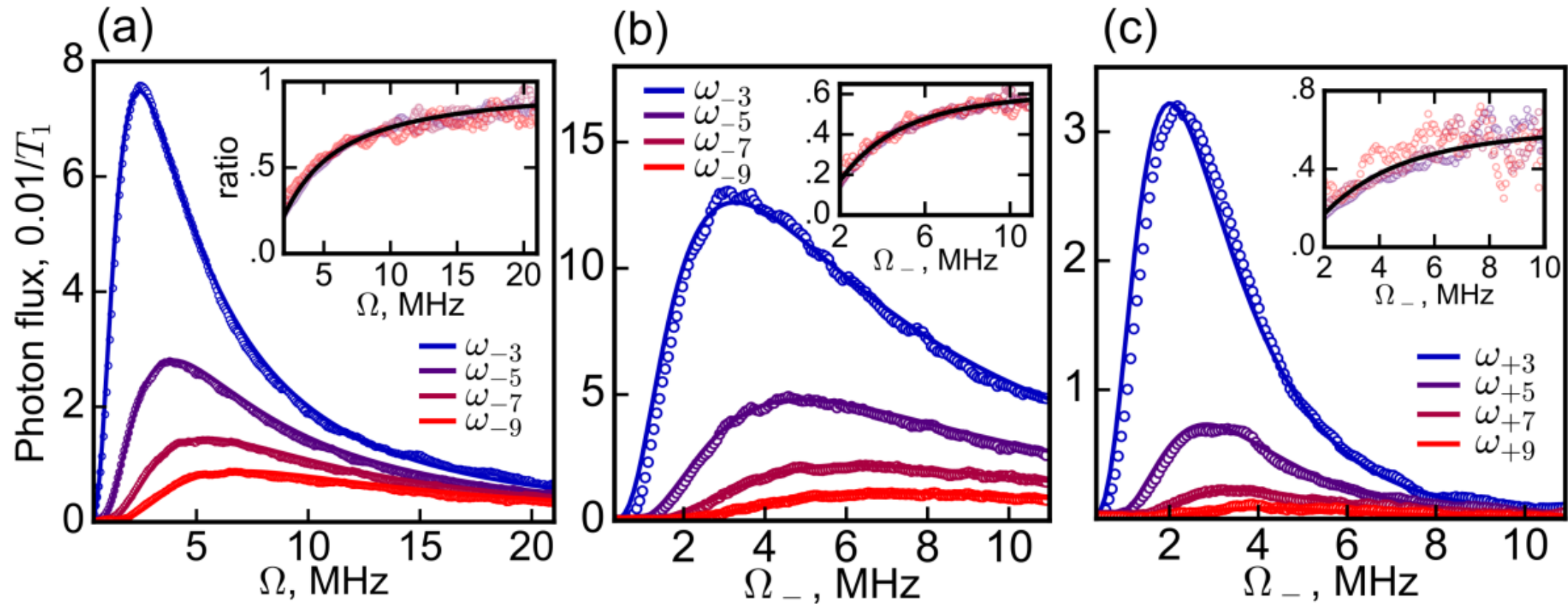
Численный расчет динамики

$$H = -\frac{\hbar\omega_{01}}{2}\sigma_z - \hbar\Omega_-\sigma_x \cos(\omega_d t - \delta\omega t) - \hbar\Omega_+\sigma_x \cos(\omega_d t + \delta\omega t),$$

{ $\Omega:5$, $\delta:0.005$, $\delta\omega:1$, $\Gamma_1:2$, $\Gamma_2:0$, $\phi:0$ }



Интенсивности боковых компонент

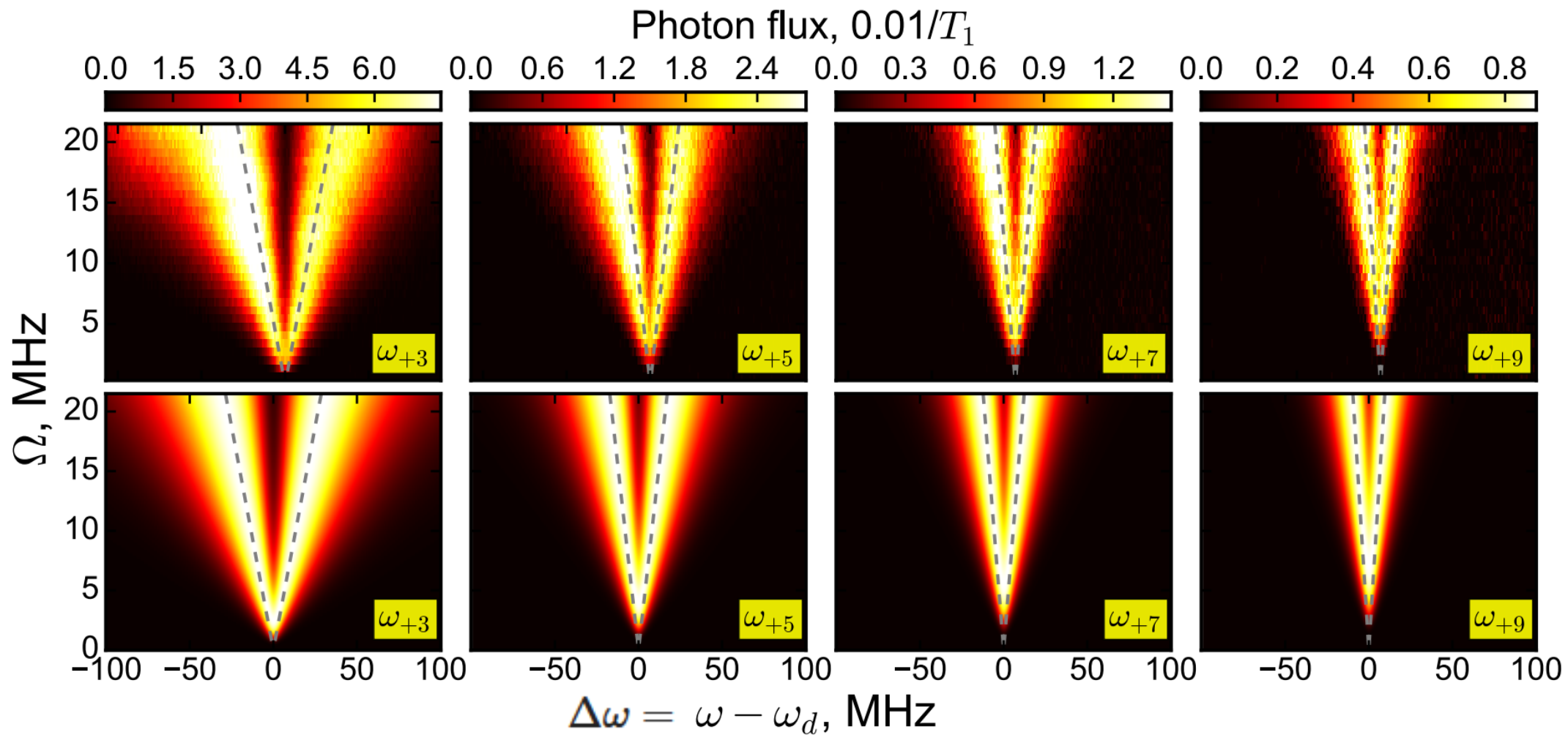


$$\langle \sigma^- \rangle = -\frac{\sin \theta}{\Lambda} \frac{\Omega_- e^{-i\delta\omega t} + \Omega_+ e^{i\delta\omega t}}{1 + \sin \theta \cos 2\delta\omega t}.$$

$$V_{\pm(2p+1)}^{sc} = \frac{(-1)^p \Gamma_1 \tan \theta \tan^p \frac{\theta}{2}}{\Lambda} (V_{\mp} \tan \frac{\theta}{2} - V_{\pm}),$$

$$\theta = \theta(\Omega_+, \Omega_-, \Gamma_1, \Gamma_2, \lambda) \quad \Lambda = \Lambda(\Omega_+, \Omega_-, \Gamma_1, \Gamma_2, \lambda)$$

Расщепление боковых компонент



Пунктирные линии соответствуют $\Delta\omega = 4\Omega/(2p + 1)$

Гомодинная схема измерений

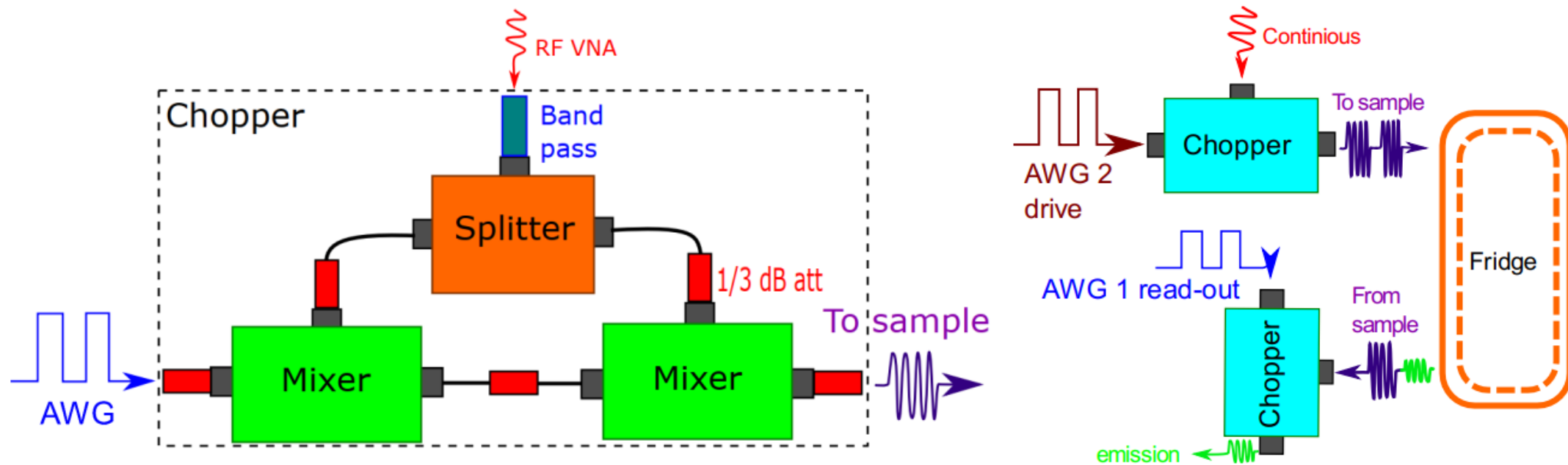
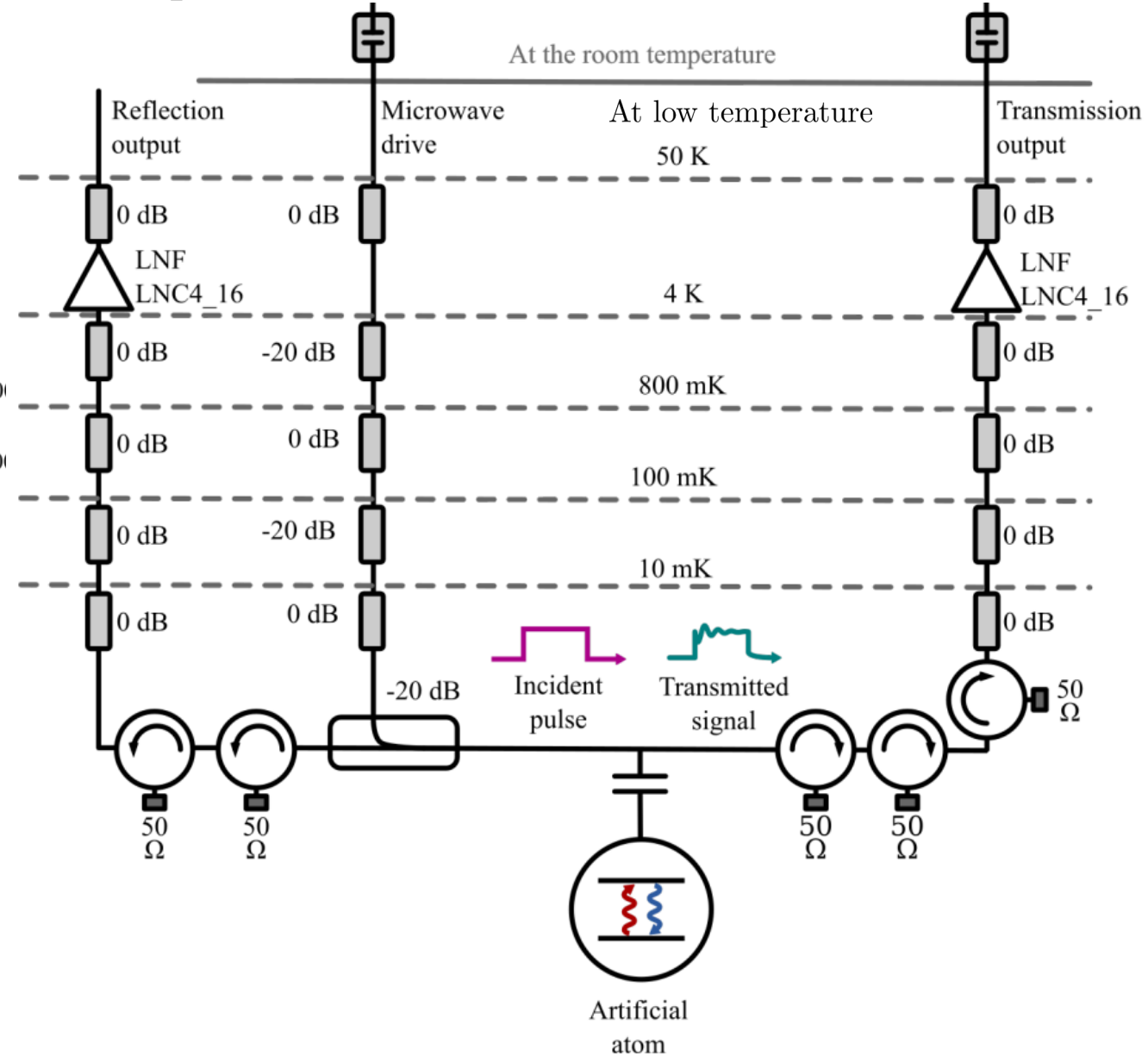
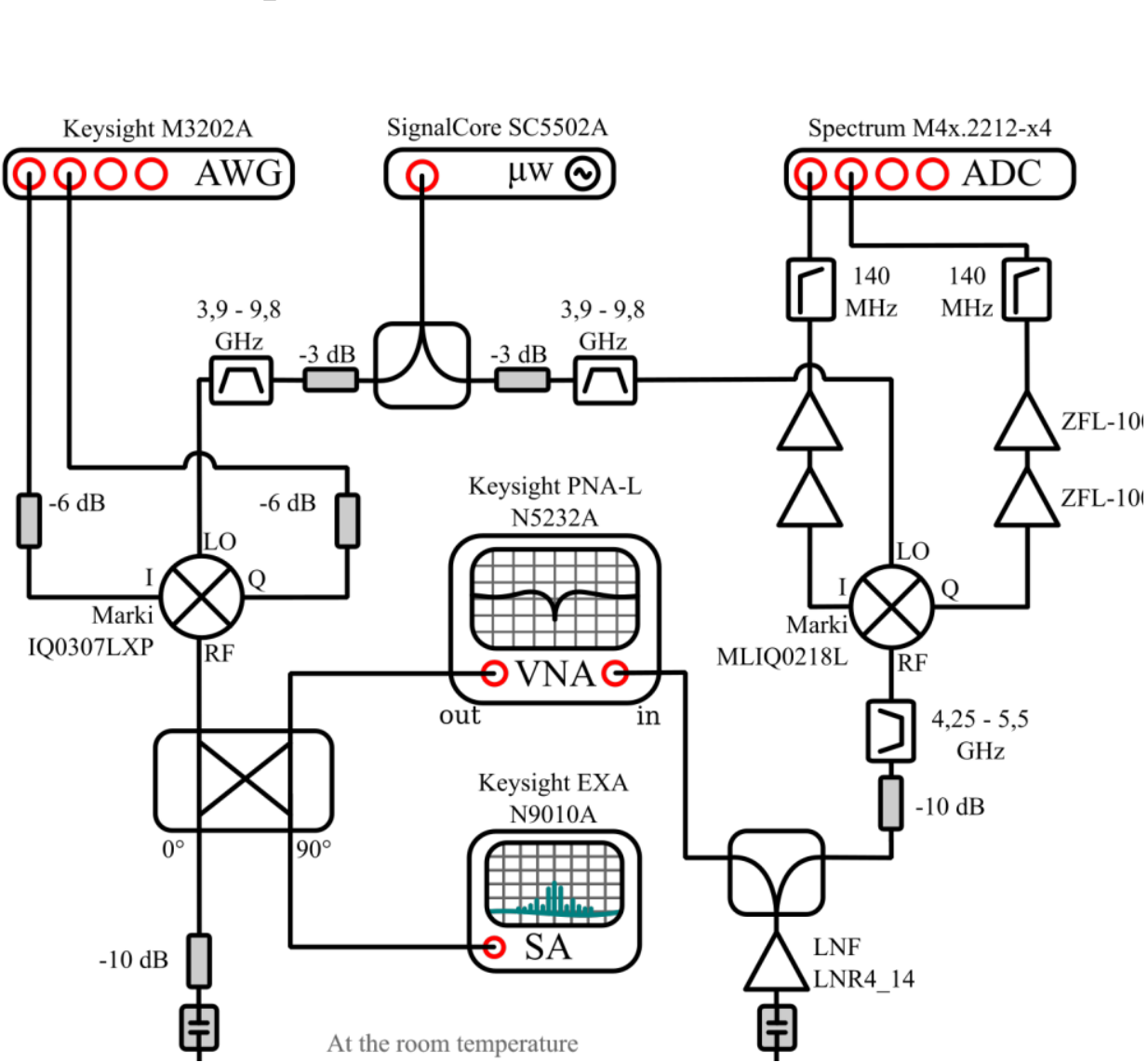
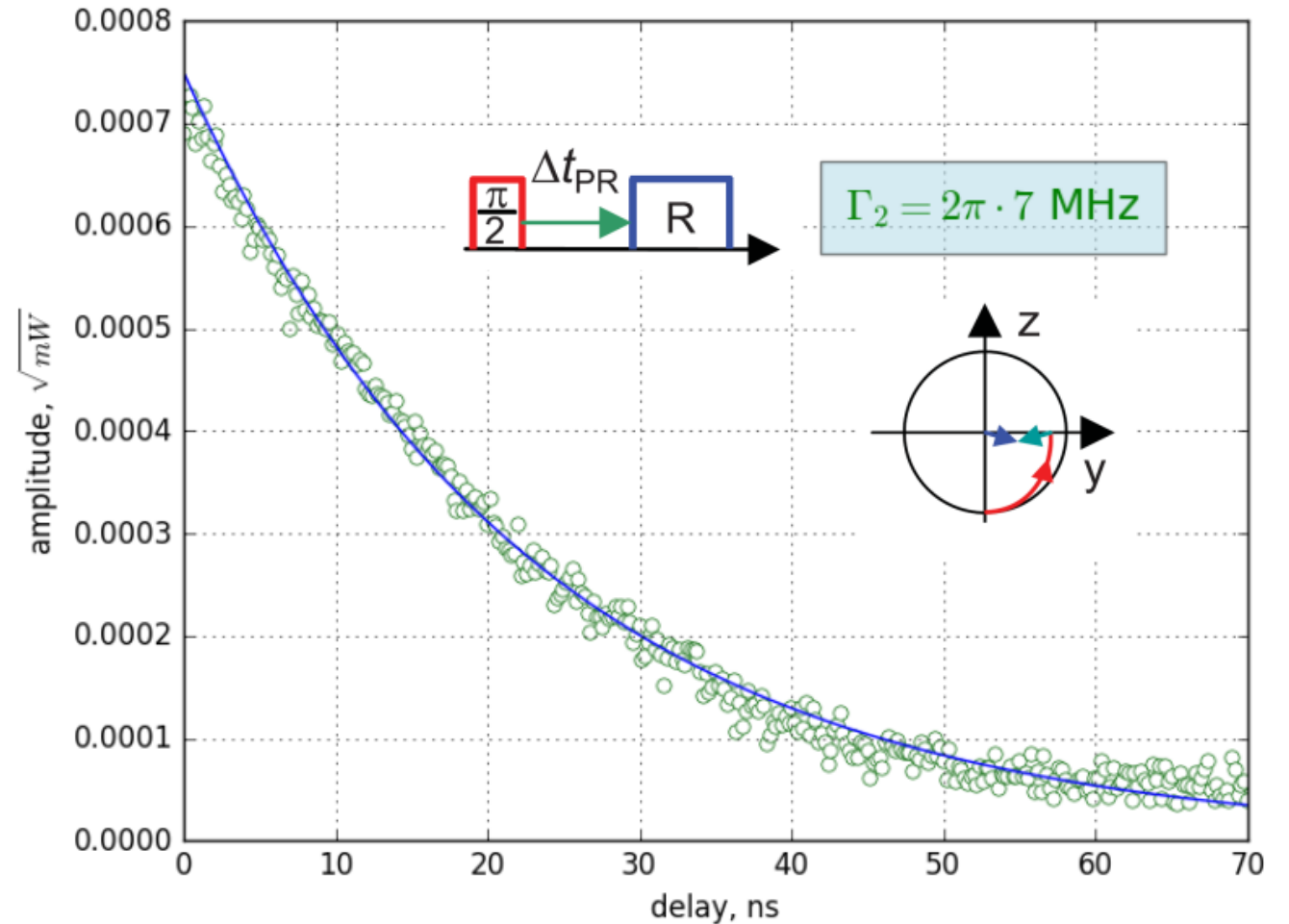
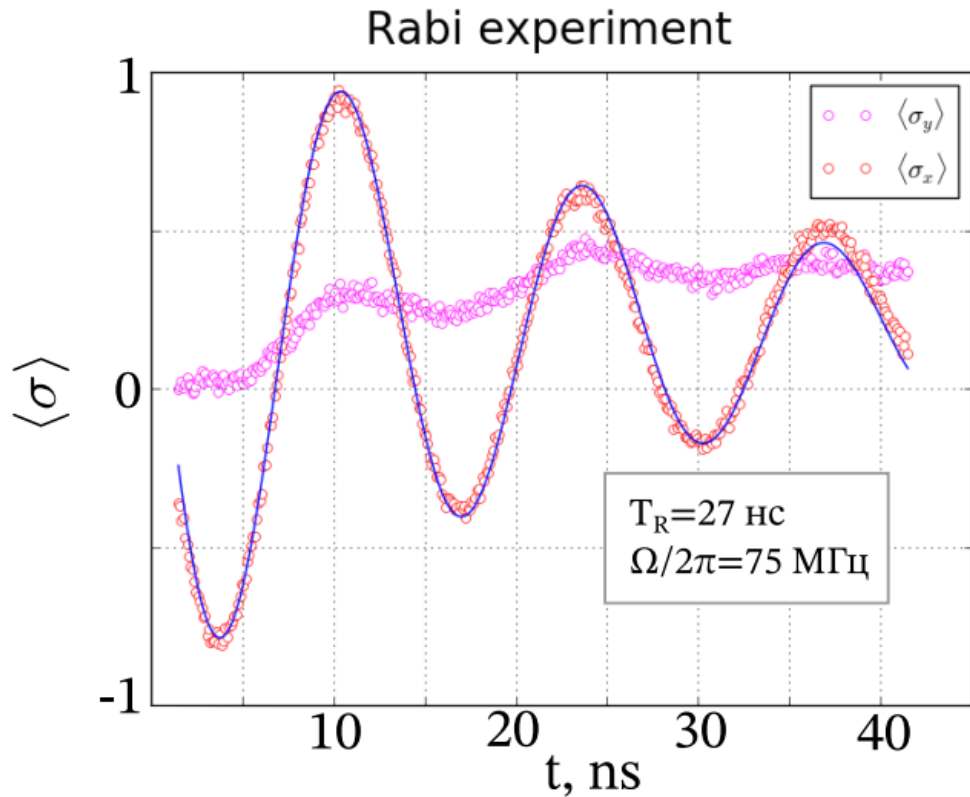


Рисунок 2.22 — Гомодинная схема для импульсных измерений осцилляций Раби. Слева: сборка «чоппера» на основе двух двойных сбалансированных смесителей. Справа: схема измерения Раби осцилляций.

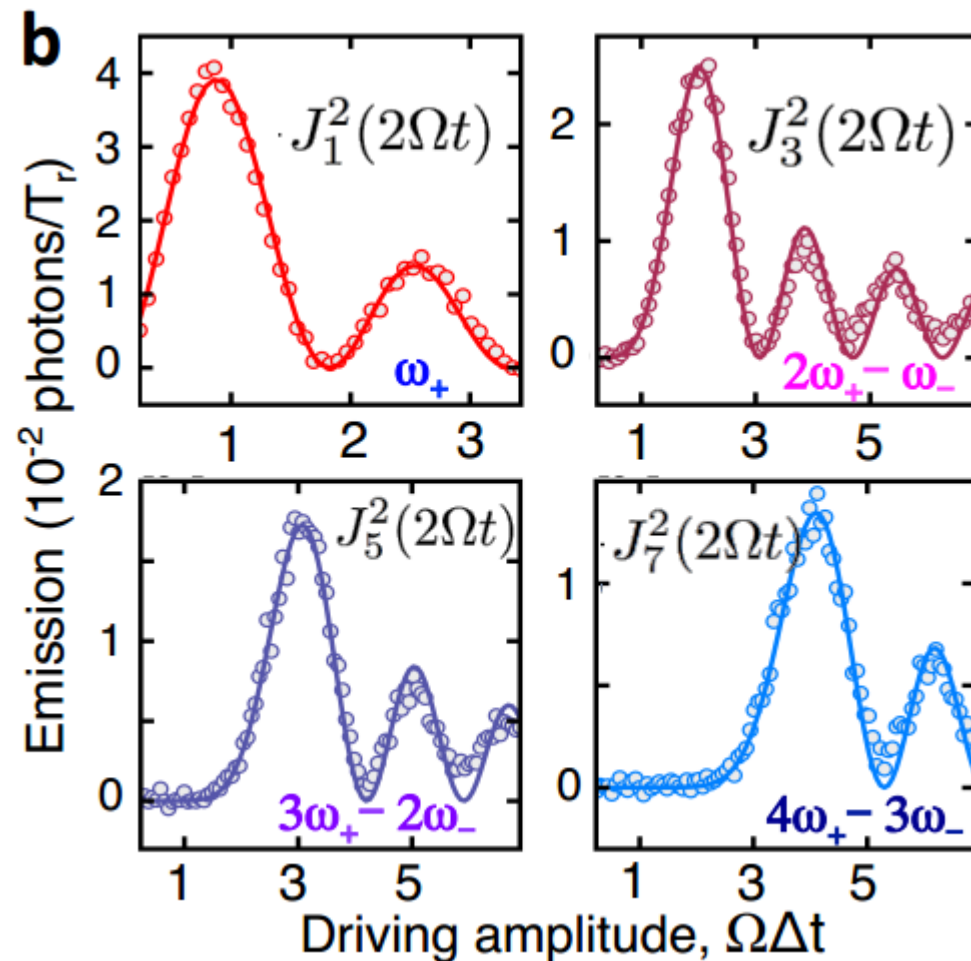
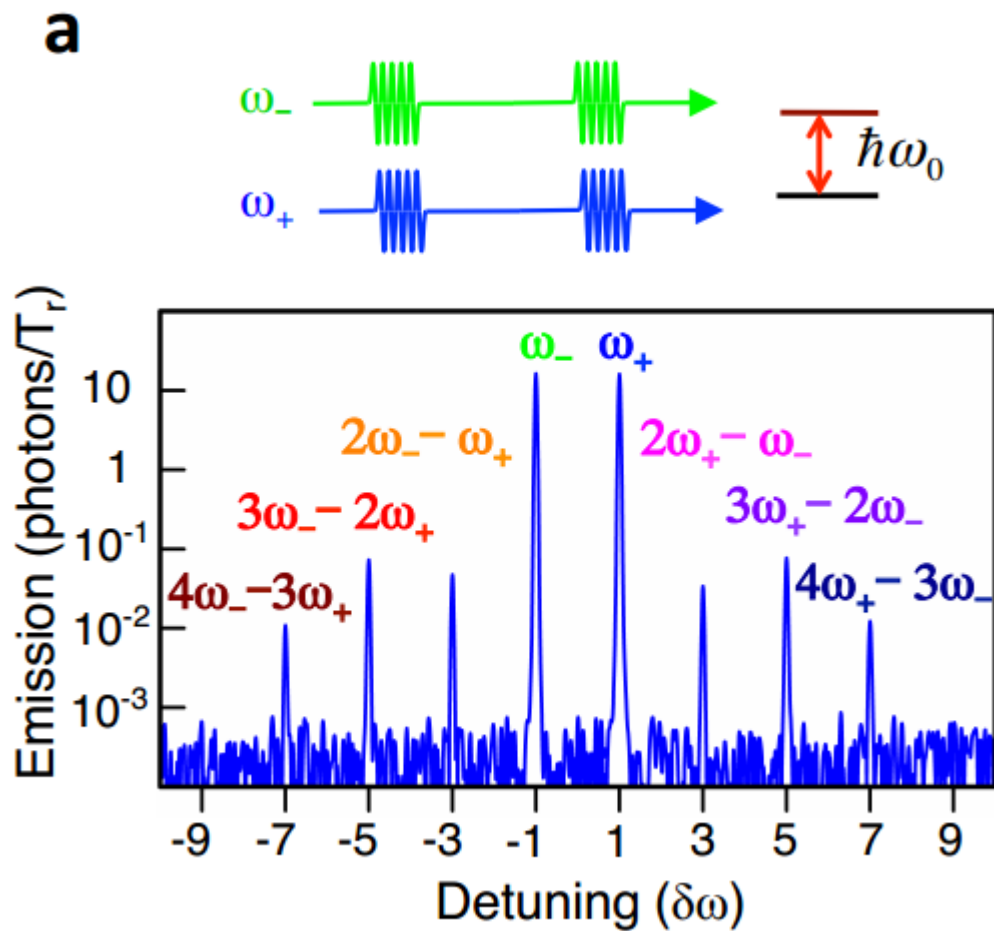
Гетеродинная схема измерений



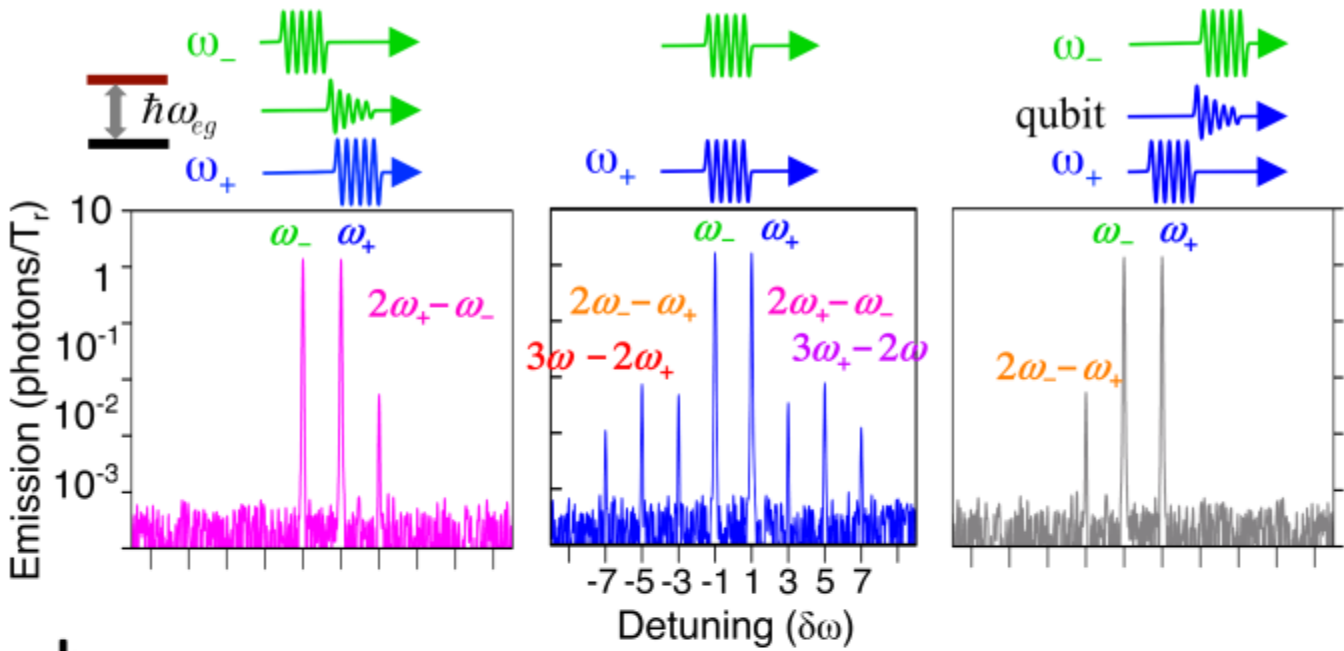
Импульсная динамика: Раби осцилляции и распад из состояния на экваторе



Бесселевская динамика компонент

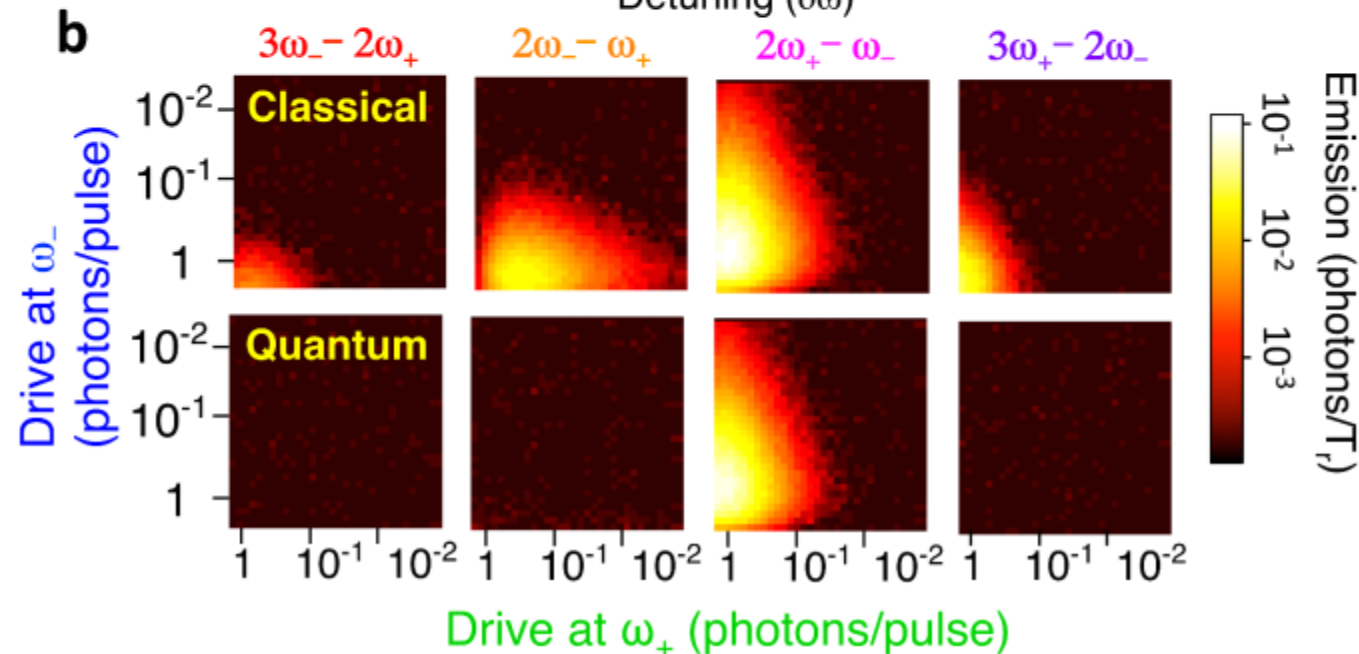


Wave mixing of pulsed light

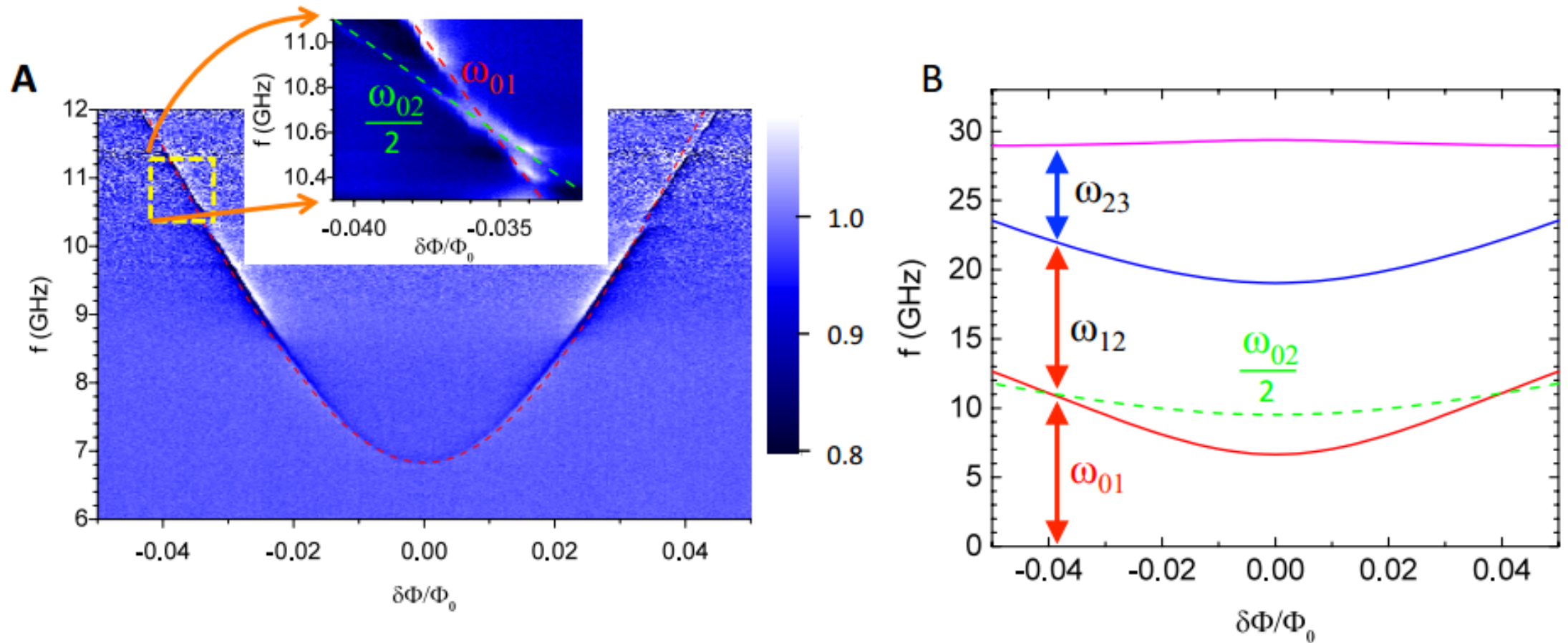


$$\langle b_p^- \rangle = B_-^2 B_+^2 \langle 0, \alpha_-, \alpha_+ | (\underbrace{-b_p^- \hat{\beta}_+^+}_{e^{i\delta t}} - \underbrace{b_p^- \hat{\beta}_-^+}_{e^{-i\delta t}} + \underbrace{\hat{\beta}_-^- \hat{\beta}_+^+ b_p^- \hat{\beta}_-^+}_{e^{i\delta t}} + \underbrace{\hat{\beta}_+^+ \hat{\beta}_-^- b_p^- \hat{\beta}_+^+}_{e^{3i\delta t}}) | 0, \alpha_-, \alpha_+ \rangle$$

- Только три пика, одна боковая компонента, независимо от амплитуды
- Если импульсы перекрываются - опять много компонент



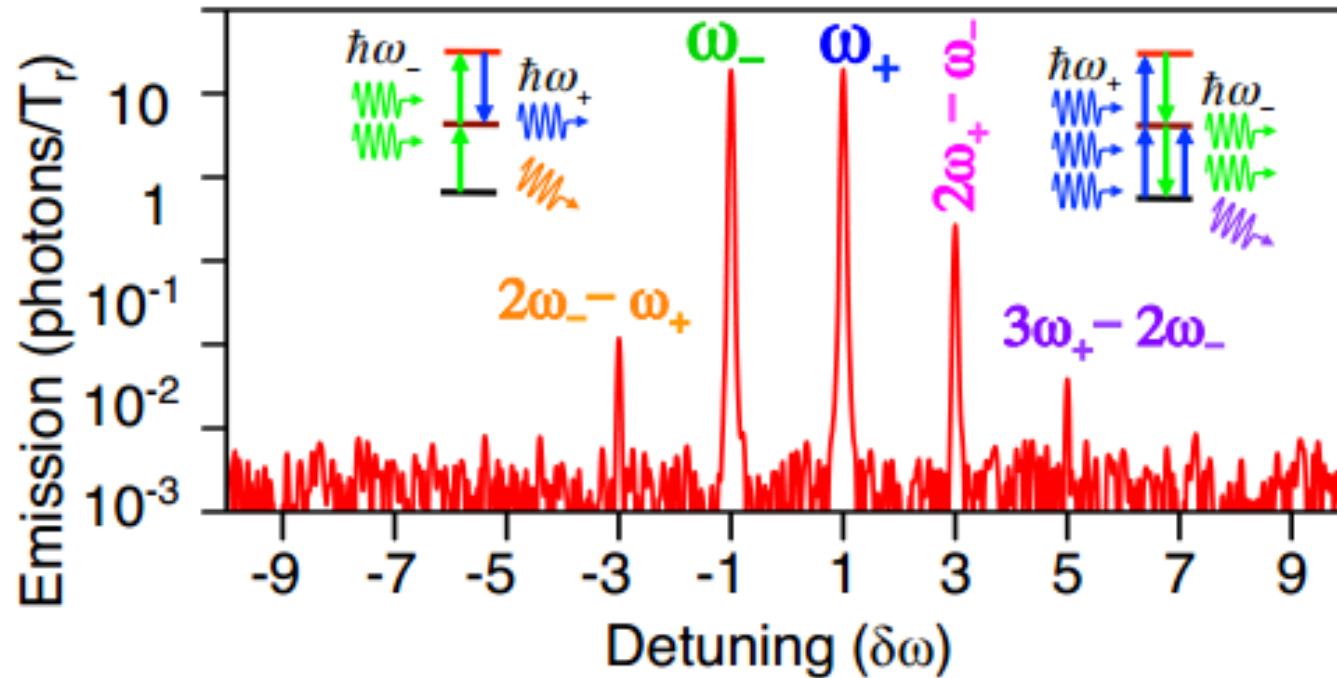
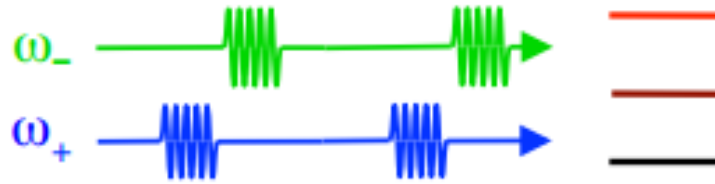
Трехуровневая эквидистантная система



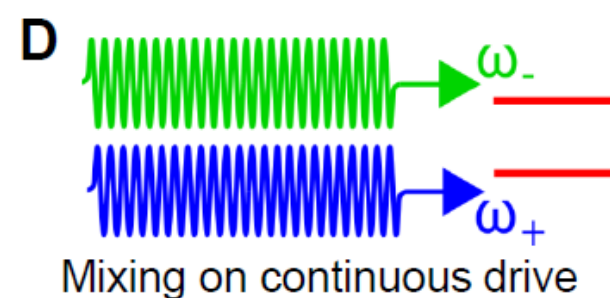
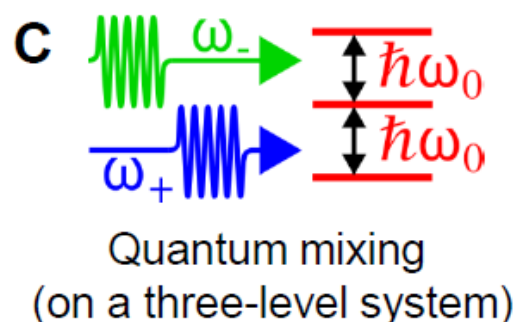
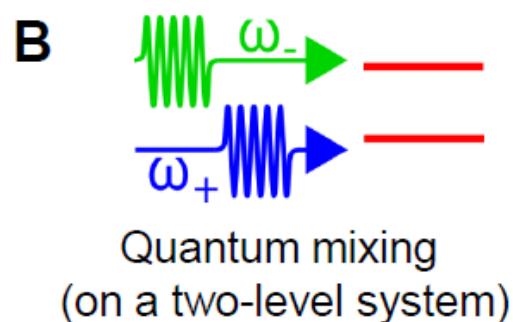
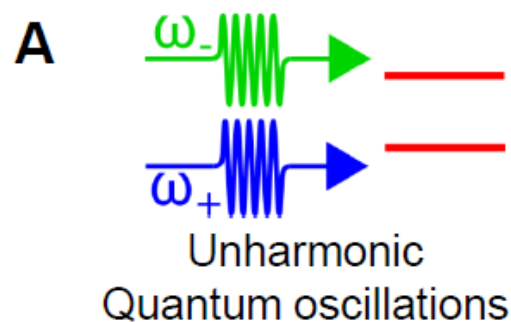
Трехуровневая эквидистантная система

$N_{ph} = 2 \Rightarrow 5$ peaks

$$|\gamma\rangle_- = C(|0\rangle + \gamma_1|1\rangle + \gamma_2|2\rangle)$$

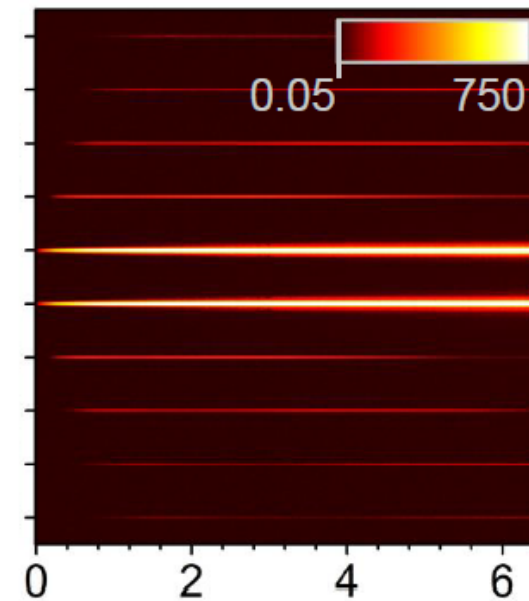
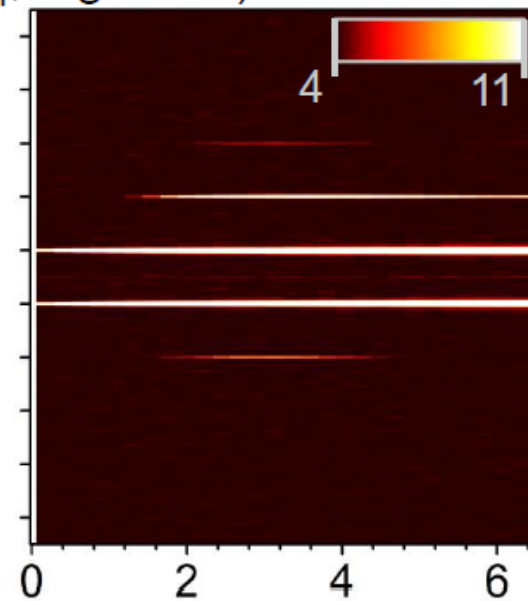
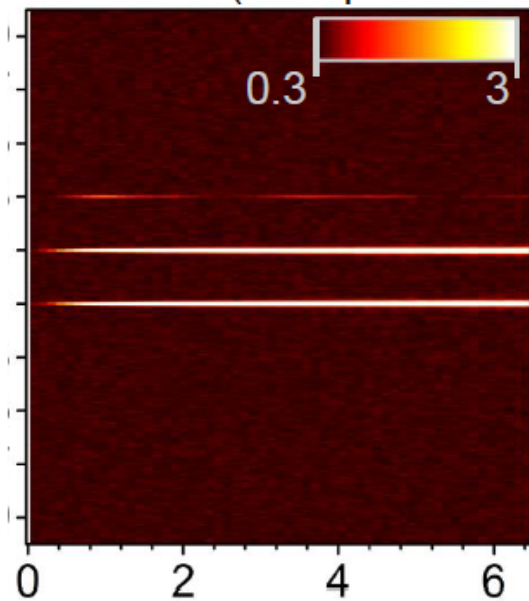
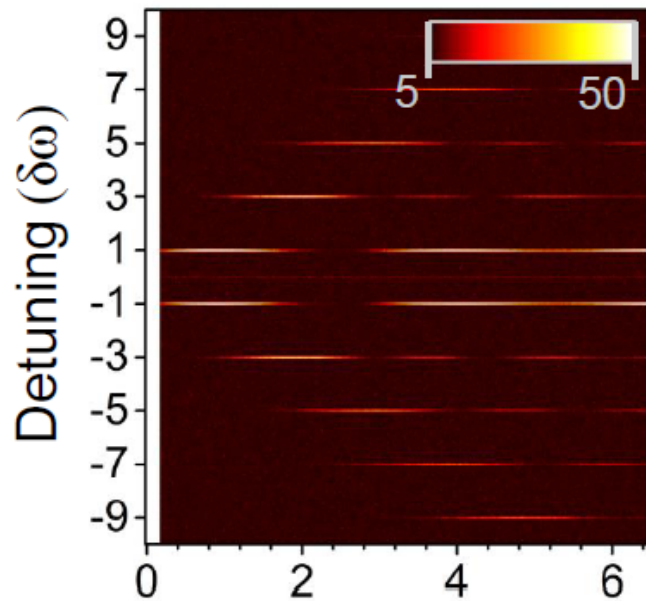


Сравнение режимов



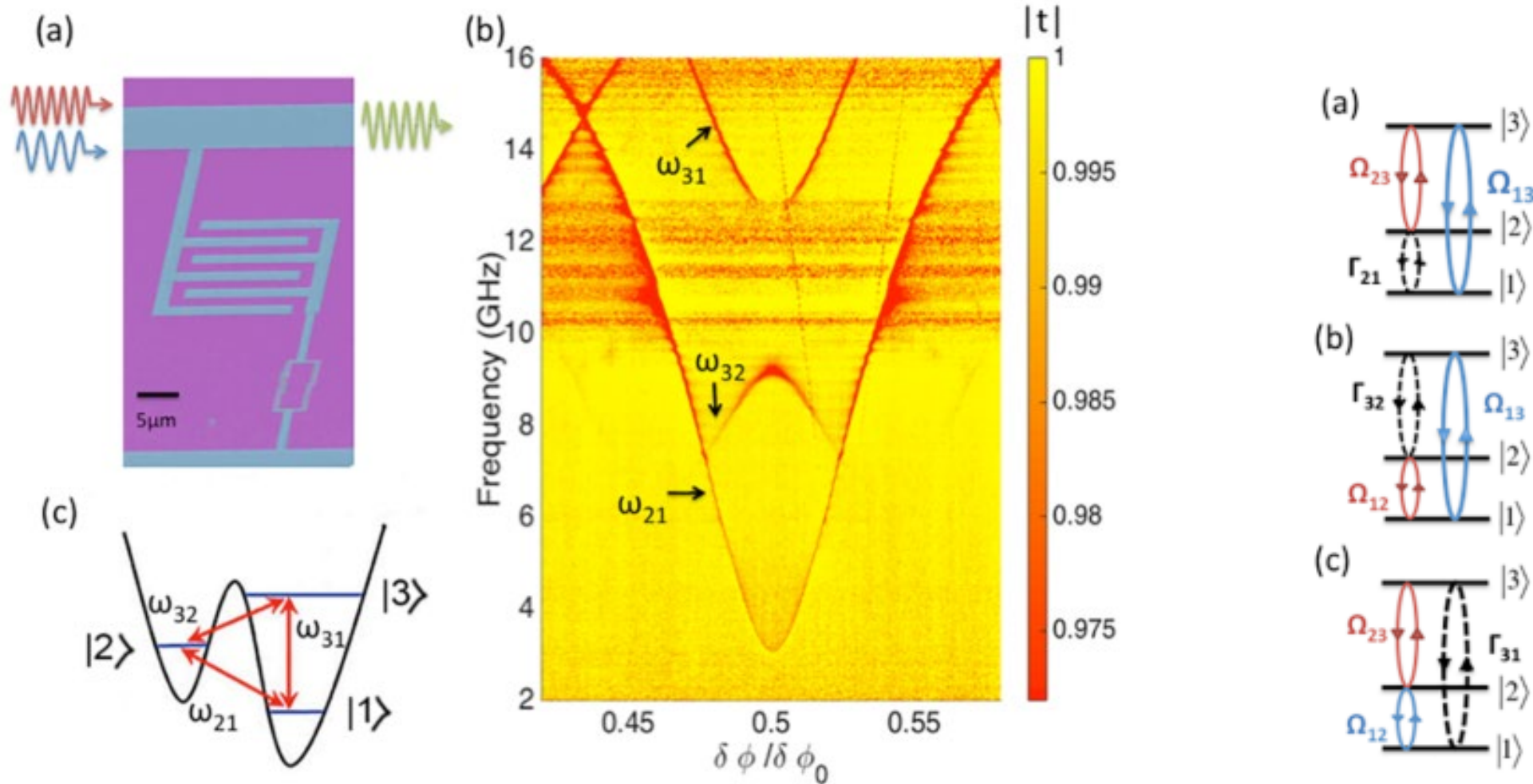
z axis: Emission (10^{-2} photons/ T_r , log scale)

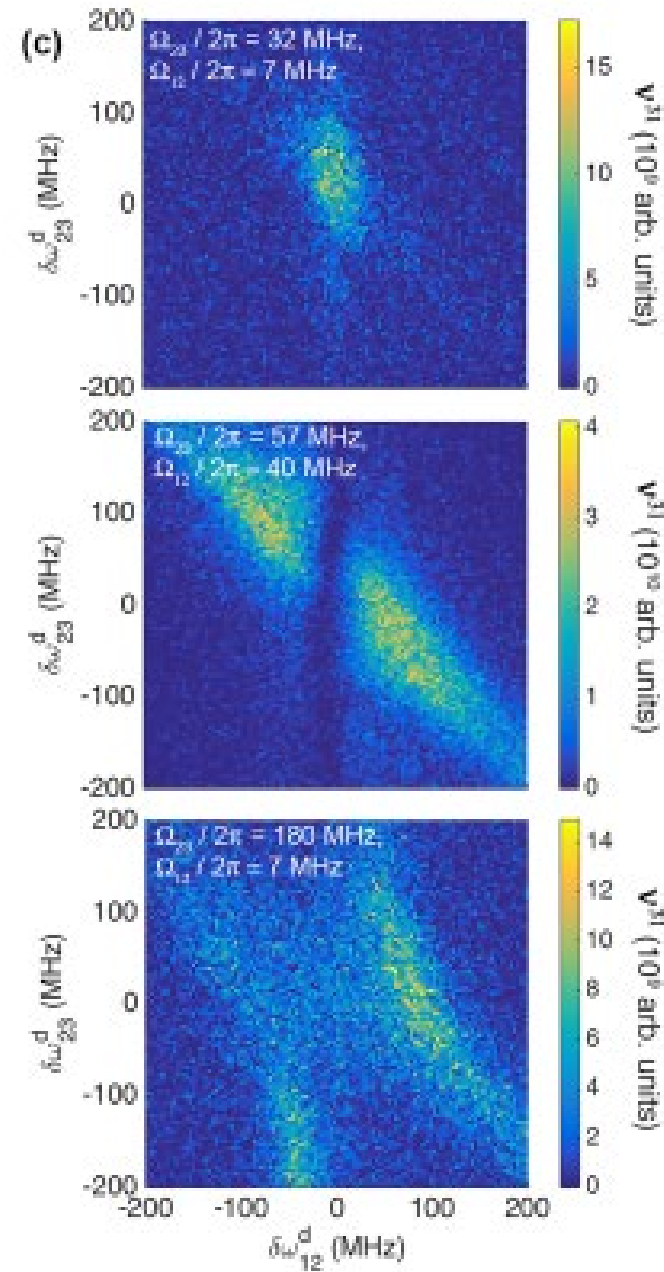
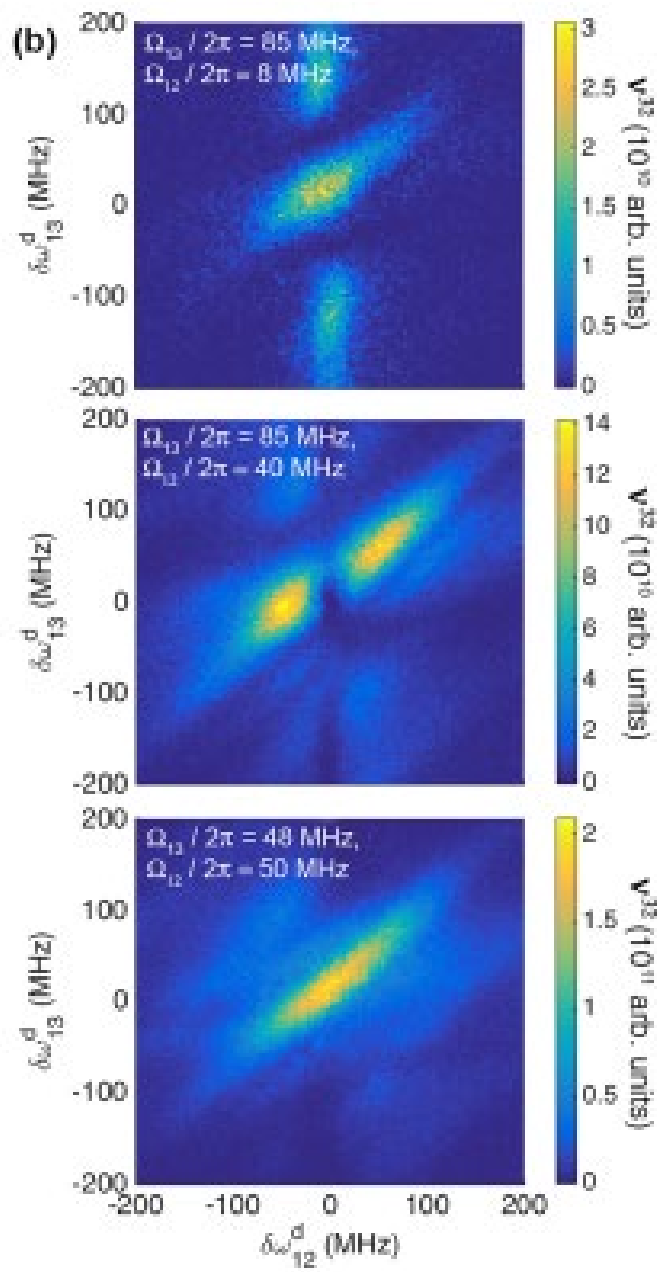
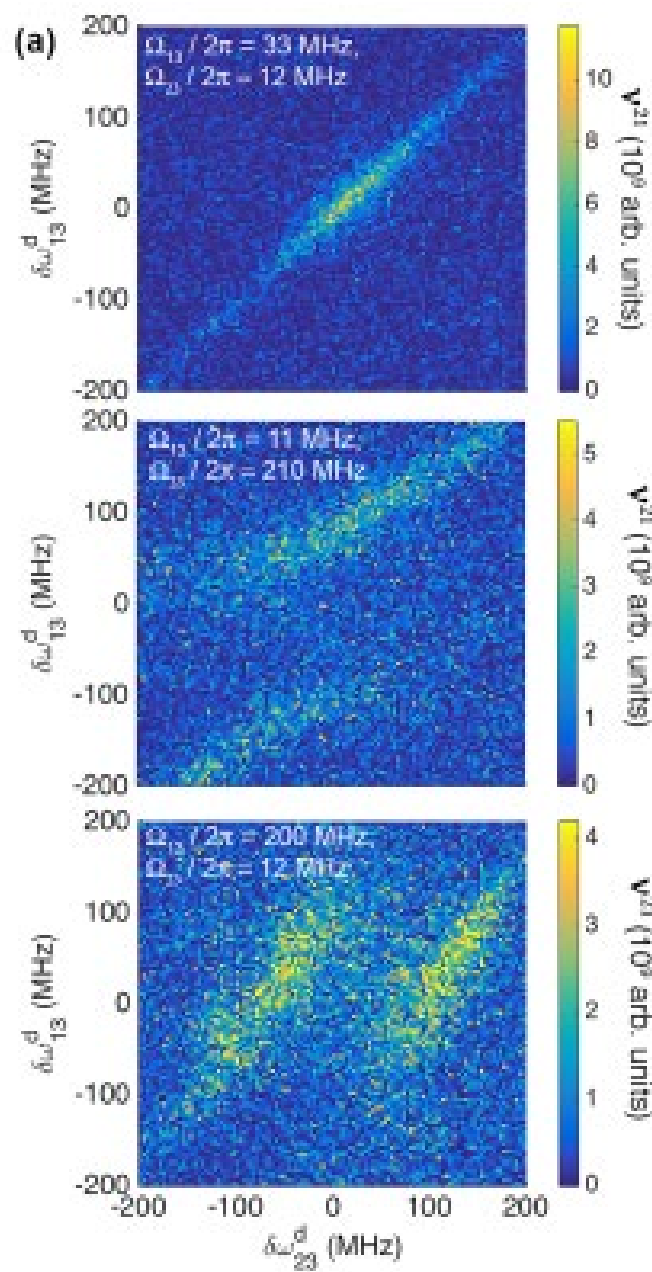
z axis: Emission (photons/ T_1)

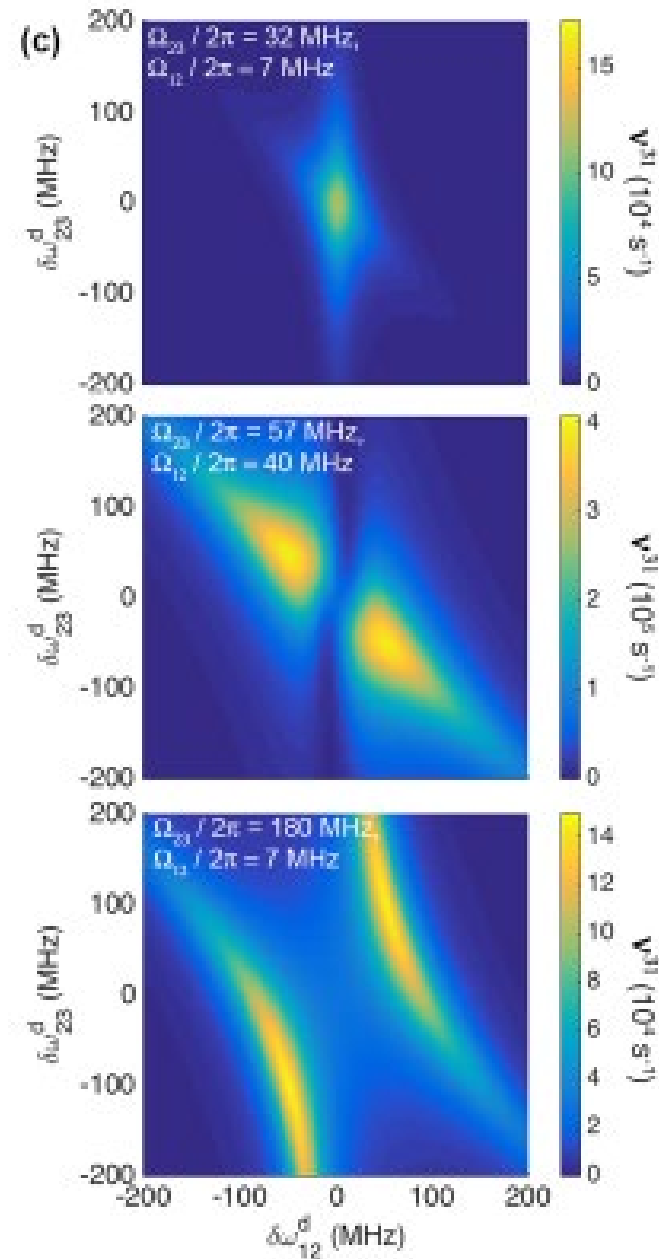
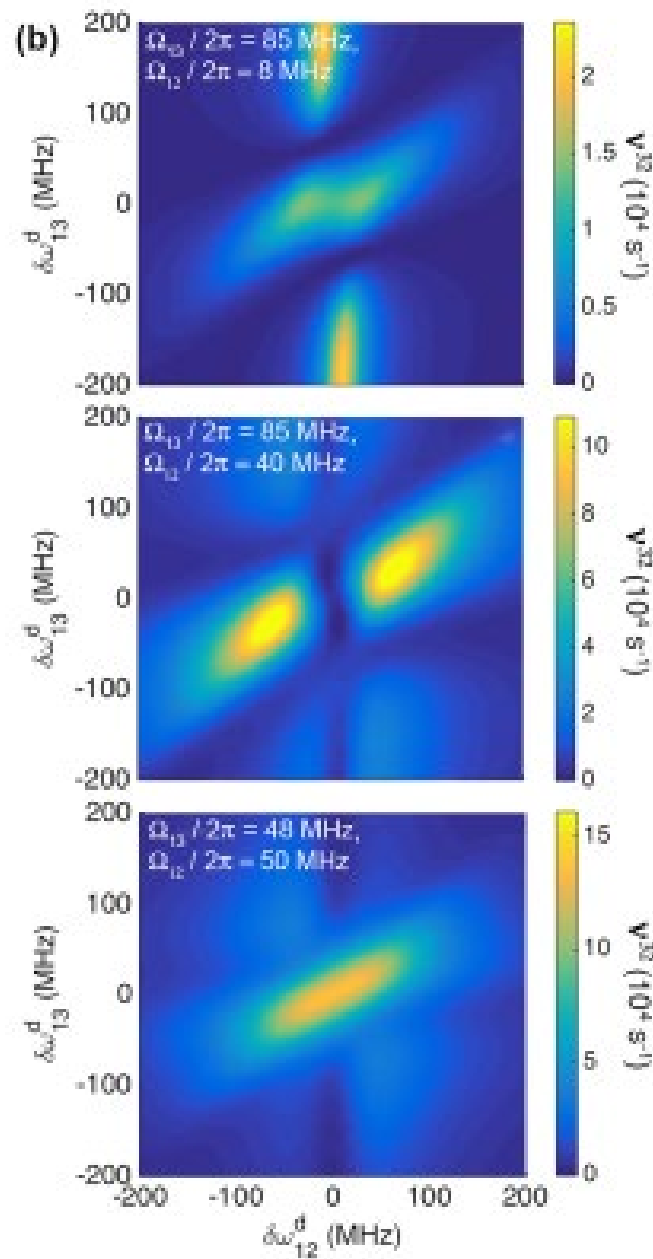
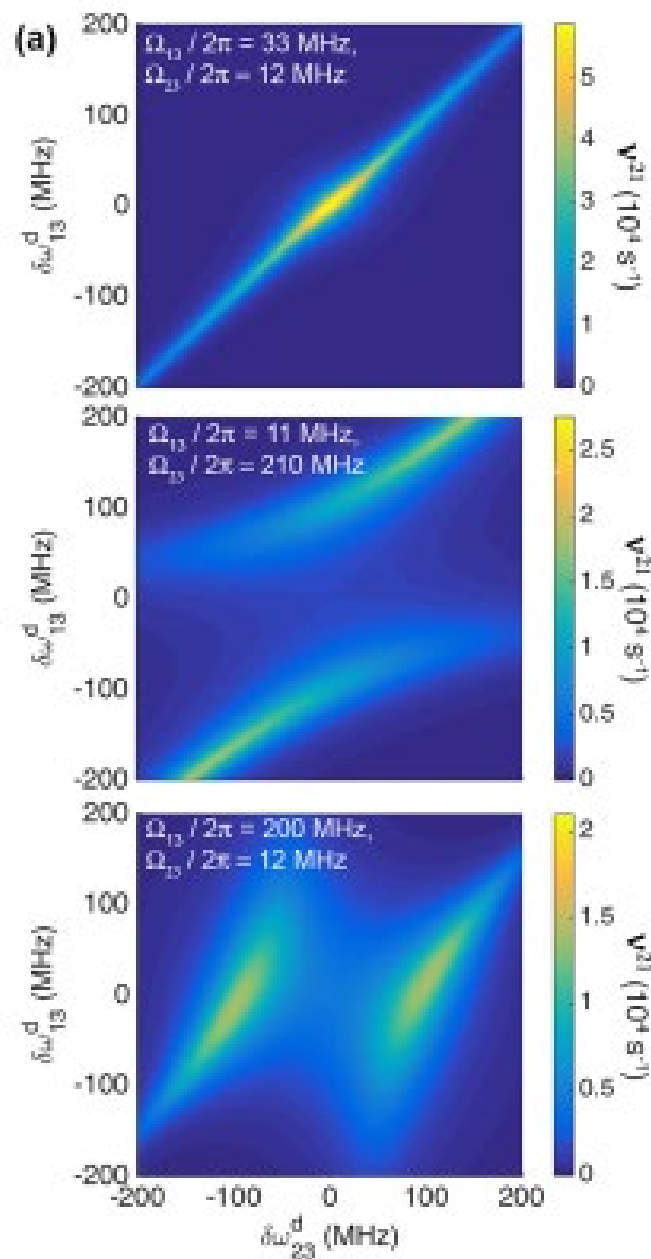


Driving amplitude, $\Omega\Delta t$

Трёхуровневая Δ -система

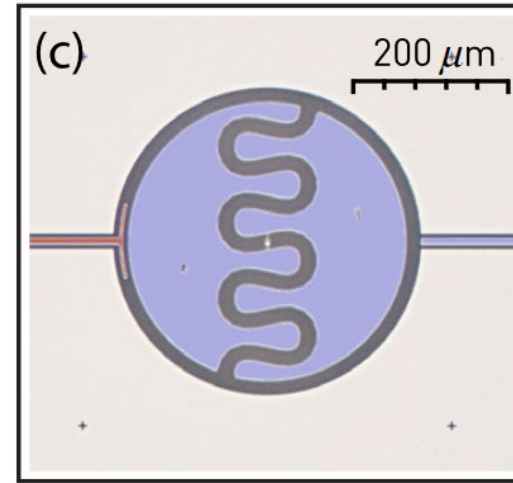
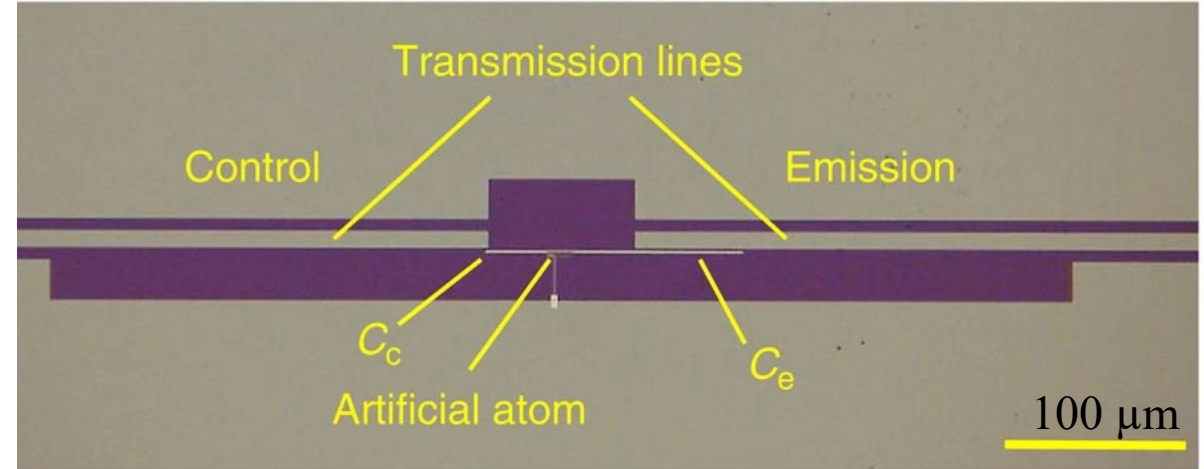
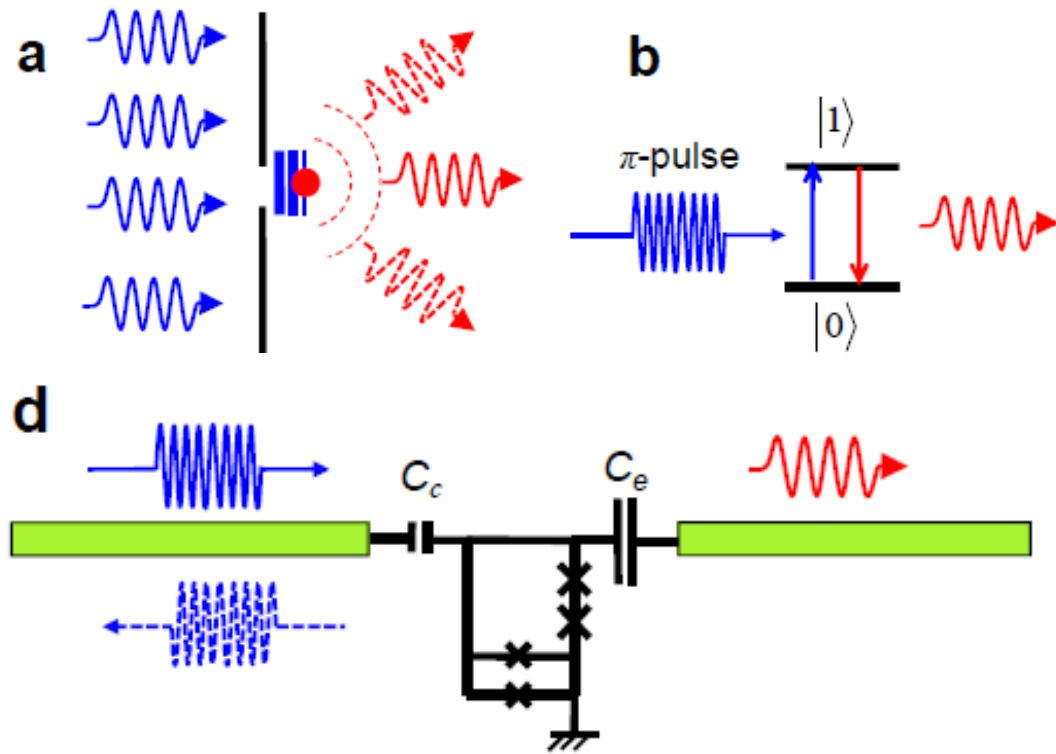






Photon source - asymmetric coupling

Z. Peng et al., *Nature Comm.*, 2016

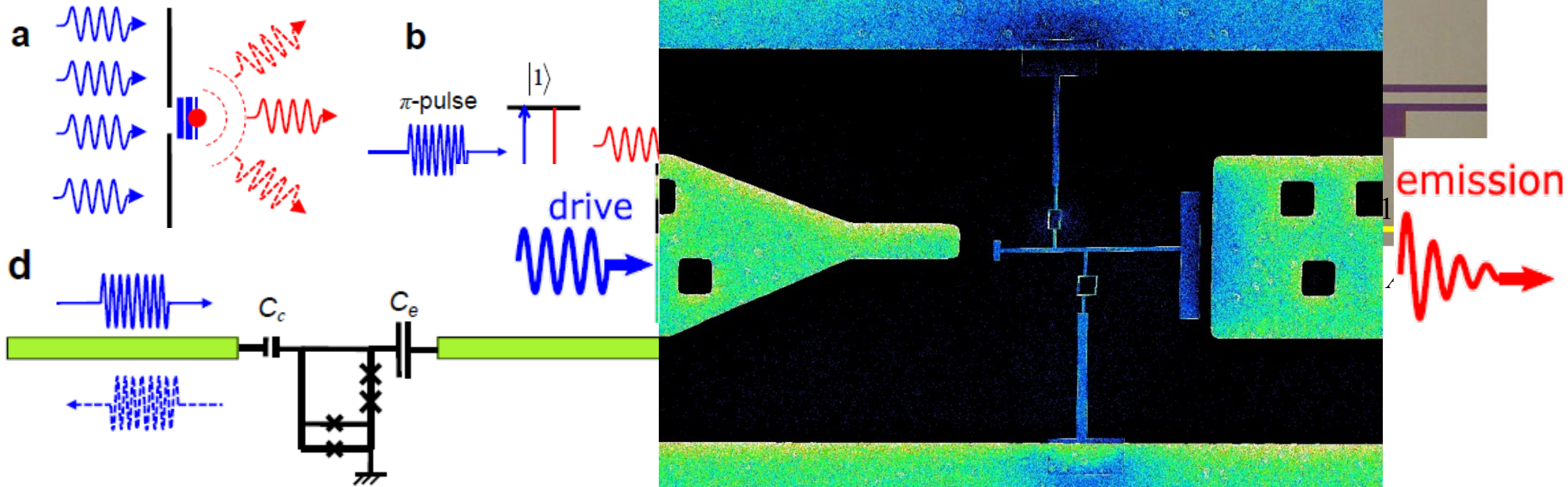


M. Pechal et al., *Phys. Rev. Applied* (2016)

- $C_c = 0.3 \text{ fF}$, $C_e = 3 \text{ fF}$
- System acts as a quantum emitter – **single photons on demand**

Photon source - asymmetric coupling

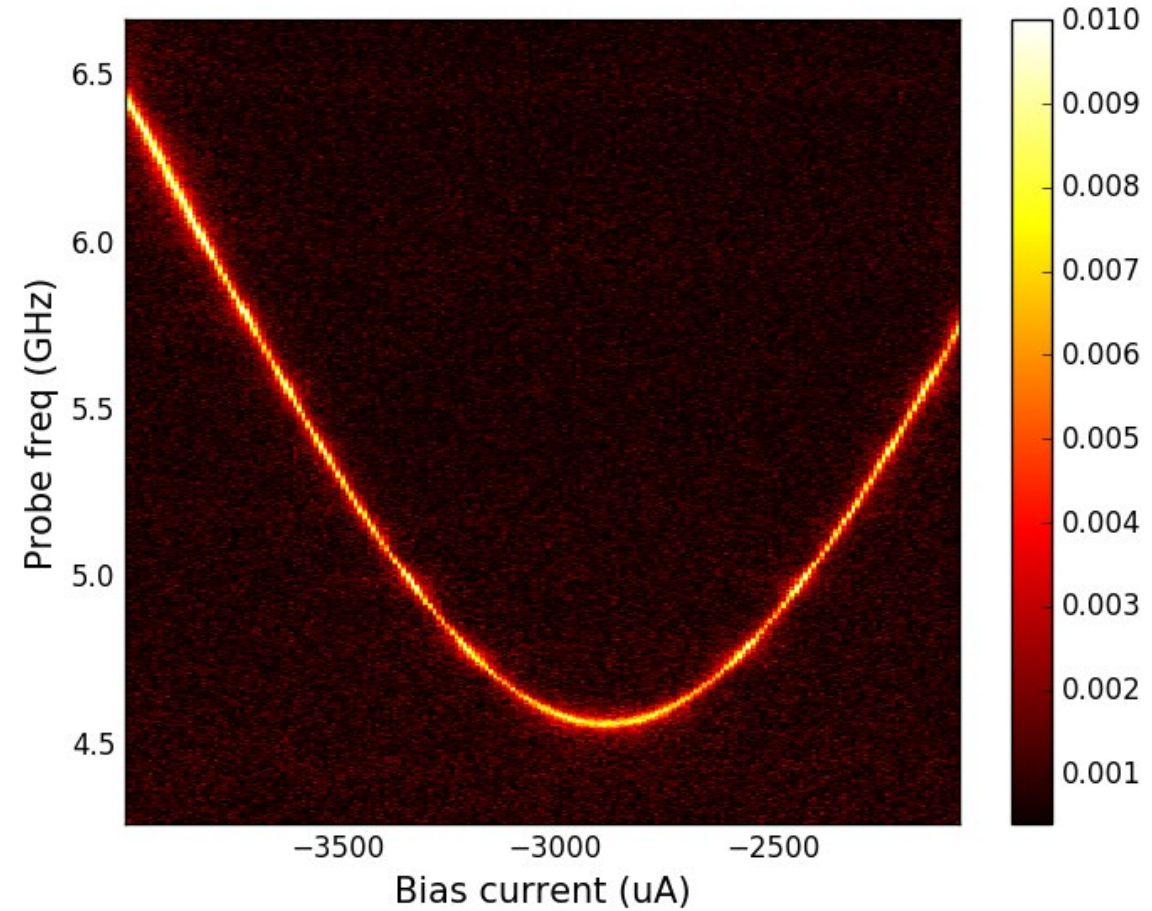
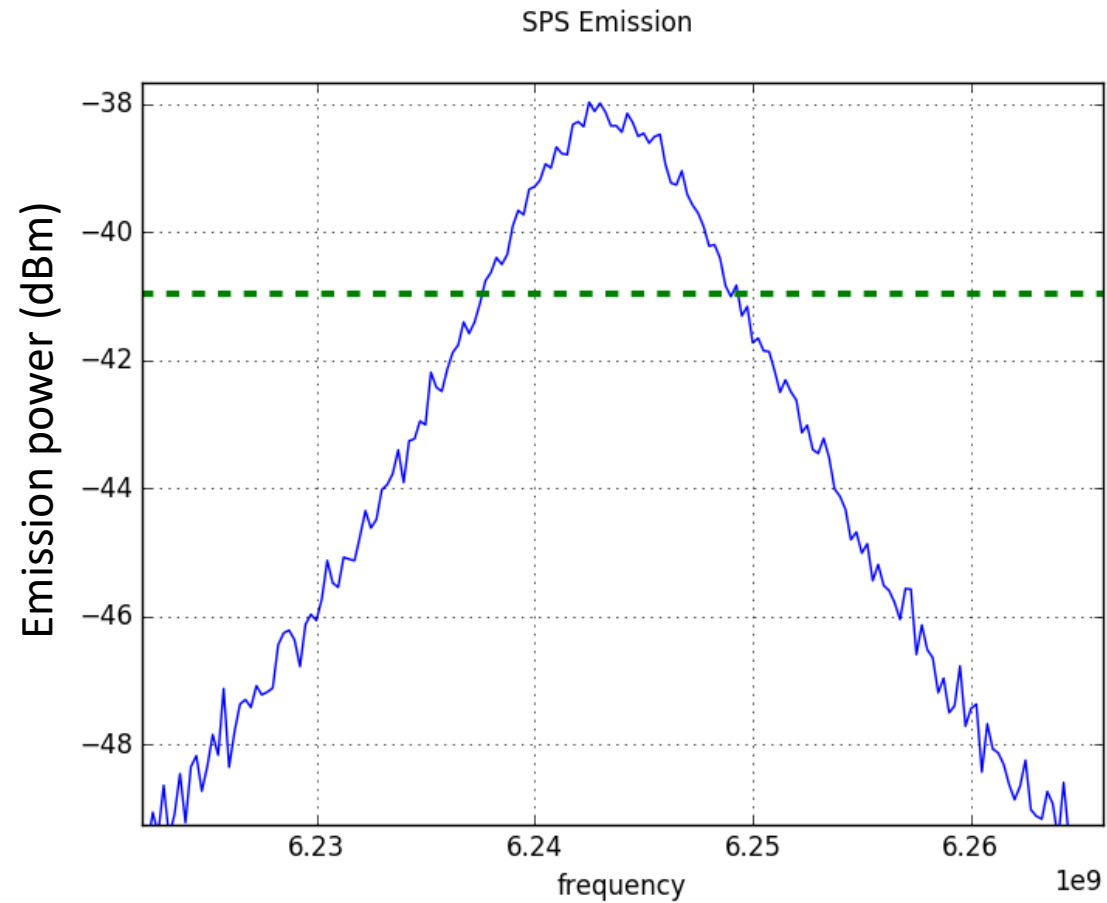
Z. Peng et al., *Nature Comm.*, 2015



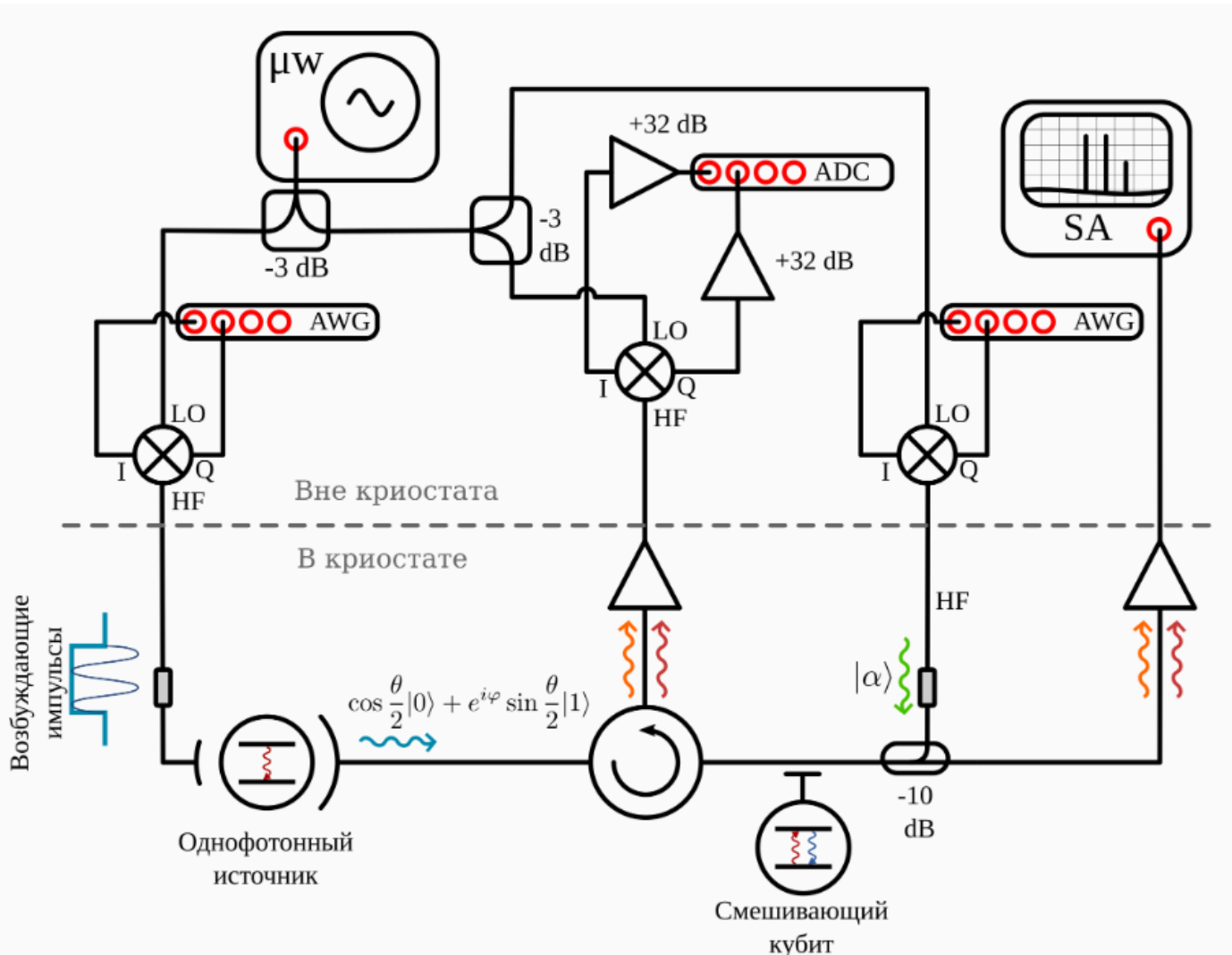
- $C_c = 0.3 \text{ fF}$, $C_e = 3 \text{ fF}$

- System acts as a quantum emitter – Single photons on demand

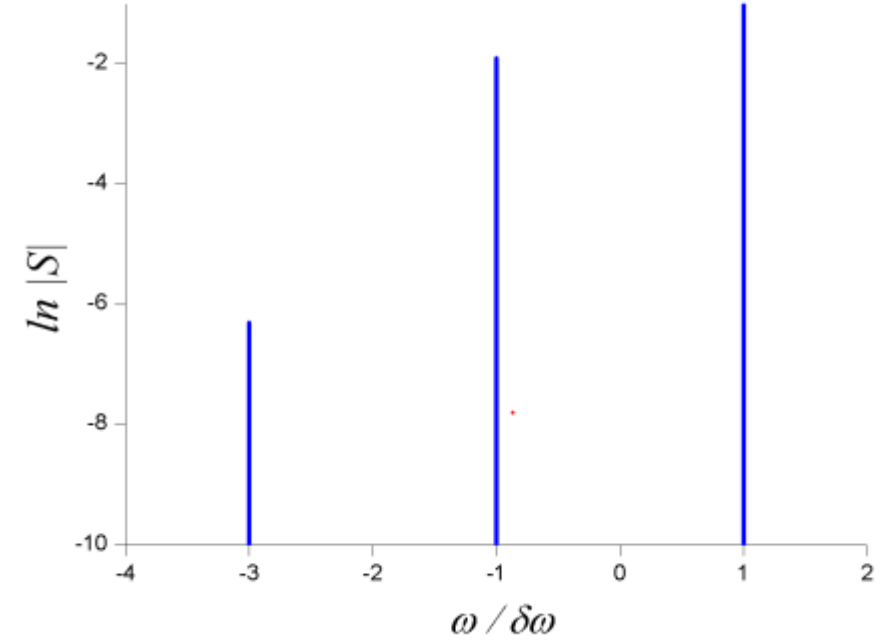
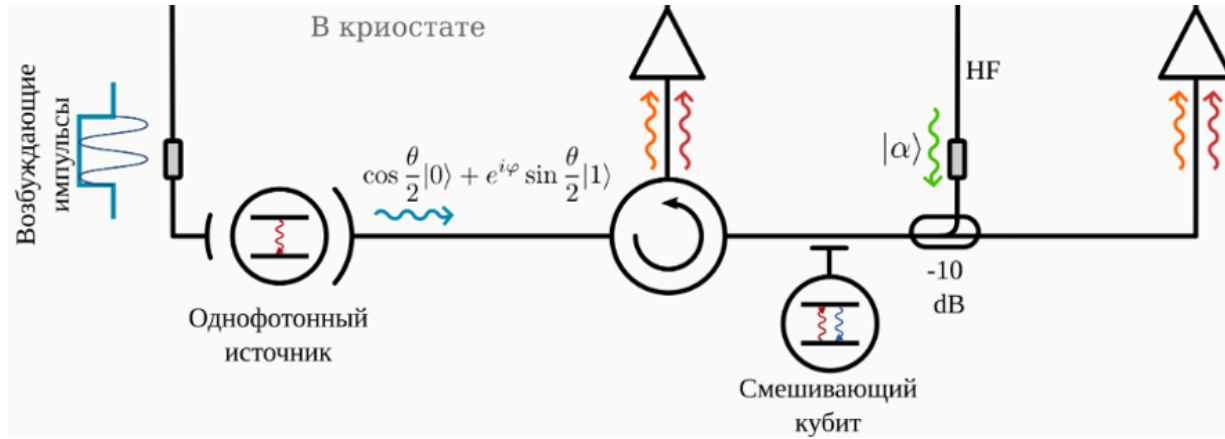
Measuring the emission



Кубит как сенсор фотонной статистики



Аналитический расчет спектра

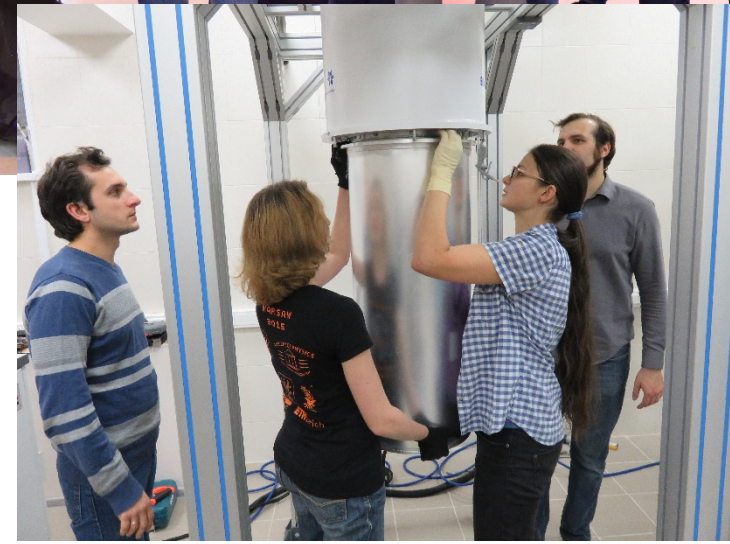
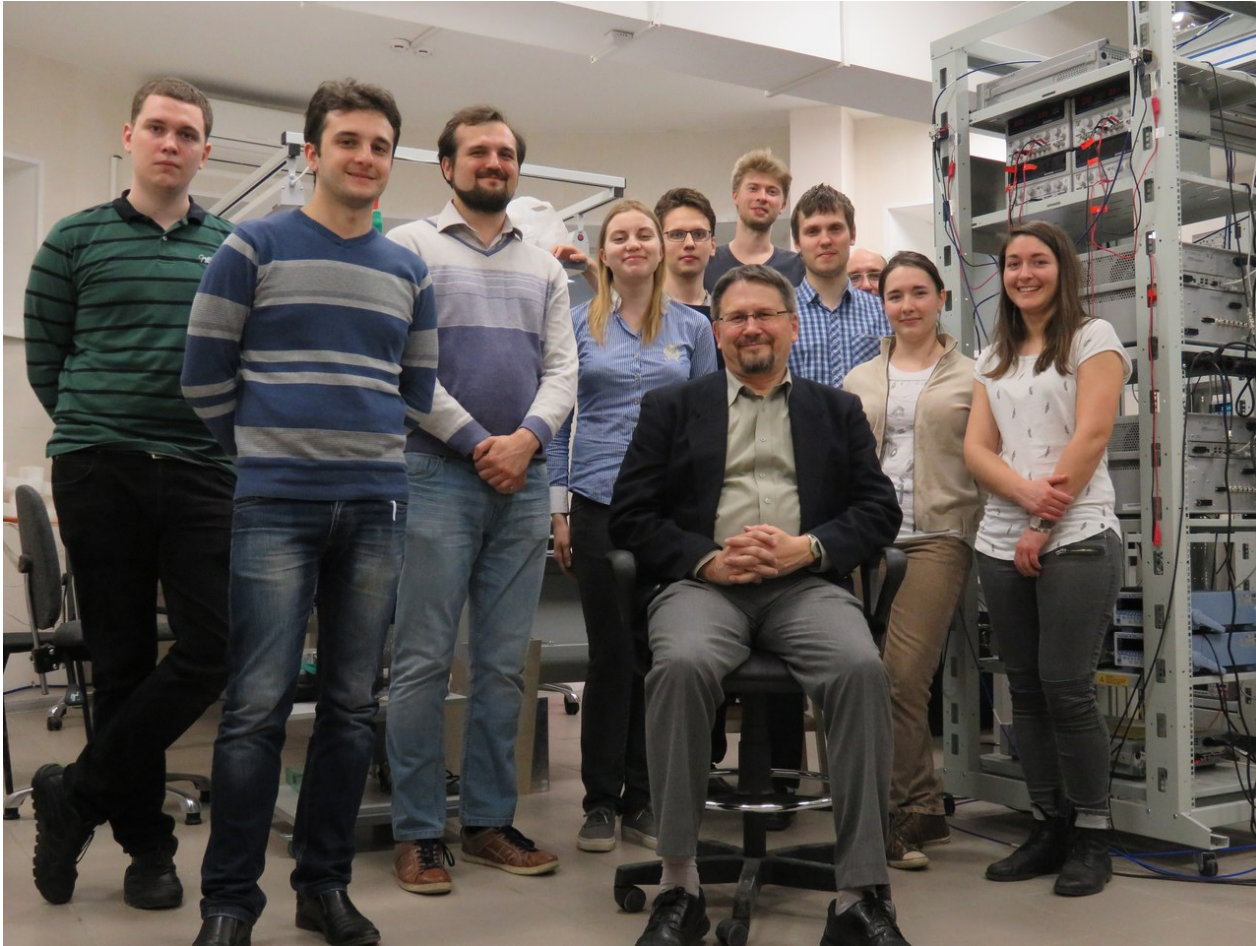


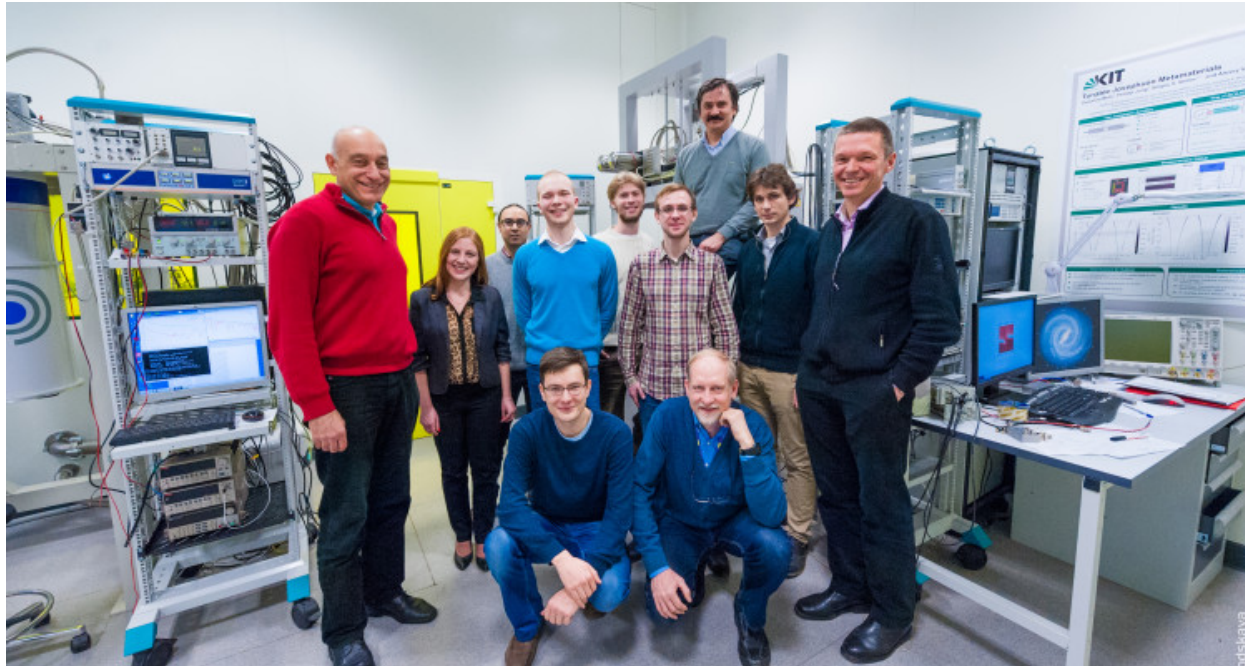
В.В.Погосов (ВНИИА им. Духова)

$$\frac{d\langle\sigma_{-}\rangle}{dt} = \langle\sigma_{-}\rangle(-i\Delta\omega - \gamma) - \frac{i\Omega_1}{2}e^{-i\delta\omega t}\langle\sigma_z\rangle - i\sqrt{\gamma\gamma_e}|\langle\sigma_z\sigma_{-}^e(Tn)\rangle|e^{i\delta\omega t}e^{-(\Gamma+\gamma_e)[t/T]T}, \quad (30)$$

$$\frac{d\langle\sigma_z\rangle}{dt} = -\Gamma(\langle\sigma_z\rangle+1)+i\Omega_1(\langle\sigma_{+}\rangle e^{-i\delta\omega t} - \langle\sigma_{-}\rangle e^{i\delta\omega t})+2i\sqrt{\gamma\gamma_e}|\langle\sigma_{-}\sigma_{+}^e(Tn)\rangle|\left(e^{-2i\delta\omega t}e^{i(\delta\omega-\Delta\omega)[t/T]T} - c.c.\right)e^{-(\gamma+\gamma_e)[t/T]T}. \quad (31)$$

$$c_{-3} \simeq \frac{i\Omega_1^2}{2\gamma^2} \frac{\sqrt{\gamma\gamma_e}}{\Gamma} \sqrt{\nu(1-\nu)} \left(e^{-(\gamma+\gamma_e)[t/T]T} e^{i\delta\omega[t/T]T} + e^{-(\Gamma+\gamma_e)[t/T]T} \right)$$







Спасибо за внимание!

1 year 3 months ago:



today:



- Strong and ultra-strong coupling

- Strong and ultra-strong coupling
- Arbitrary quantum states in the resonator

- Strong and ultra-strong coupling
- Arbitrary quantum states in the resonator
- Resonance fluorescence

- Strong and ultra-strong coupling
- Arbitrary quantum states in the resonator
- Resonance fluorescence
- Electromagnetically induced transparency

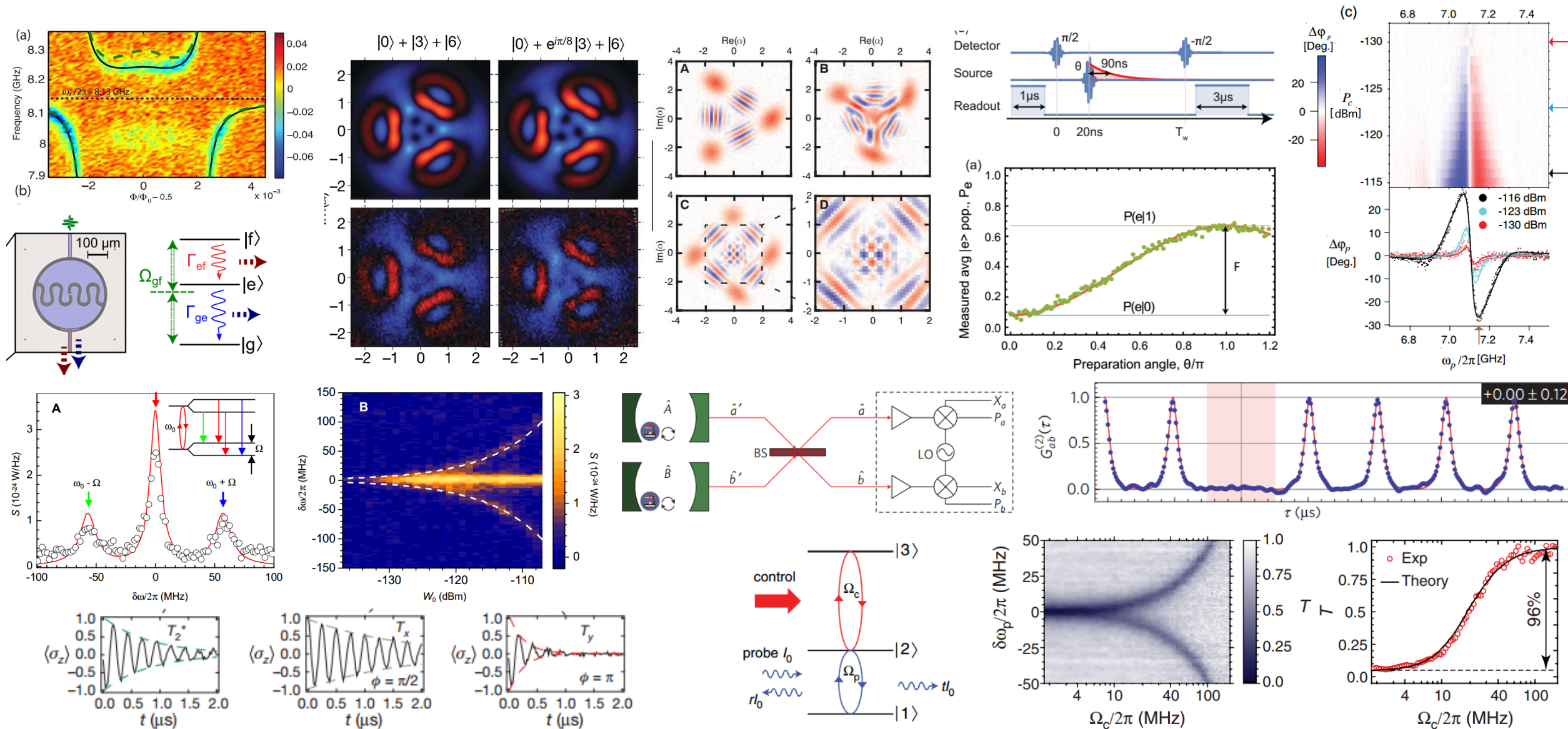
- Strong and ultra-strong coupling
- Arbitrary quantum states in the resonator
- Resonance fluorescence
- Electromagnetically induced transparency
- Single photons on demand, entangled photons on-demand, Hong-Ou-Mandel effect

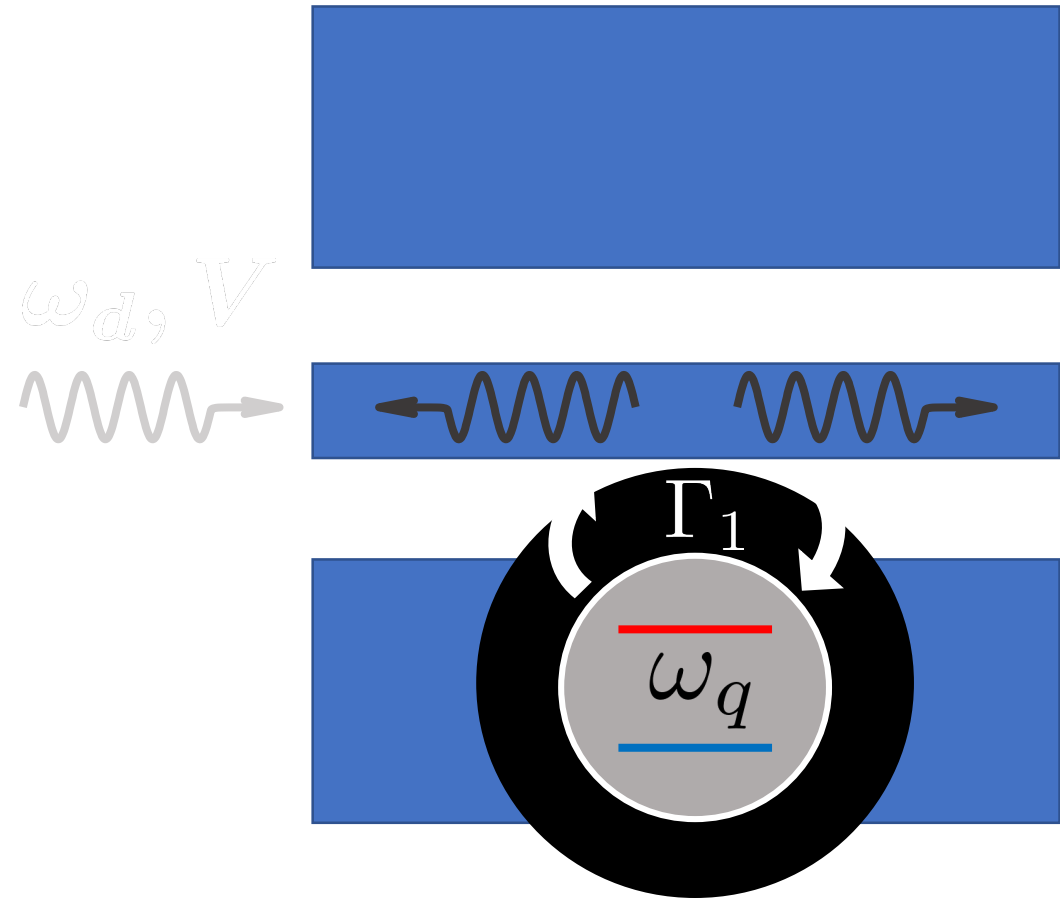
- Strong and ultra-strong coupling
- Arbitrary quantum states in the resonator
- Resonance fluorescence
- Electromagnetically induced transparency
- Single photons on demand, entangled photons on-demand, Hong-Ou-Mandel effect
- Tomography of propagating light with linear detectors

- Strong and ultra-strong coupling
- Arbitrary quantum states in the resonator
- Resonance fluorescence
- Electromagnetically induced transparency
- Single photons on demand, entangled photons on-demand, Hong-Ou-Mandel effect
- Tomography of propagating light with linear detectors
- Squeezed states of light

- Strong and ultra-strong coupling
- Arbitrary quantum states in the resonator
- Resonance fluorescence
- Electromagnetically induced transparency
- Single photons on demand, entangled photons on-demand, Hong-Ou-Mandel effect
- Tomography of propagating light with linear detectors
- Squeezed states of light
- Kerr effect on a single photon

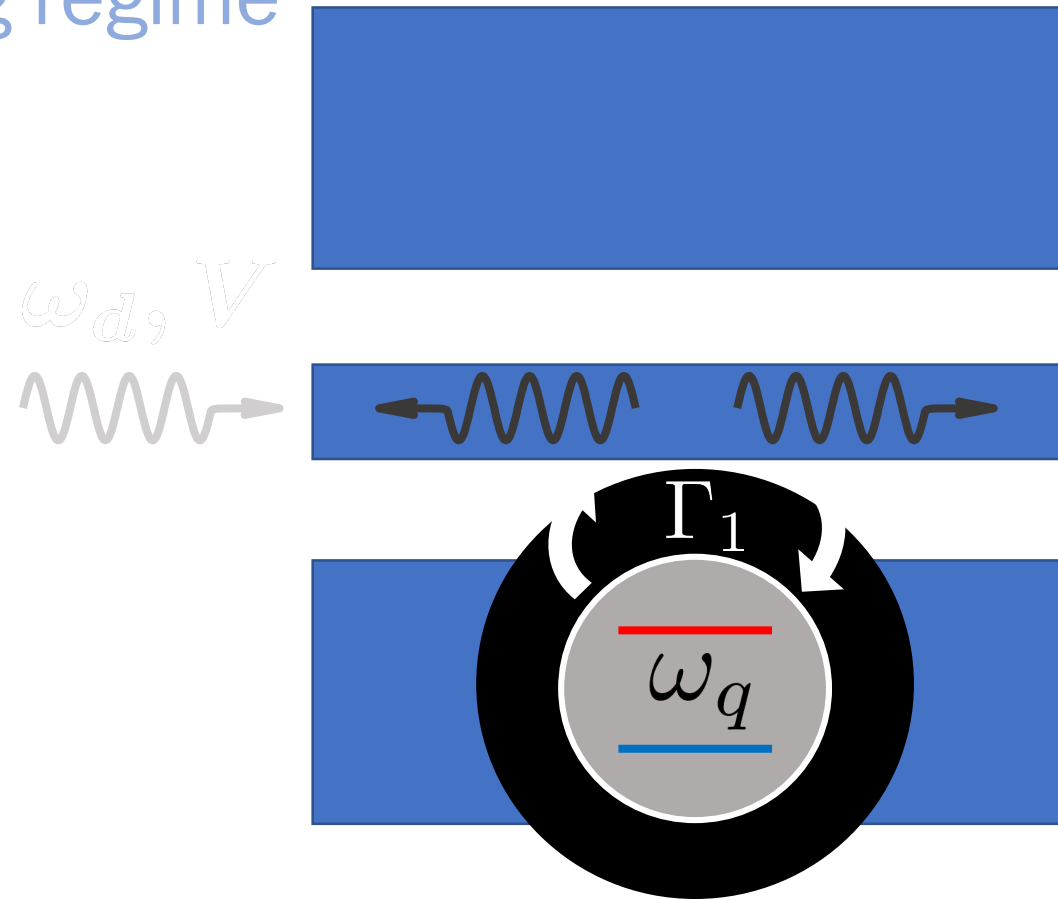
- Strong and ultra-strong coupling
- Arbitrary quantum states in the resonator
- Resonance fluorescence
- Electromagnetically induced transparency
- Single photons on demand, entangled photons on-demand, Hong-Ou-Mandel effect
- Tomography of propagating light with linear detectors
- Squeezed states of light
- Kerr effect on a single photon
- QND detection of a single photon





- $\Gamma_1 \ll \Gamma_1^{nr}, \gamma$ - strong coupling regime

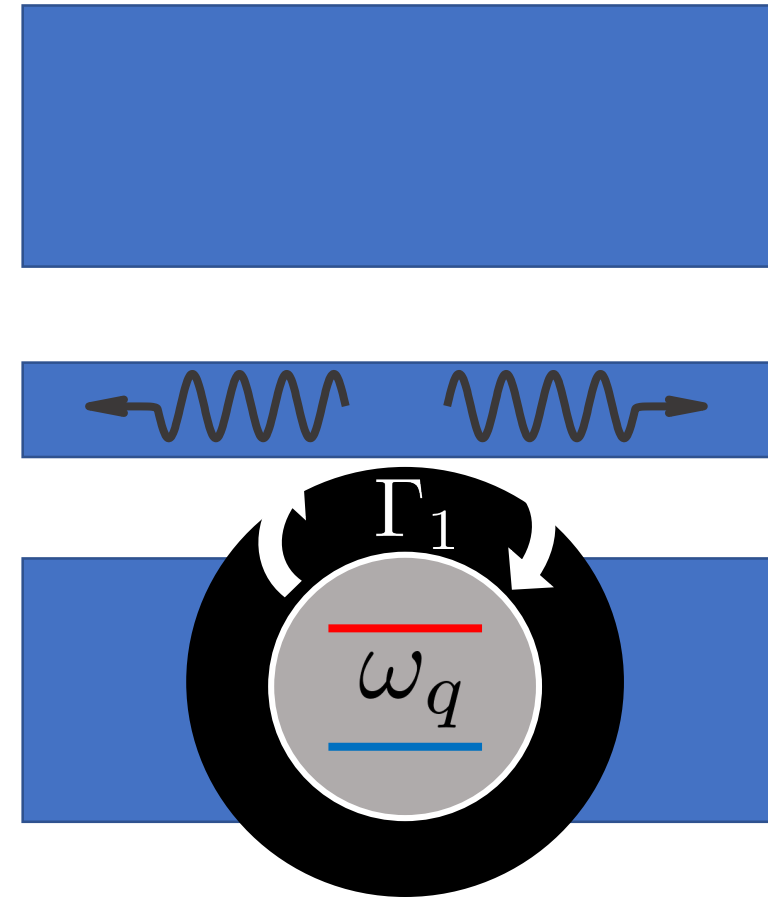
-



- $\Gamma_1 \ll \Gamma_1^{nr}, \gamma$ - strong coupling regime
- The operator of field scattered by a qubit:

$$\hat{V}_{sc}(t) = i \frac{\Gamma_1}{d_{eg}} \hat{\sigma}_-(t)$$

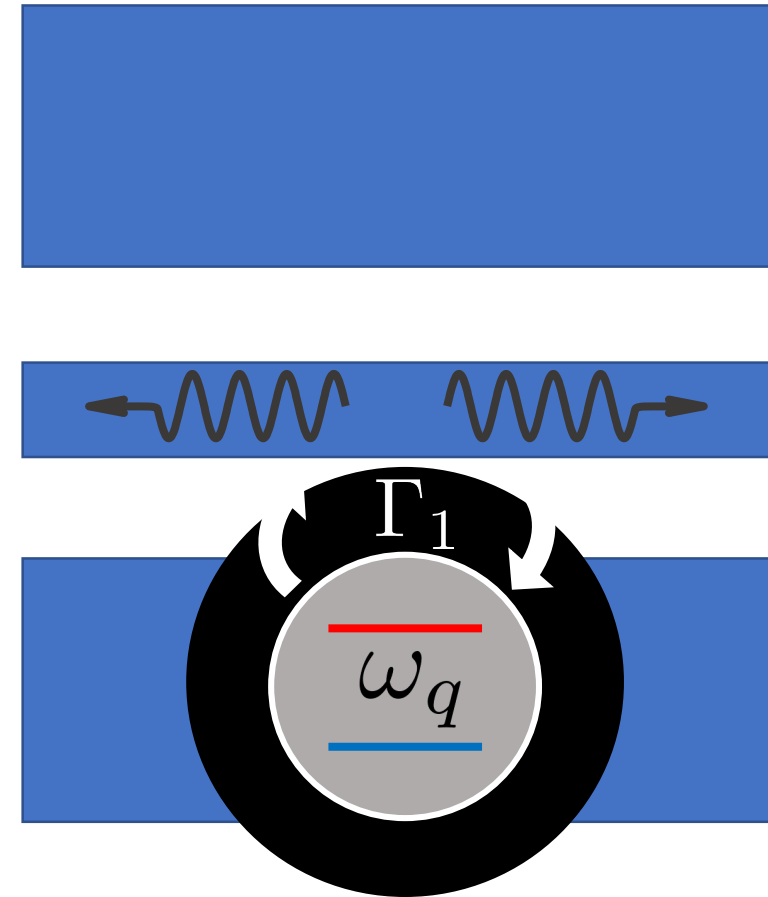
ω_d, V

- $\Gamma_1 \ll \Gamma_1^{nr}, \gamma$ - strong coupling regime
- The operator of field scattered by a qubit:

$$\hat{V}_{sc}(t) = i \frac{\Gamma_1}{d_{deg}} \hat{\sigma}_-(t)$$

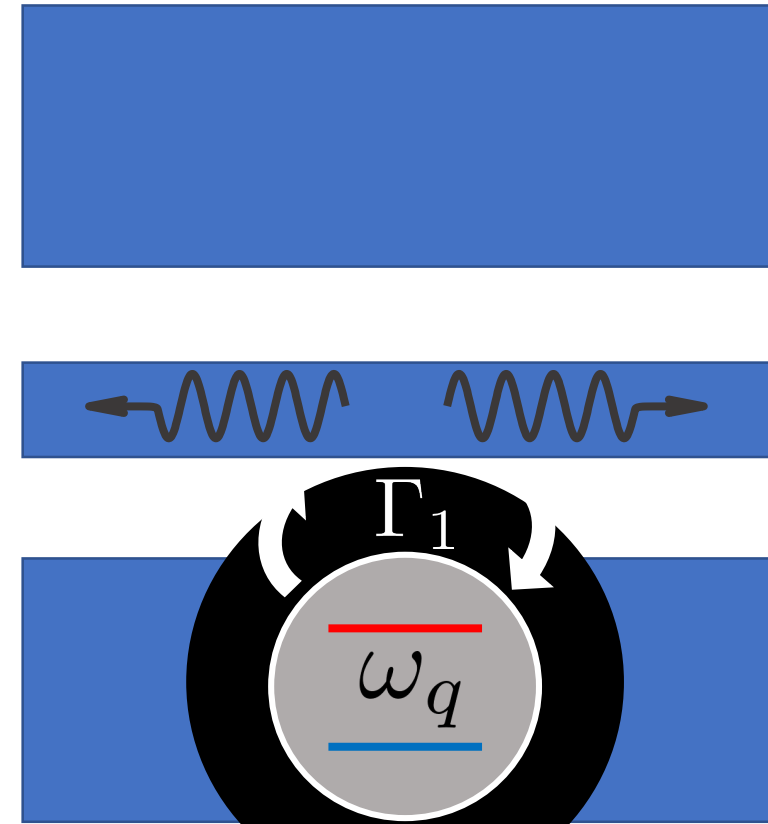
ω_d, V

- The dynamics – from master equation:

- $\Gamma_1 \ll \Gamma_1^{nr}, \gamma$ - strong coupling regime
- The operator of field scattered by a qubit:

$$\hat{V}_{sc}(t) = i \frac{\Gamma_1}{d_{eg}} \hat{\sigma}_-(t)$$



- The dynamics – from master equation:

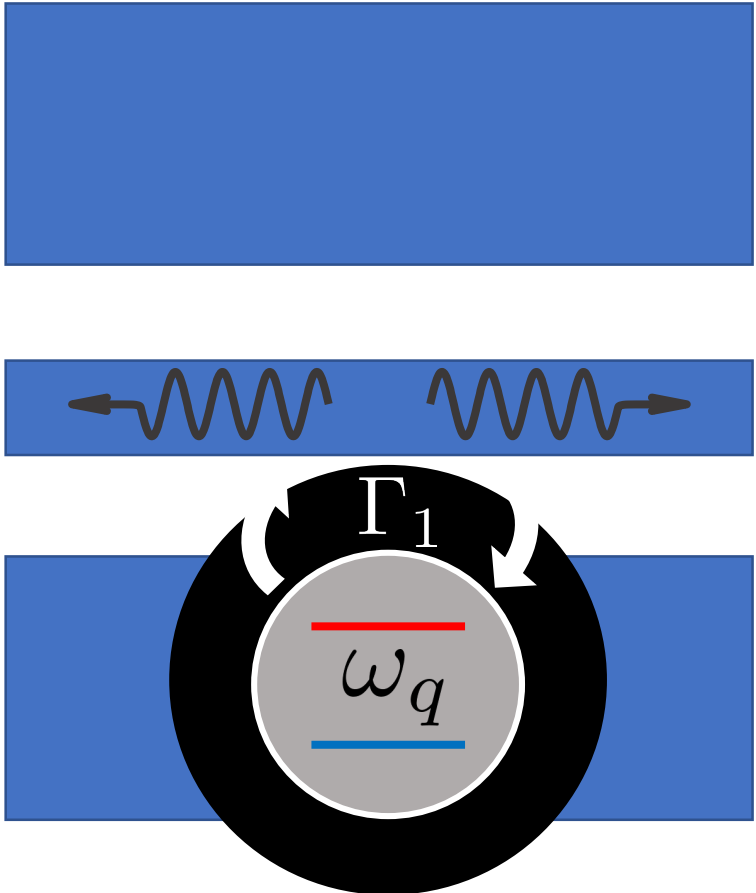
$$\dot{\rho} = -i/\hbar [H, \rho] + \hat{\mathcal{L}}\rho$$

- Elastic part of scattered light

$$V_{sc}(t) = i \frac{\Gamma_1}{d_{eg}} \langle \hat{\sigma}_- \rangle e^{i(k|x| - \omega_d t)}$$

- $\Gamma_1 \ll \Gamma_1^{nr}, \gamma$ - strong coupling regime
- The operator of field scattered by a qubit:

$$\hat{V}_{sc}(t) = i \frac{\Gamma_1}{d_{eg}} \hat{\sigma}_-(t)$$

ω_d, V


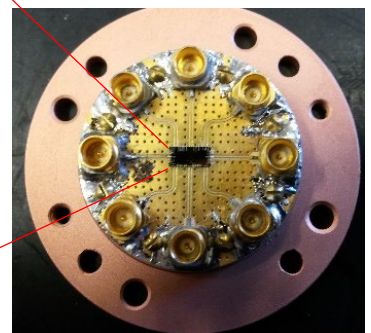
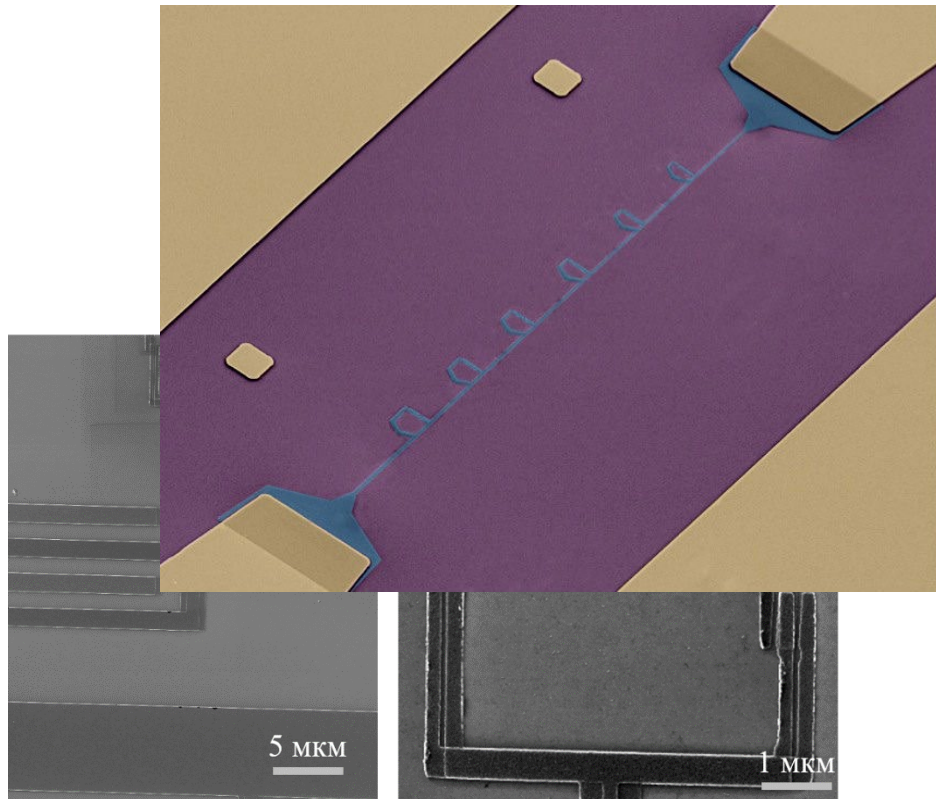
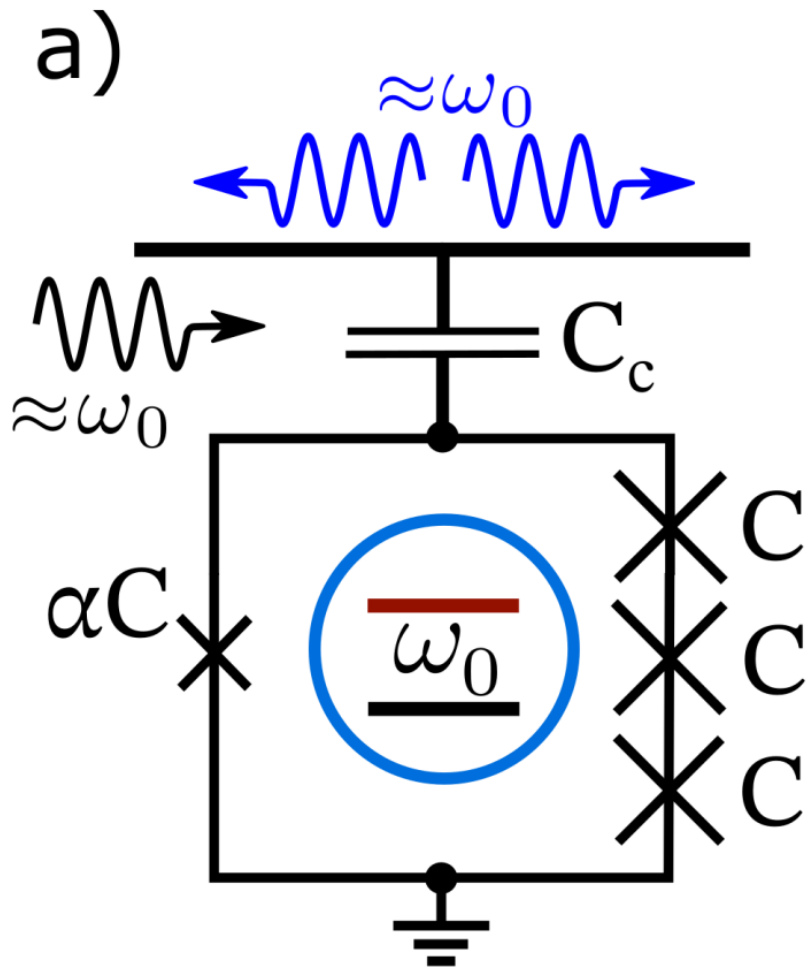
- The dynamics – from master equation:

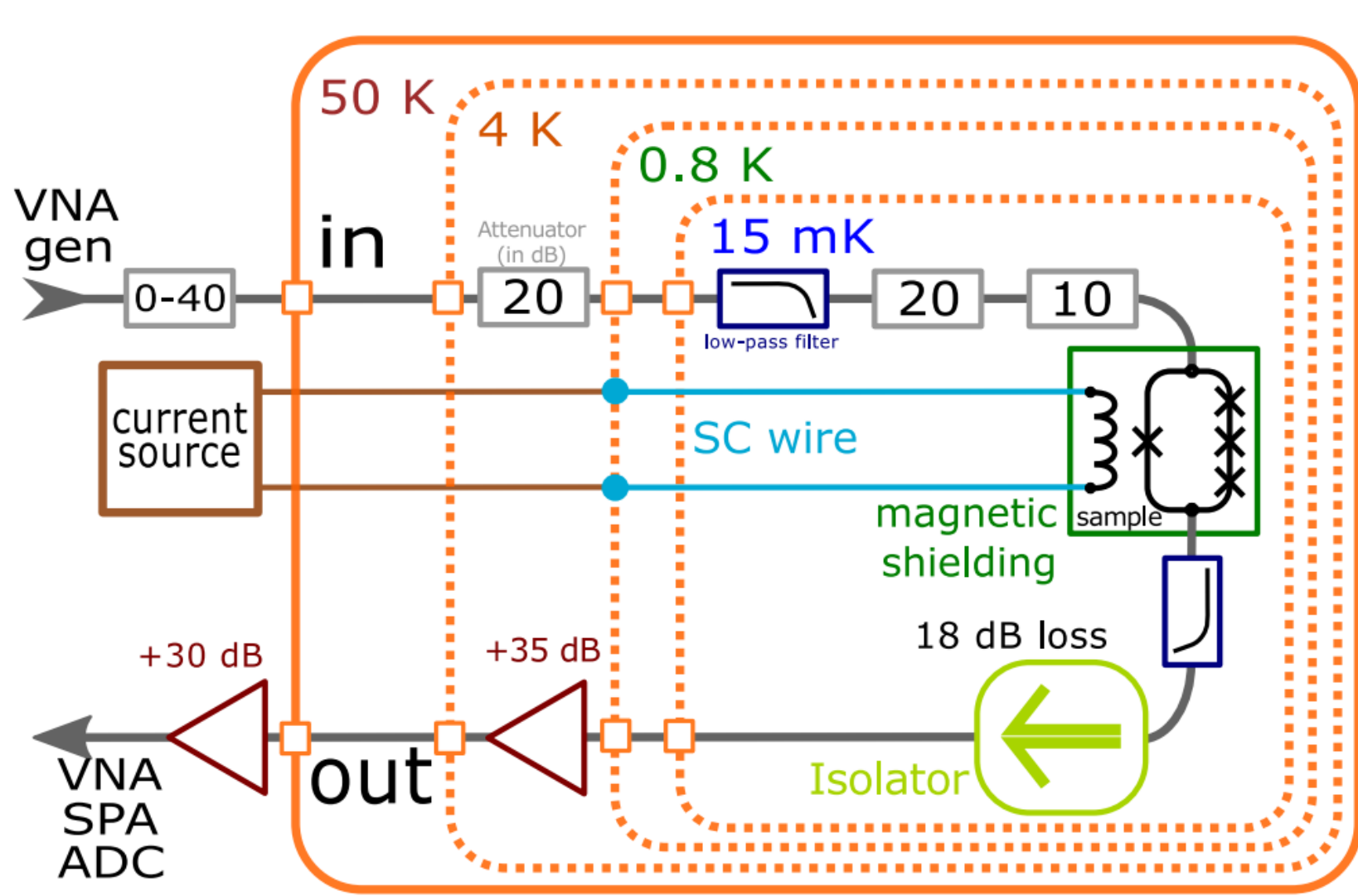
$$\dot{\rho} = -i/\hbar [H, \rho] + \hat{\mathcal{L}}\rho$$

- Elastic part of scattered light

$$V_{sc}(t) = i \frac{\Gamma_1}{d_{eg}} \langle \hat{\sigma}_- \rangle e^{i(k|x| - \omega_d t)}$$

- The whole spectrum includes inelastic part

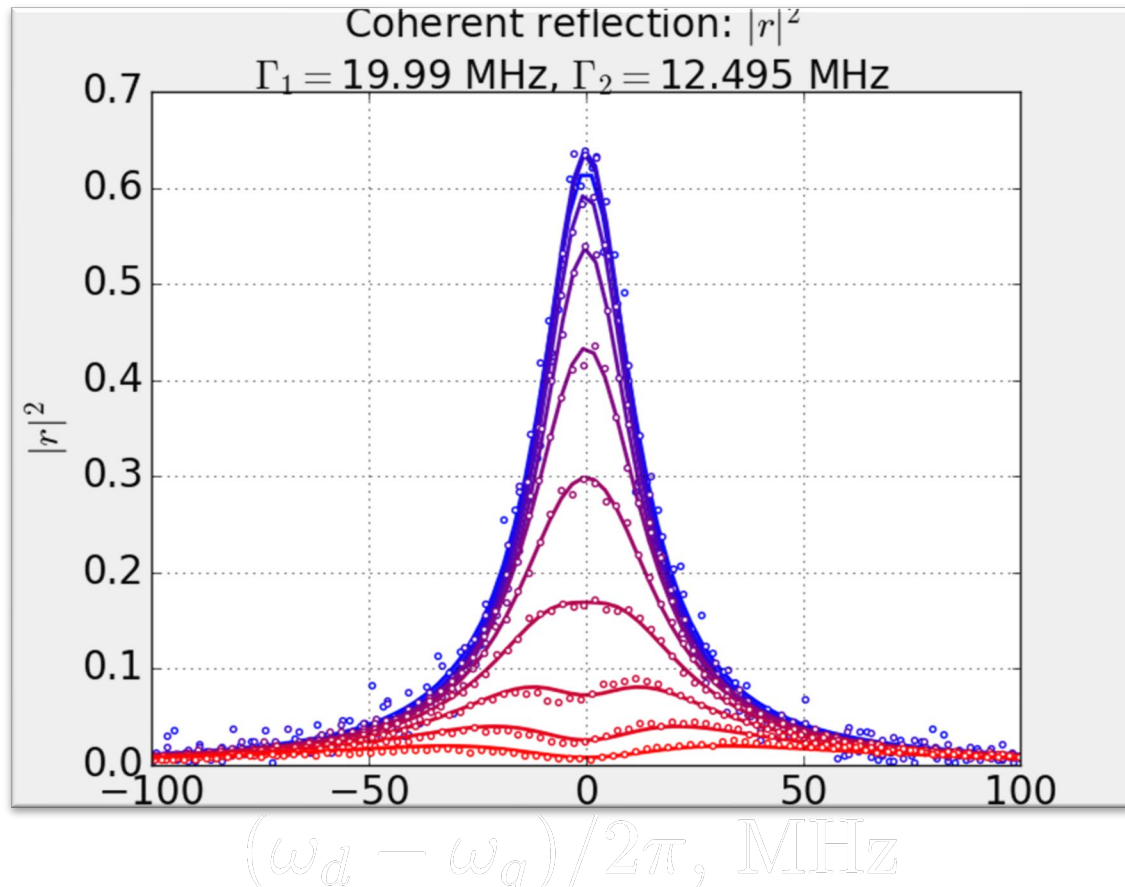




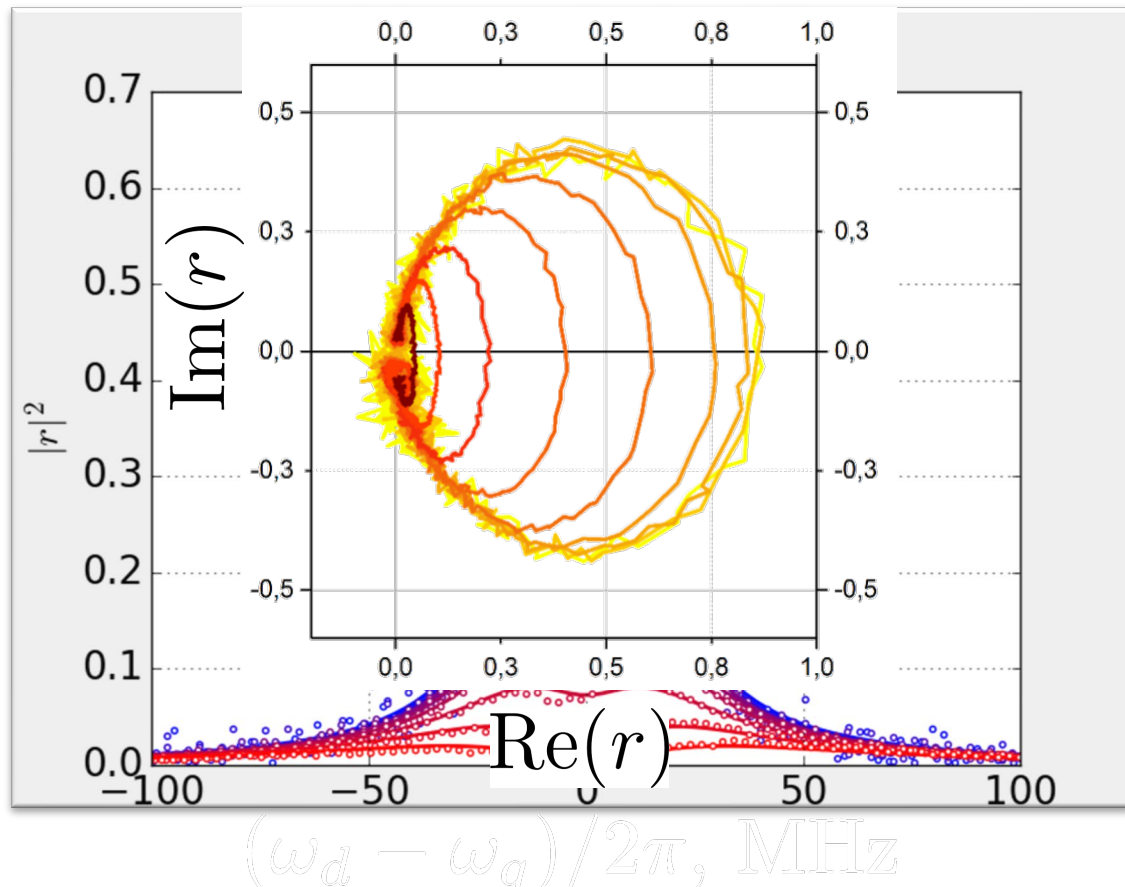
- Stationary solution: $\dot{\rho} = 0 \rightarrow r = \frac{V_{sc}}{V} = \frac{1 + i\lambda}{1 + \lambda^2 + \Omega^2/\Gamma_1\Gamma_2}, \lambda = \delta\omega/\Gamma_2$

- Stationary solution: $\dot{\rho} = 0 \rightarrow r = \frac{V_{sc}}{V} = \frac{1 + i\lambda}{1 + \lambda^2 + \Omega^2/\Gamma_1\Gamma_2}, \lambda = \delta\omega/\Gamma_2$
- If $\Omega \ll \Gamma_1$, then $r \approx 1$ - weak signal is totally reflected (99.9% reached)

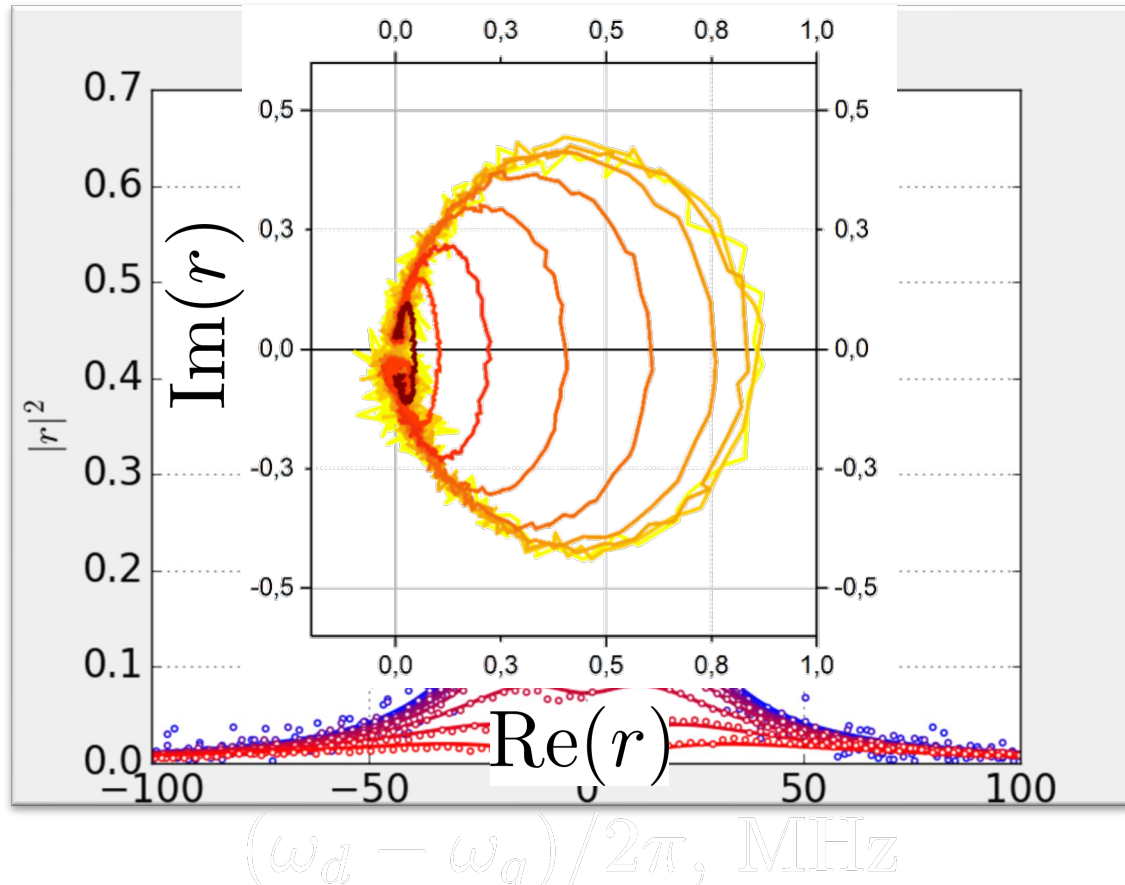
- Stationary solution: $\dot{\rho} = 0 \rightarrow r = \frac{V_{sc}}{V} = \frac{1 + i\lambda}{1 + \lambda^2 + \Omega^2/\Gamma_1\Gamma_2}$, $\lambda = \delta\omega/\Gamma_2$
- If $\Omega \ll \Gamma_1$, then $r \approx 1$ - weak signal is totally reflected (99.9% reached)



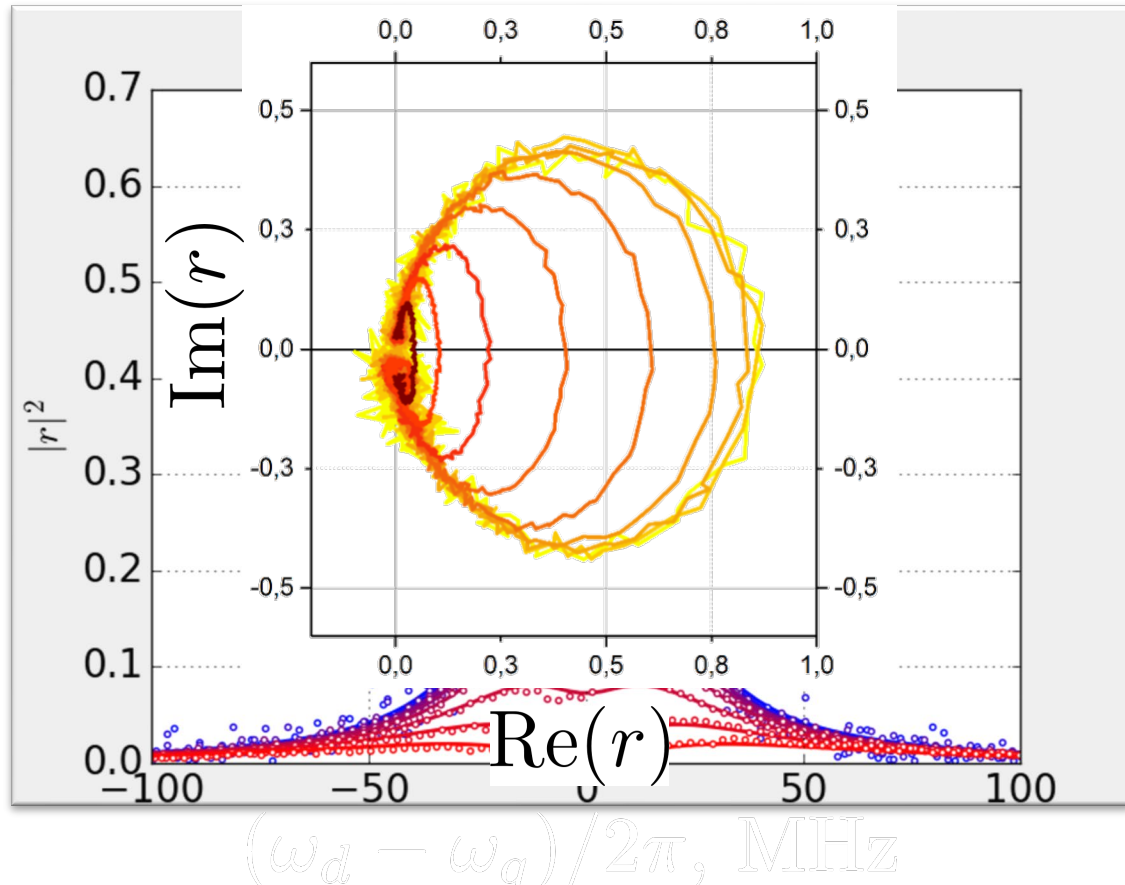
- Stationary solution: $\dot{\rho} = 0 \rightarrow r = \frac{V_{sc}}{V} = \frac{1 + i\lambda}{1 + \lambda^2 + \Omega^2/\Gamma_1\Gamma_2}$, $\lambda = \delta\omega/\Gamma_2$
- If $\Omega \ll \Gamma_1$, then $r \approx 1$ - weak signal is totally reflected (99.9% reached)



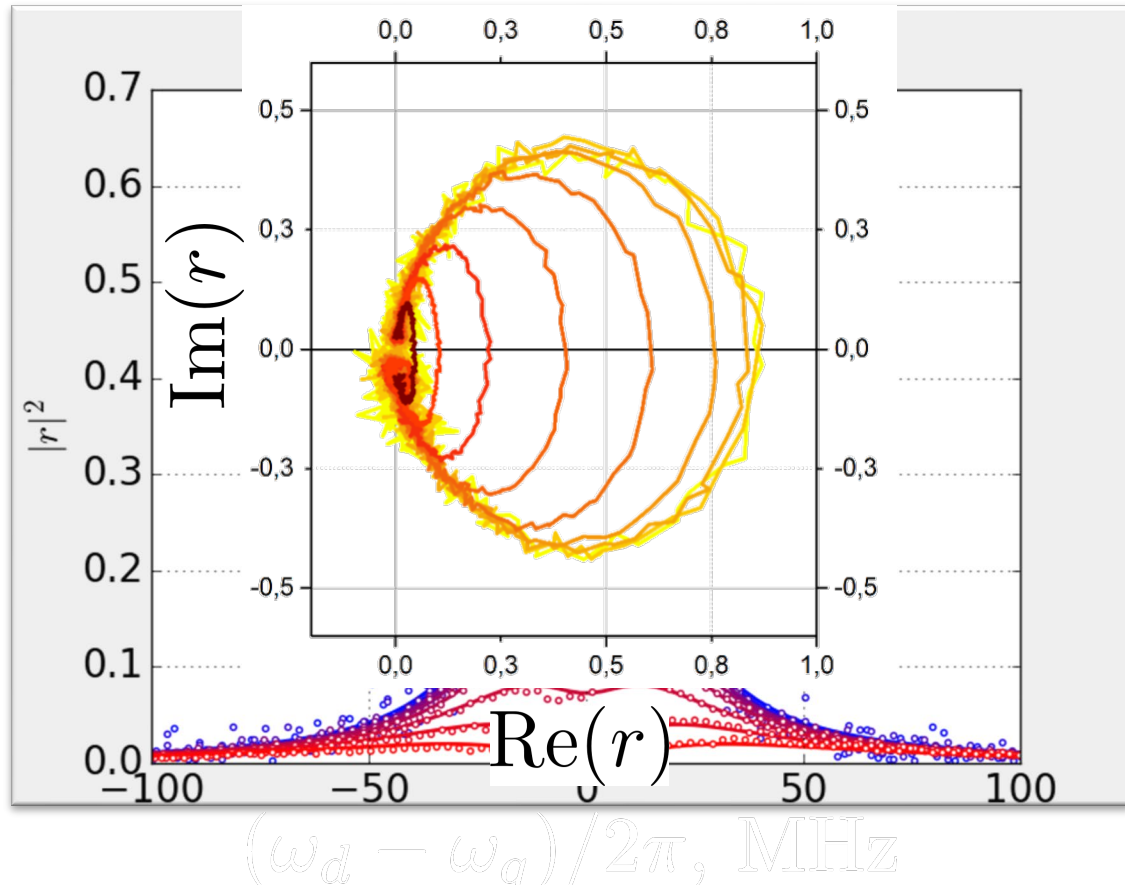
- Stationary solution: $\dot{\rho} = 0 \rightarrow r = \frac{V_{sc}}{V} = \frac{1 + i\lambda}{1 + \lambda^2 + \Omega^2/\Gamma_1\Gamma_2}, \lambda = \delta\omega/\Gamma_2$
- If $\Omega \ll \Gamma_1$, then $r \approx 1$ - weak signal is totally reflected (99.9% reached)
- If $\Omega \geq \Gamma_1$, then the atom has not enough time to emit elastically



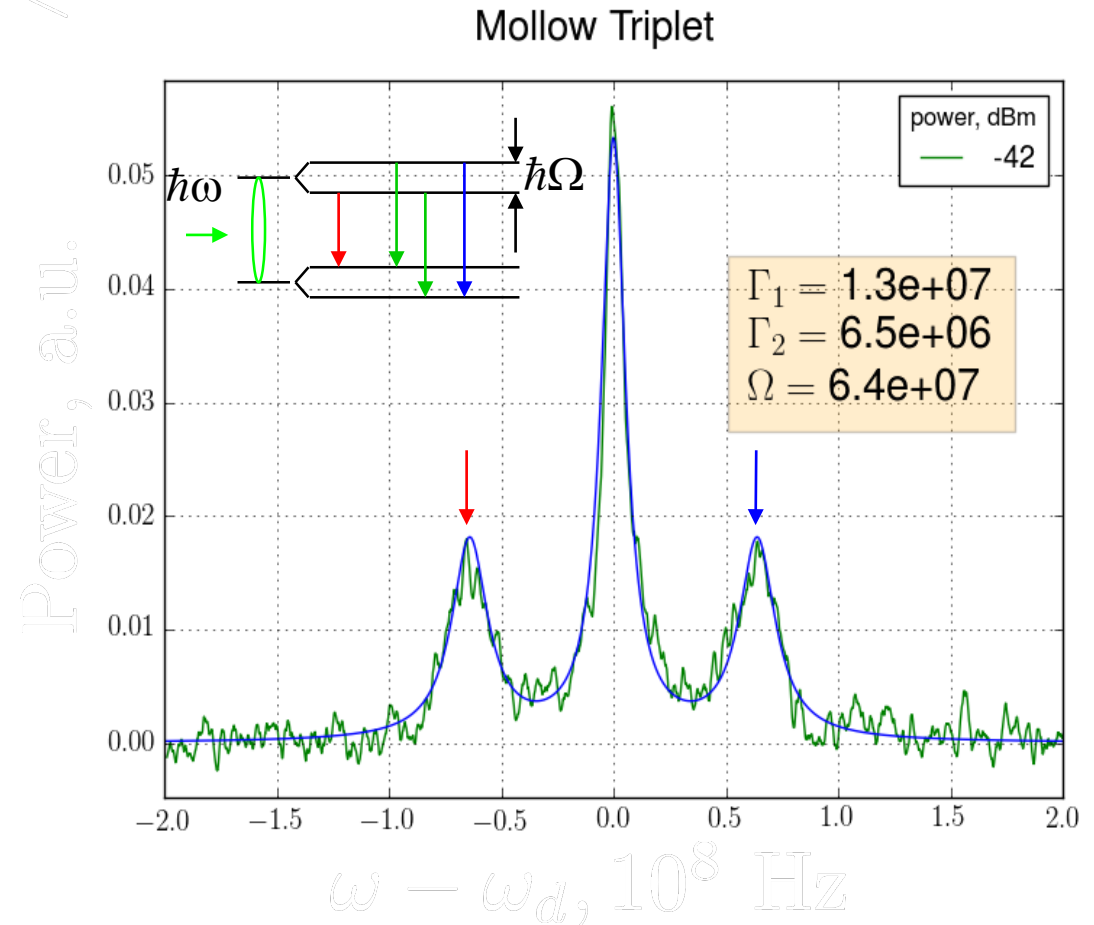
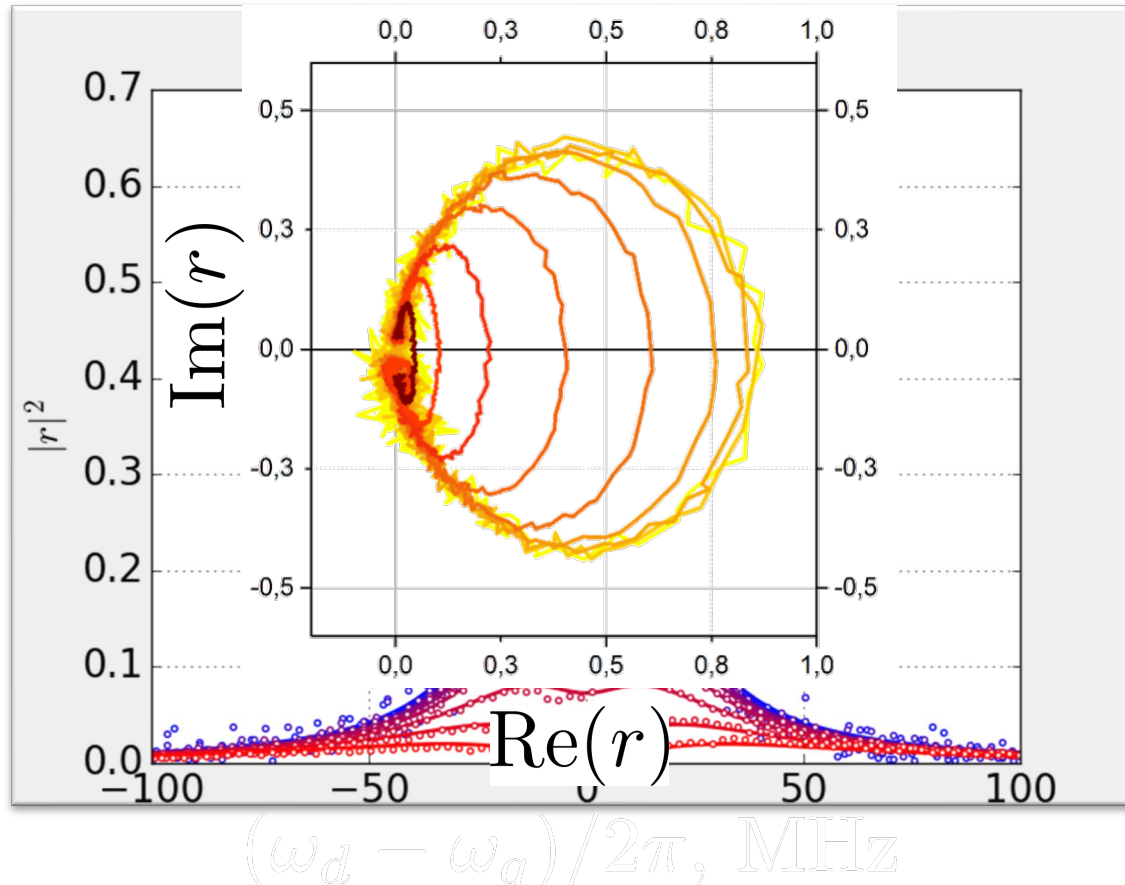
- Stationary solution: $\dot{\rho} = 0 \rightarrow r = \frac{V_{sc}}{V} = \frac{1 + i\lambda}{1 + \lambda^2 + \Omega^2/\Gamma_1\Gamma_2}$, $\lambda = \delta\omega/\Gamma_2$
- If $\Omega \ll \Gamma_1$, then $r \approx 1$ - weak signal is totally reflected (99.9% reached)
- If $\Omega \geq \Gamma_1$, then the atom has not enough time to emit elastically
- Inelastic scattering: $t = 1 - r$, $|t|^2 + |r|^2 < 1$

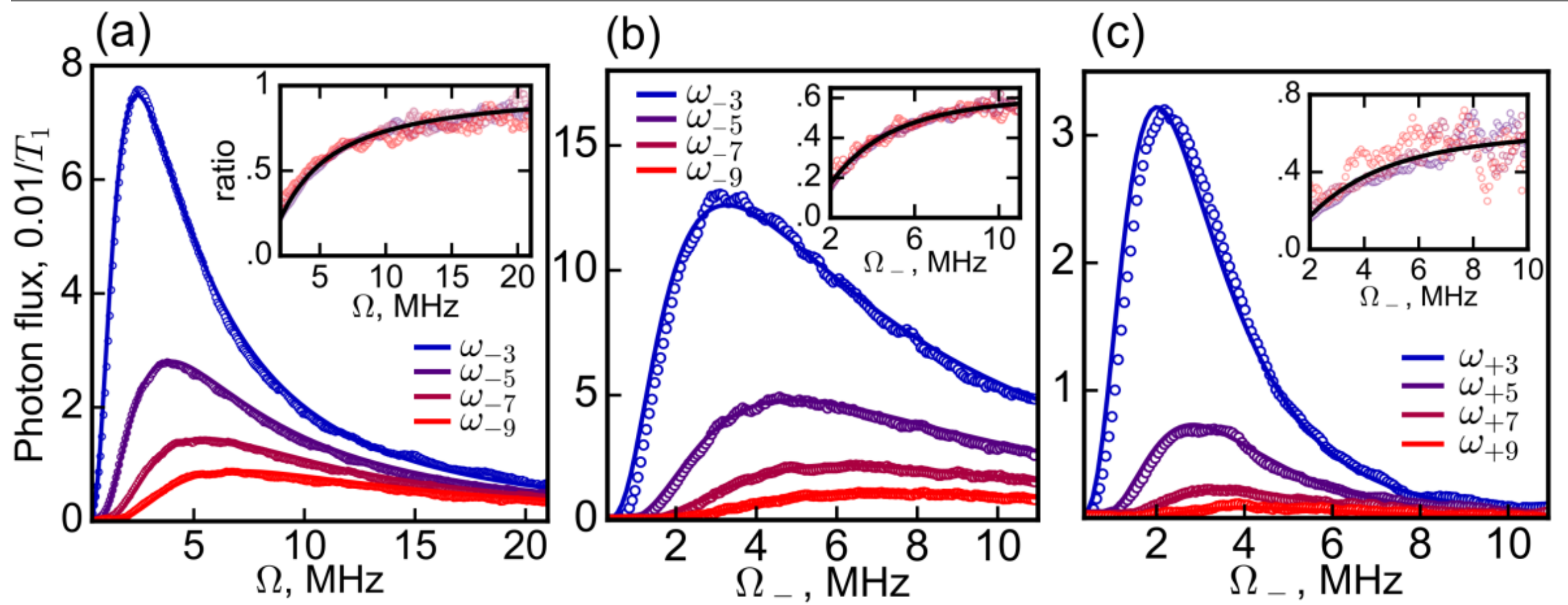


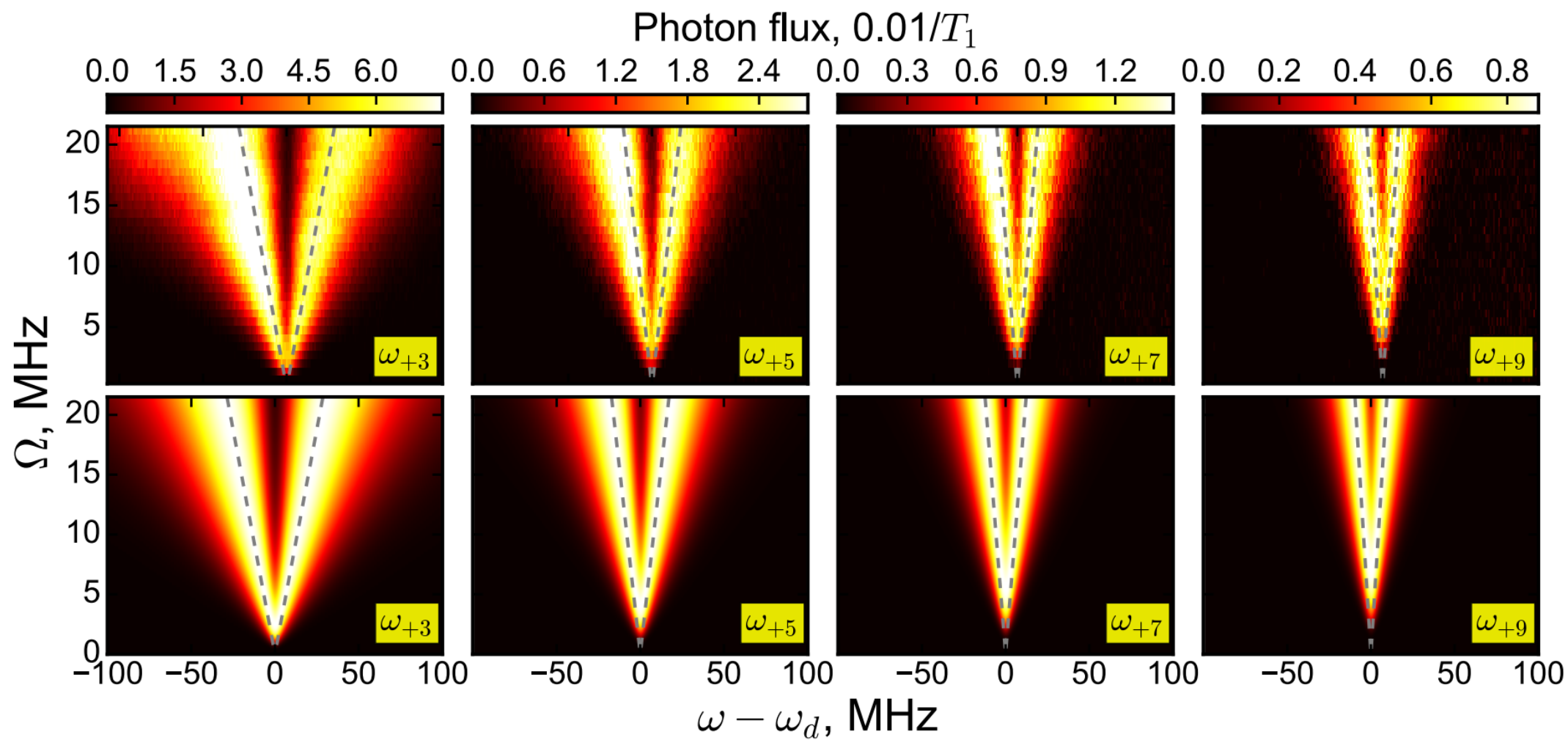
- Stationary solution: $\dot{\rho} = 0 \rightarrow r = \frac{V_{sc}}{V} = \frac{1 + i\lambda}{1 + \lambda^2 + \Omega^2/\Gamma_1\Gamma_2}$, $\lambda = \delta\omega/\Gamma_2$
- If $\Omega \ll \Gamma_1$, then $r \approx 1$ - weak signal is totally reflected (99.9% reached)
- If $\Omega \geq \Gamma_1$, then the atom has not enough time to emit elastically
- Inelastic scattering: $t = 1 - r$, $|t|^2 + |r|^2 < 1$



- Stationary solution: $\dot{\rho} = 0 \rightarrow r = \frac{V_{sc}}{V} = \frac{1 + i\lambda}{1 + \lambda^2 + \Omega^2/\Gamma_1\Gamma_2}, \lambda = \delta\omega/\Gamma_2$
- If $\Omega \ll \Gamma_1$, then $r \approx 1$ - weak signal is totally reflected (99.9% reached)
- If $\Omega \geq \Gamma_1$, then the atom has not enough time to emit elastically
- Inelastic scattering: $t = 1 - r, |t|^2 + |r|^2 < 1$







$$\tau < \Gamma_1$$

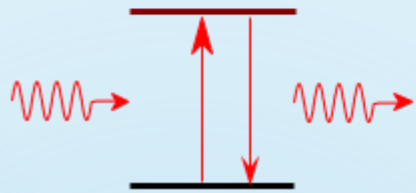
Conversion of an atomic superposed state into a photonic field:

$$\left(\cos \frac{\theta}{2} |g\rangle - i \sin \frac{\theta}{2} |e\rangle \right) \otimes |0\rangle \rightarrow |g\rangle \otimes \left(\cos \frac{\theta}{2} |0\rangle - \sin \frac{\theta}{2} |1\rangle \right)$$

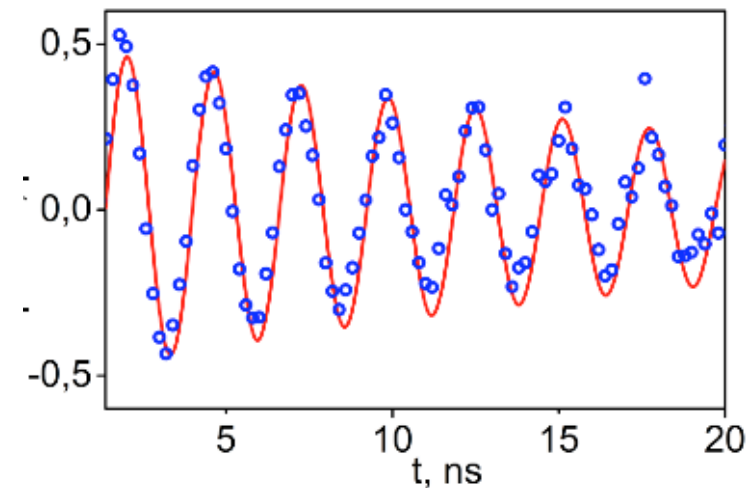
$$\sigma^+ \rightarrow -ib^+$$

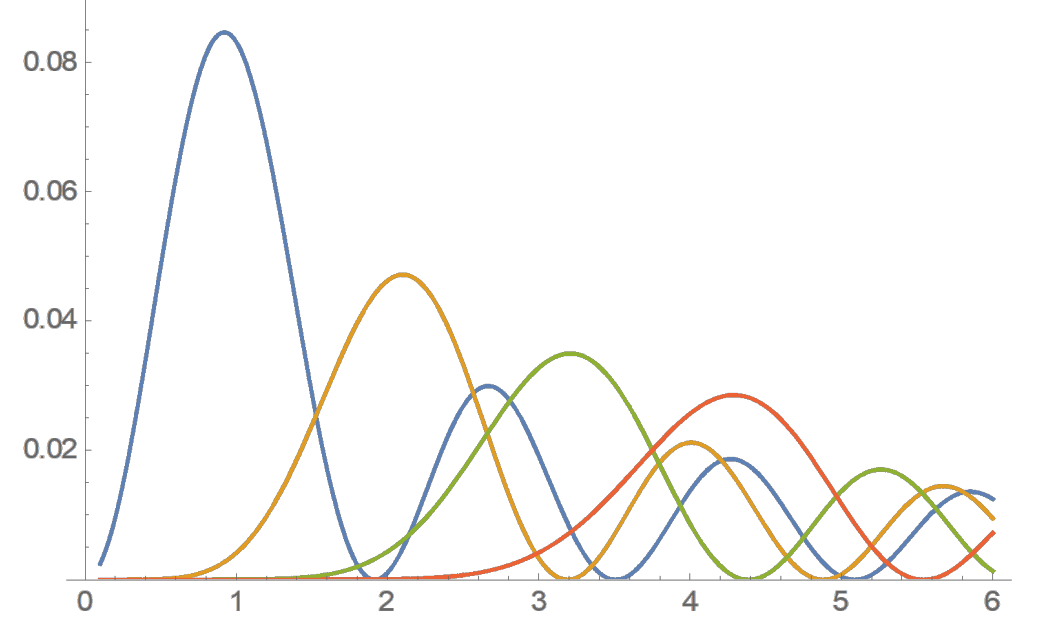
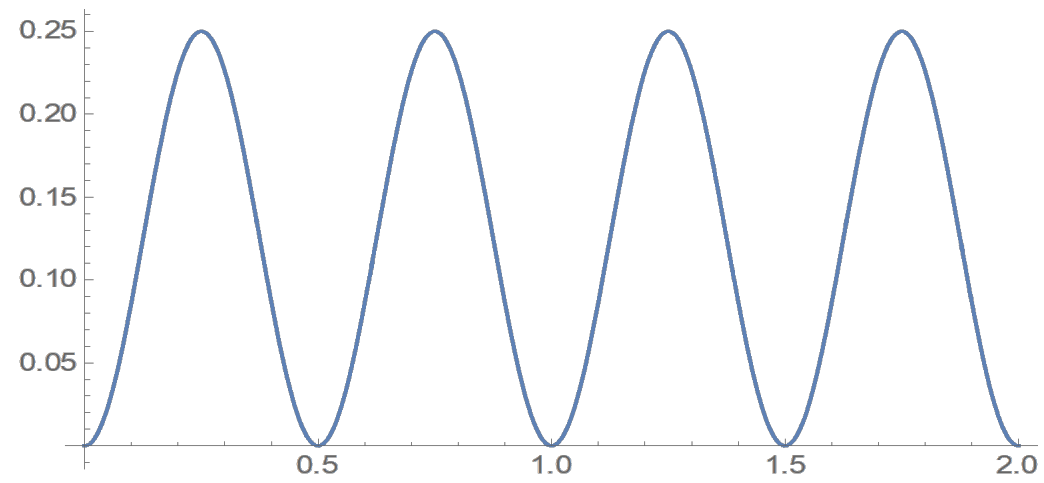
$$\Psi_\sigma \rightarrow \Psi_b$$

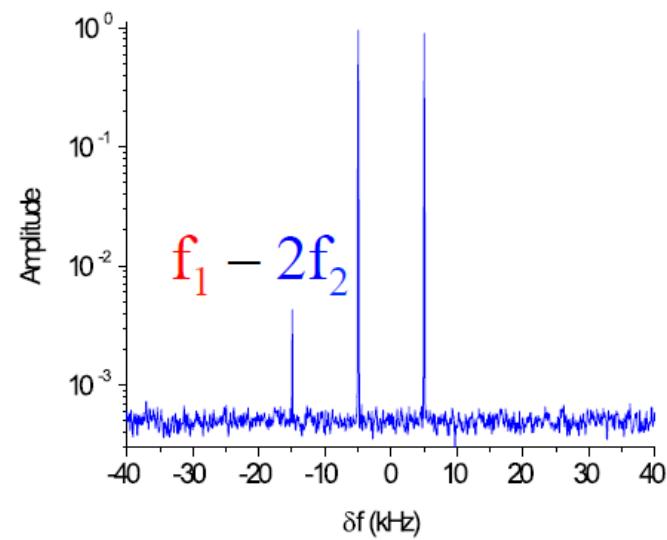
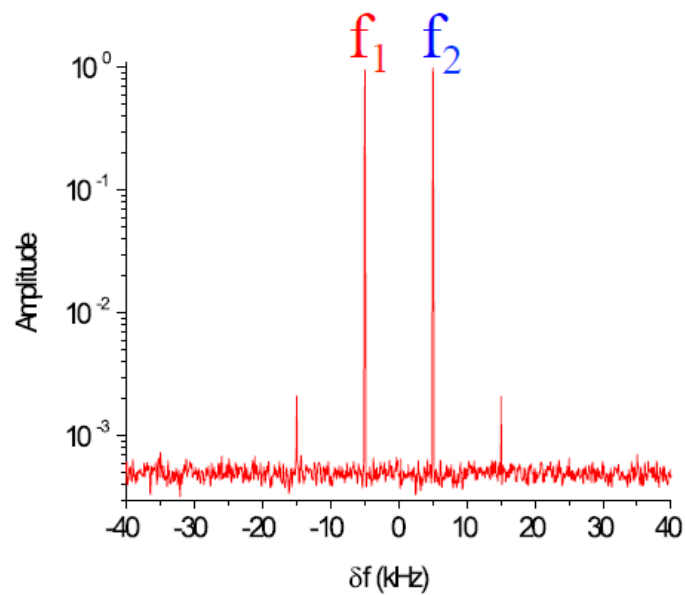
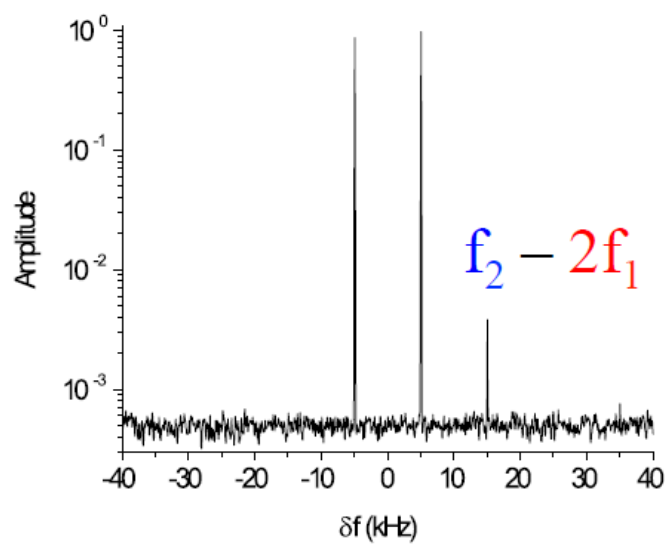
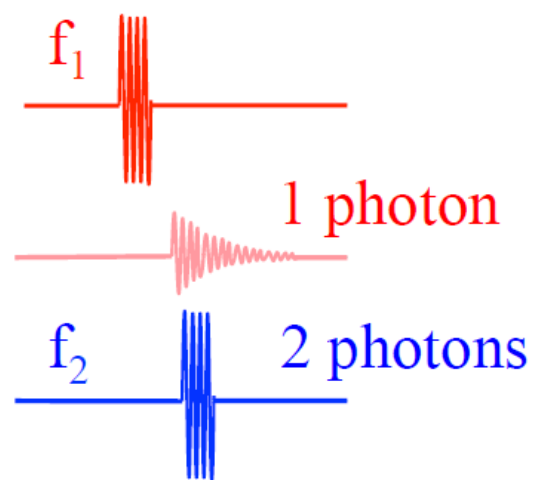
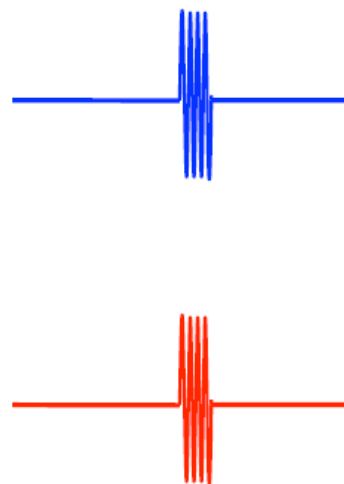
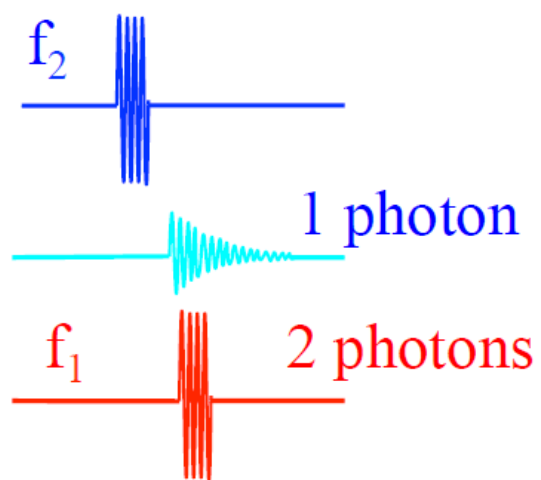
$$H = i\hbar g(ab^+ - a^+b^-)$$



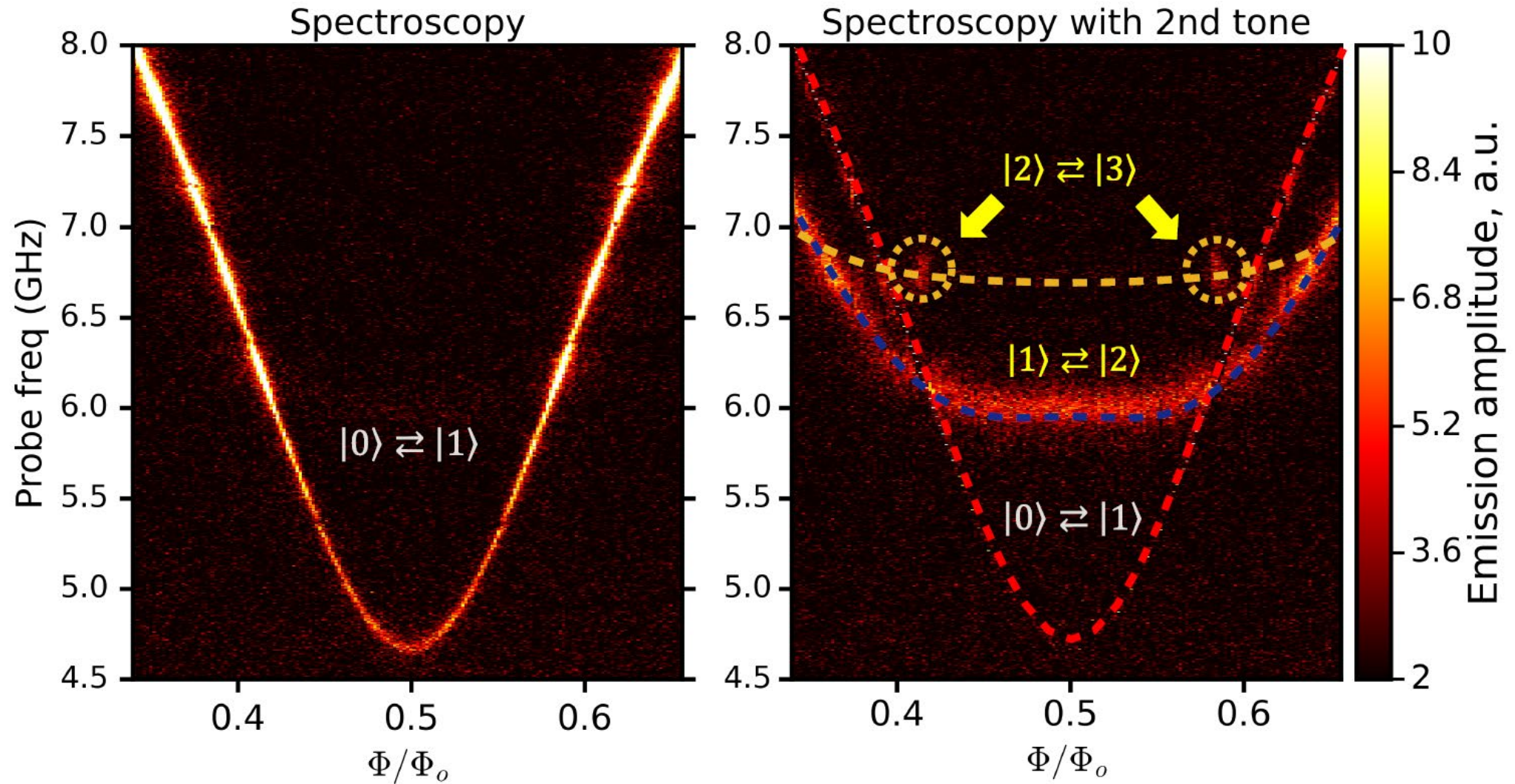
b^+ , b^- are single-photon creation/annihilation operators



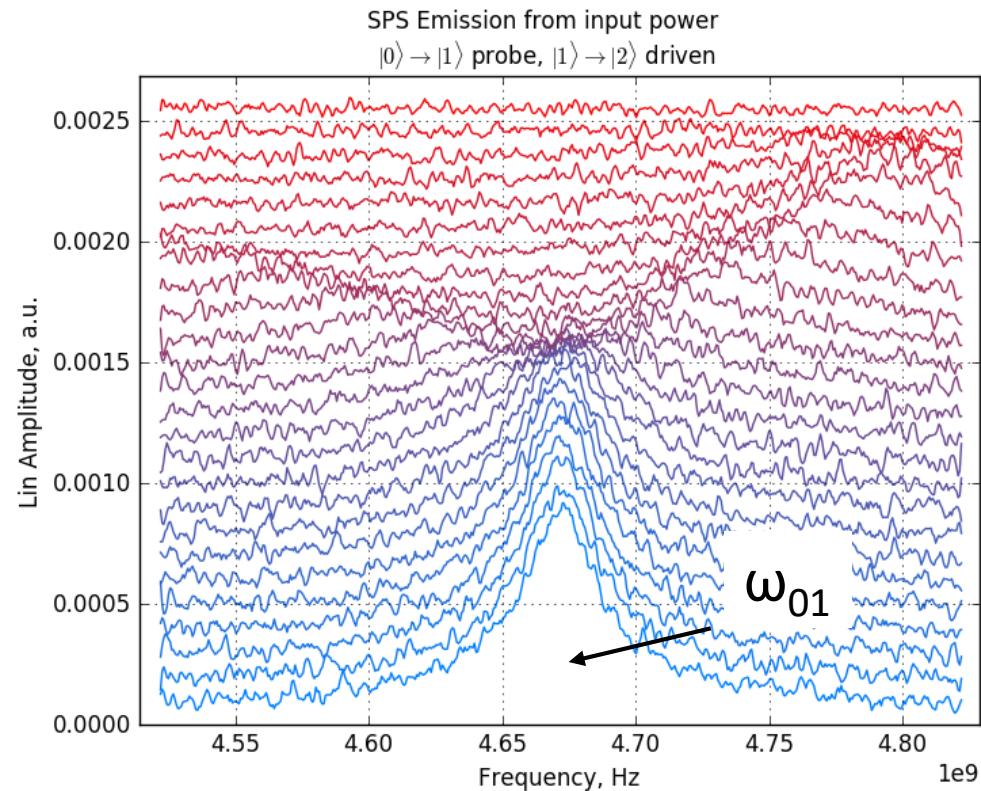
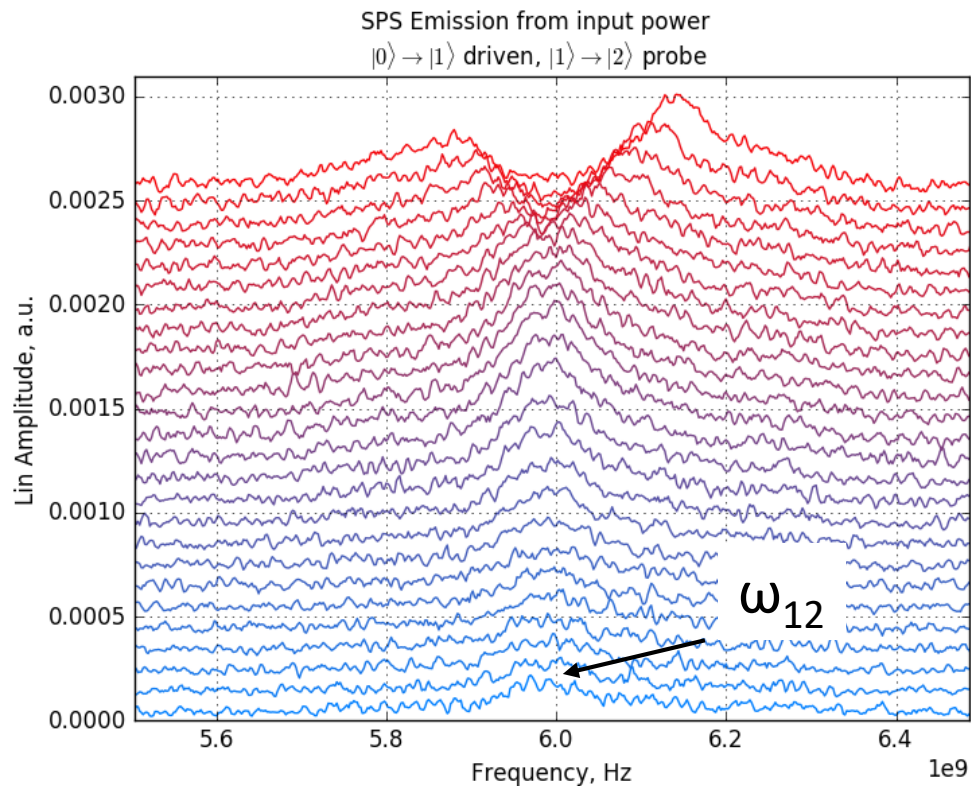
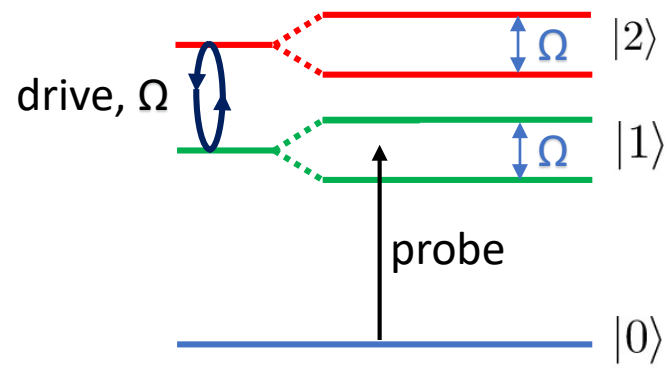
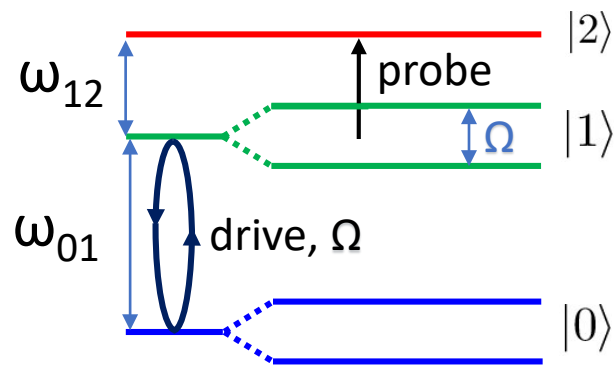




Adding extra tones



Autler-Townes splitting



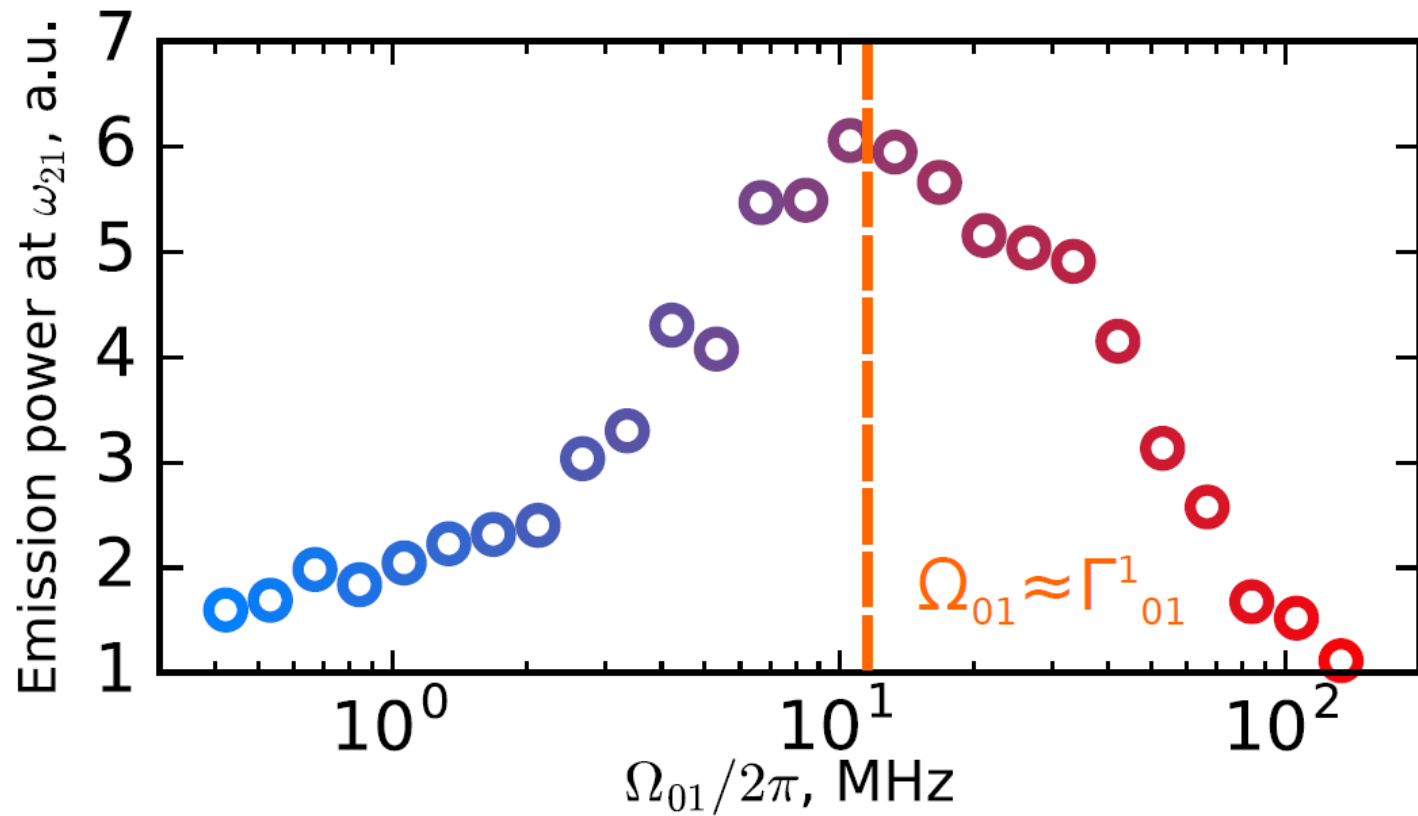


Рис. 4. Зависимость излучения на частоте перехода $|1\rangle \leftrightarrow |2\rangle$ от мощности первого тона на частоте перехода $|0\rangle \leftrightarrow |1\rangle$. Оптимальная накачка (наибольшее излучение) соответствует случаю $\Omega_{01} \approx \Gamma_1^{01}$.

